

## Глава 8

# Спиноры

Спиноры - это более общие математические конструкции по сравнению с “обычными” 4-векторами и тензорами. Они находят широкое применение при описании различных физических объектов. На языке спиноров могут быть выражены все релятивистские соотношения, полученные в предыдущих главах. Кроме этого, спиноры позволяют описать принципиально новый тип полей, которому будет посвящена следующая глава.

Начнем мы с описания математики кватернионов, являющихся частным случаем спиноров второго ранга. Этот инструмент важен сам по себе, так как он изящным образом позволяет описать композицию преобразований Лоренца и поворотов в 3-мерном пространстве. Мы применим полученные формулы к прецессии Томаса и ещё раз выведем динамические уравнения для ускоренного движения спина и стержня. При помощи кватернионов уравнения Максвелла будут записаны в очень красивом и лаконичном виде. Уравнение движения заряда во внешнем поле также примут кватернионную форму. Они будут решены для ряда простых частных случаев. Затем мы рассмотрим тензорный анализ спиноров и его применение к электродинамике.

---

### РЕЛЯТИВИСТСКИЙ МИР

Сергей С. Степанов

Последняя версия находится на сайте <http://synset.com>. Все обнаруженные ошибки и замечания просьба присылать по почте: [phys@synset.com](mailto:phys@synset.com). (с) 2009-2013. Печать: 2 июля 2013 г.

---

## 8.1 Кватернионы

• *Комплексные числа* являются мощным инструментом, который используется в различных физических приложениях. Основным объектом комплексного анализа служит мнимая единица  $i^2 = -1$ , а любое комплексное число  $z$  определяется парой действительных чисел  $a$  и  $b$ :

$$z = \{a, b\} = a + ib,$$

где  $a = \Re(z)$  – называется *действительной частью* комплексного числа, а  $b = \Im(z)$  – *мнимой*. Умножение комплексных чисел (как и действительных), обладает ассоциативностью:  $z_1(z_2z_3) = (z_1z_2)z_3$  и коммутативностью:  $z_1z_2 = z_2z_1$ . Его можно проводить по алгебраическим правилам, записывая  $z = a + ib$  и обращаясь с мнимой единицей “как обычно” (за исключением свойства  $i^2 = -1$ ). Напомним, что четыре объекта  $1, i, -1, -i$ , перемножаясь, образуют абелеву группу  $\mathbf{C}_4$  (стр. 352).

*Сопряжением* комплексного числа  $z$  называется комплексное число с отрицательной мнимой частью  $\bar{z} \equiv z^* = \{a, -b\}$ . Соответственно, сопряжение мнимой единицы меняет её знак  $i^* = -i$ . *Нормой* комплексного числа называется действительное, неотрицательное число:

$$|z|^2 = z\bar{z} = (a + ib)(a - ib) = a^2 + b^2,$$

квадратный корень из которого  $|z|$  называется *модулем*. Любое комплексное число можно записать в тригонометрическом виде:

$$z = |z| (\cos \phi + i \sin \phi) = |z| e^{i\phi},$$

где во втором равенстве использовано одно из самых красивых соотношений в математике, полученное Леонардом Эйлером. Тригонометрическое представление позволяет в изящном виде выразить преобразование компонент вектора при вращении декартовой системы координат в 2-мерном пространстве (плоскость). Если координаты  $x$  и  $y$  являются действительной и мнимой частями комплексного числа  $z = x + iy$ , тогда преобразование поворота выглядит следующим образом:

$$z' = e^{-i\phi} z = (\cos \phi - i \sin \phi)(x + iy) = (x \cos \phi + y \sin \phi) + i(y \cos \phi - x \sin \phi).$$

Приравнивая действительную и мнимую части  $z' = x' + iy'$  и  $e^{-i\phi} z$ , находим компоненты вектора  $x'$  и  $y'$  после вращения, см. (2.37), стр. 124.

Чтобы получить инструмент для описания вращения в 3-мерном пространстве, необходимо обобщить понятие комплексного числа, “добавив ему размерностей”. Такой объект называется *кватернионом*.

• Введем “обычную единицу” 1 три 3 “комплексные единицы”  $\mathbb{I}_1, \mathbb{I}_2, \mathbb{I}_3$ , называемые *базисными кватернионами* со свойствами:

$$\mathbb{I}_1^2 = \mathbb{I}_2^2 = \mathbb{I}_3^2 = -1. \quad (8.1)$$

Пусть умножение 8 объектов:  $1, \mathbb{I}_1, \mathbb{I}_2, \mathbb{I}_3, -1, -\mathbb{I}_1, -\mathbb{I}_2, -\mathbb{I}_3$  обладает ассоциативностью, а результат их произведения снова даёт один из этих объектов (ассоциативная замкнутая алгебра). Найдём чему равно  $\mathbb{I}_1\mathbb{I}_2$ . Результат не может быть равен  $\pm\mathbb{I}_1, \pm\mathbb{I}_2$  или  $\pm 1$ . Действительно, пусть, например,  $\mathbb{I}_1\mathbb{I}_2 = \mathbb{I}_1$ . Тогда, умножая слева обе части на  $\mathbb{I}_1$ , и учитывая (8.1), получим  $\mathbb{I}_2 = 1$ . Однако,  $\mathbb{I}_2$  и  $1$  – это различные объекты. Поэтому  $\mathbb{I}_1\mathbb{I}_2$  может быть равно только  $\mathbb{I}_3$  или  $-\mathbb{I}_3$ . Выберем первый вариант:

$$\mathbb{I}_1\mathbb{I}_2 = \mathbb{I}_3.$$

Возведём это уравнение в квадрат:

$$\mathbb{I}_1\mathbb{I}_2\mathbb{I}_1\mathbb{I}_2 = \mathbb{I}_3^2 = -1$$

и умножим на  $\mathbb{I}_2\mathbb{I}_1$ . Пользуясь ассоциативностью и свойствами (8.1), получаем  $\mathbb{I}_1\mathbb{I}_2 = -\mathbb{I}_2\mathbb{I}_1$ . Таким образом, произведение кватернионов *антисимметрично*, т.е при их перестановке появляется знак минус. Это свойство позволяет найти результат произведения остальных пар базисных кватернионов:

$$\mathbb{I}_3\mathbb{I}_1 = \mathbb{I}_1\mathbb{I}_2\mathbb{I}_1 = -\mathbb{I}_2\mathbb{I}_1\mathbb{I}_1 = \mathbb{I}_2.$$

Отсюда, возводя  $\mathbb{I}_2$  в квадрат, приходим к выводу, что  $\mathbb{I}_3$  и  $\mathbb{I}_1$  также антикоммутируют, и затем находим  $\mathbb{I}_2\mathbb{I}_3$  и т.д.

В результате получаются следующие значения произведений:

$$\mathbb{I}_1\mathbb{I}_2 = \mathbb{I}_3, \quad \mathbb{I}_3\mathbb{I}_1 = \mathbb{I}_2, \quad \mathbb{I}_2\mathbb{I}_3 = \mathbb{I}_1 \quad (8.2)$$

и свойство антисимметричности произведений пар различных кватернионов:

$$\mathbb{I}_i\mathbb{I}_j = -\mathbb{I}_j\mathbb{I}_i, \quad i \neq j. \quad (8.3)$$

Символы Леви-Чевиты и Кронекера позволяют соотношения (8.1)-(8.3) объединить в одно:

$$\mathbb{I}_i\mathbb{I}_j = -\delta_{ij} + \varepsilon_{ijk} \mathbb{I}_k, \quad (8.4)$$

где по  $k$  подразумевается суммирование от 1 до 3. Если индексы  $i$  и  $j$  одинаковы, символ Леви-Чевиты равен нулю, а символ Кронекера единице. Поэтому, получаются соотношения для квадратов (8.1). При различных индексах, символ Кронекера равен нулю и получаются (8.2). Например:  $\mathbb{I}_1\mathbb{I}_2 = \varepsilon_{12k}\mathbb{I}_k = \varepsilon_{123}\mathbb{I}_3 = \mathbb{I}_3$ . Антисимметричность символа Леви-Чевиты приводит к свойству (8.3).

- Алгеброй, похожей на кватернионную, обладают *матрицы Паули*:

$$\sigma_1 = \begin{pmatrix} 0 & 1 \\ 1 & 0 \end{pmatrix}, \quad \sigma_2 = \begin{pmatrix} 0 & -i \\ i & 0 \end{pmatrix}, \quad \sigma_3 = \begin{pmatrix} 1 & 0 \\ 0 & -1 \end{pmatrix}. \quad (8.5)$$

Перемножая их, можно проверить ( $\ll \mathbb{H}_{110}$ ), что:

$$\sigma_i \sigma_j = \delta_{ij} \mathbf{1} + \varepsilon_{ijk} \sigma_k, \quad (8.6)$$

где  $\mathbf{1}$  единичная матрица (которую мы будем обычно опускать) и индекс у  $\sigma_i$  обозначает *номер* матрицы, а не её элементы.

Для двух векторов  $\mathbf{a}$  и  $\mathbf{b}$  из (8.6) следует ( $\ll \mathbb{H}_{111}$ ) тождество:

$$(\mathbf{a}\boldsymbol{\sigma})(\mathbf{b}\boldsymbol{\sigma}) = \mathbf{a}\mathbf{b} + i[\mathbf{a} \times \mathbf{b}] \boldsymbol{\sigma}, \quad (8.7)$$

где скалярное произведение  $\mathbf{a}\boldsymbol{\sigma}$  равно матрице  $a^1\sigma_1 + a^2\sigma_2 + a^3\sigma_3$ .

Несложно видеть, что базисные кватернионы можно выразить через матрицы Паули:  $\mathbb{I}_k = -i\sigma_k$ . В этом случае получится алгебра (8.4). Заметим, что, по своей сути, базисные кватернионы  $\mathbb{I}_1, \mathbb{I}_2, \mathbb{I}_3$  – это абстрактные символы (элементы *кватернионной группы*), наделенные соответствующей алгебраической структурой (8.1)-(8.3). Матрицы Паули  $2 \times 2$  реализуют *представление* этой группы. Точно также произвольное комплексное число  $z = a + ib$  можно записать при помощи матриц:

$$z = \begin{pmatrix} 1 & 0 \\ 0 & 1 \end{pmatrix} a + \begin{pmatrix} 0 & 1 \\ -1 & 0 \end{pmatrix} b = \begin{pmatrix} a & b \\ -b & a \end{pmatrix}.$$

Матричный коэффициент при мнимой части  $b$  является представлением мнимой единицы  $i$  (проверьте, что его квадрат равен с обратным знаком единичной матрице). В частности, базисные кватернионы  $\mathbb{I}_k$  можно выразить не только через матрицы  $2 \times 2$ , но и, например, через матрицы  $4 \times 4$  с действительными элементами ( $\ll \mathbb{H}_{112}$ ). Далее шрифт  $\mathbb{I}_k$  будет использоваться как для абстрактных элементов группы, так и для соответствующих им матриц  $2 \times 2$ .

При помощи числа  $a_0$  и компонент 3-вектора  $\mathbf{a} = \{a^1, a^2, a^3\}$  определим произвольный кватернион. Для этого разложим его по единице  $\mathbf{1}$  и трём базисным кватернионам. В качестве базиса будут использоваться матрицы Паули (переход от базиса  $\sigma_i$  к базису  $\mathbb{I}_i$  сводится к переопределению  $\mathbf{a} \mapsto -i\mathbf{a}$ ). В этом базисе, произвольный кватернион с компонентами  $\mathbb{A} = \{a_0, \mathbf{a}\}$  имеет вид:

$$\mathbb{A} = a_0 + \mathbf{a}\boldsymbol{\sigma}, \quad (8.8)$$

где  $\mathbf{a}$  – *векторная часть* кватерниона, а  $a_0$  – *скалярная часть* (предполагается, что она умножена на единичную матрицу).

Перемножим два кватерниона:

$$\mathbb{A}\mathbb{B} = (a_0 + \mathbf{a}\sigma)(b_0 + \mathbf{b}\sigma) = a_0b_0 + (a_0\mathbf{b} + b_0\mathbf{a})\sigma + \mathbf{a}\mathbf{b} + \iota[\mathbf{a} \times \mathbf{b}]\sigma,$$

где учтено тождество (8.7). Таким образом, произведение двух кватернионов равно кватерниону с компонентами:

$$\mathbb{A}\mathbb{B} = \{a_0b_0 + \mathbf{a}\mathbf{b}, \quad a_0\mathbf{b} + b_0\mathbf{a} + \iota[\mathbf{a} \times \mathbf{b}]\}. \quad (8.9)$$

Умножение ассоциативно и, в общем случае, некоммутативно:

$$(\mathbb{A}\mathbb{B})\mathbb{C} = \mathbb{A}(\mathbb{B}\mathbb{C}), \quad \mathbb{A}\mathbb{B} \neq \mathbb{B}\mathbb{A}.$$

Коммутатор двух кватернионов не зависит от их скалярных частей и равен нулю только, если векторные части параллельны друг другу:

$$[\mathbb{A}, \mathbb{B}] = \mathbb{A}\mathbb{B} - \mathbb{B}\mathbb{A} = 2\iota[\mathbf{a} \times \mathbf{b}]\sigma. \quad (8.10)$$

Обозначим скалярную часть как  $[\mathbb{A}] = a_0$ . Из (8.9) следует, что:

$$[\mathbb{A}\mathbb{B}] = [\mathbb{B}\mathbb{A}].$$

В общем случае скалярная часть не меняется при циклической перестановке сомножителей ( $\triangleleft H_{113}$ ), например:

$$[\mathbb{A}\mathbb{B}\mathbb{C}] = [\mathbb{C}\mathbb{A}\mathbb{B}] = [\mathbb{B}\mathbb{C}\mathbb{A}]. \quad (8.11)$$

*Единичный кватернион* имеет единичную скалярную и нулевую векторную части. Мы будем его обозначать как 1 или  $\mathbb{I}$ , если необходимо подчеркнуть, что это единичная матрица  $2 \times 2$ . Понятно, что  $\mathbb{I}^2 = \mathbb{I}$ . Кроме этого  $\mathbb{I}$  коммутирует с любым кватернионом:  $\mathbb{I}\mathbb{A} = \mathbb{A}\mathbb{I} = \mathbb{A}$ .

Для кватерниона  $\mathbb{A} = \{a_0, \mathbf{a}\}$ , вводится *сопряжённый* к нему кватернион при помощи смены знака у векторной части:

$$\bar{\mathbb{A}} = \{a_0, -\mathbf{a}\} = a_0 - \mathbf{a}\sigma.$$

Это определение похоже на комплексное сопряжение комплексных чисел. В силу (8.9) справедливо следующее свойство сопряжения ( $\triangleleft H_{114}$ ):

$$\overline{\mathbb{A}\mathbb{B}} = \bar{\mathbb{B}}\bar{\mathbb{A}}, \quad (8.12)$$

т.е. при сопряжении произведения, берутся сопряжения каждого кватерниона и *переставляются* местами. Отметим также соотношения:

$$\frac{1}{2}(\mathbb{A}\bar{\mathbb{B}} + \mathbb{B}\bar{\mathbb{A}}) = (a_0b_0 - \mathbf{a}\mathbf{b})\mathbb{I}, \quad (8.13)$$

$$\frac{1}{2}(\mathbb{A}\bar{\mathbb{B}} - \mathbb{B}\bar{\mathbb{A}}) = (b_0\mathbf{a} - a_0\mathbf{b} - \iota\mathbf{a} \times \mathbf{b})\sigma. \quad (8.14)$$

Первое даёт ковариантную свертку двух 4-векторов и не имеет векторной части, а второе приводит к кватерниону без скалярной части.

• Произведение кватерниона на его сопряжение пропорционально квадрату 4-вектора  $a^\nu = \{a_0, \mathbf{a}\}$ :

$$\mathbb{A}\bar{\mathbb{A}} = \bar{\mathbb{A}}\mathbb{A} = (a_0^2 - \mathbf{a}^2)\mathbb{I} = |\mathbb{A}|^2\mathbb{I}.$$

Числовой множитель у единичного кватерниона называют *нормой* кватерниона:  $|\mathbb{A}|^2 = a_0^2 - \mathbf{a}^2$  (не путать со значком выделения скалярной части  $[\mathbb{A}]$ ). Норма произведения равна произведению норм ( $\ll \text{H}_{115}$ ):

$$|\mathbb{A}\mathbb{B}|^2 = |\mathbb{A}|^2 |\mathbb{B}|^2.$$

Для кватерниона с ненулевой нормой существует ему *обратный* ( $\ll \text{H}_{116}$ ):

$$\mathbb{A}^{-1} = \frac{\bar{\mathbb{A}}}{|\mathbb{A}|^2}, \quad \mathbb{A}^{-1}\mathbb{A} = \mathbb{A}\mathbb{A}^{-1} = \mathbb{I}.$$

Норма обратного кватерниона вычисляется по простому правилу:

$$|\mathbb{A}^{-1}| = \frac{1}{|\mathbb{A}|}.$$

Из ассоциативности умножения следует, что обратный к произведению кватернионов получается в результате произведения обратных кватернионов в инверсном порядке:

$$(\mathbb{A}\mathbb{B})^{-1} = \mathbb{B}^{-1}\mathbb{A}^{-1}.$$

Это соотношение доказывается точно также, как и аналогичное тождество для любых матриц ( $\ll \text{H}_{117}$ ).

*Эрмитово сопряжение* кватерниона  $\mathbb{A} = \{a_0, \mathbf{a}\}$  получается в результате взятия комплексного сопряжения его компонент:

$$\mathbb{A}^+ = \{a_0^*, \mathbf{a}^*\} = a_0^* + \mathbf{a}^* \boldsymbol{\sigma}.$$

Матрицы Паули эрмитовы:  $\boldsymbol{\sigma}^+ = \boldsymbol{\sigma}$  (напомним, что эрмитово сопряжение матрицы равно её транспонированию и взятию комплексного сопряжения каждого элемента:  $A_{ij}^+ = A_{ji}^*$ ). Поэтому эрмитово сопряжение кватерниона в матричном представлении эквивалентно обычному эрмитовому сопряжению матриц и

$$(\mathbb{A}\mathbb{B})^+ = \mathbb{B}^+\mathbb{A}^+.$$

Кватернионы с действительными компонентами называются *эрмитовыми*:  $\mathbb{A}^+ = \mathbb{A}$ . Иногда мы будем рассматривать кватернионы у которых скалярная часть действительна, а векторная чисто мнимая:  $\mathbb{A} = a_0 + i\mathbf{a}\boldsymbol{\sigma}$  ( $a_0$  и  $\mathbf{a}$  – действительны). Очевидно, что для *таких* кватернионов эрмитово и обычное сопряжение совпадают:  $\mathbb{A}^+ = \bar{\mathbb{A}}$ .

• Если компоненты кватерниона  $\mathbb{A} = \{a_0, \mathbf{a}\}$  действительны, а норма положительна, он может быть записан в *гиперполярной форме*:

$$\mathbb{A} = |\mathbb{A}| (\operatorname{ch} \alpha + (\mathbf{n}\boldsymbol{\sigma}) \operatorname{sh} \alpha) = |\mathbb{A}| e^{\alpha \mathbf{n}\boldsymbol{\sigma}}, \quad (8.15)$$

где  $\mathbf{n} = \mathbf{a}/|\mathbf{a}|$  – единичный вектор в направлении векторной части кватерниона и  $\operatorname{th} \alpha = |\mathbf{a}|/a_0$  (или  $\operatorname{ch} \alpha = a_0/|\mathbb{A}|$ ,  $\operatorname{sh} \alpha = |\mathbf{a}|/|\mathbb{A}|$ ). Так как для гиперболических функций справедливо тождество  $\operatorname{ch}^2 \alpha - \operatorname{sh}^2 \alpha = 1$  и  $|\mathbb{A}|^2 = a_0^2 - \mathbf{a}^2$ , несложно видеть, что такая форма совпадает с записью (8.8). Из тождества (8.7) следует, что для единичного вектора  $(\mathbf{n}\boldsymbol{\sigma})^2 = 1$ . Поэтому, возникает второе экспоненциальное равенство в гиперполярной форме. Действительно, раскладывая экспоненту в ряд Тейлора и учитывая, что  $(\mathbf{n}\boldsymbol{\sigma})^2 = 1$ ,  $(\mathbf{n}\boldsymbol{\sigma})^3 = \mathbf{n}\boldsymbol{\sigma}$  и т.д., получим разложения гиперболического косинуса при единичной матрице и синуса при матрице  $\mathbf{n}\boldsymbol{\sigma}$ . Из экспоненциального представления немедленно следует правило для вычисления произвольной степени кватерниона:

$$\mathbb{A}^k = |\mathbb{A}|^k e^{k\alpha \mathbf{n}\boldsymbol{\sigma}} = |\mathbb{A}|^k (\operatorname{ch}(k\alpha) + (\mathbf{n}\boldsymbol{\sigma}) \operatorname{sh}(k\alpha)).$$

Для кватерниона имеющего действительную скалярную часть и чисто мнимую векторную:  $\mathbb{A} = a_0 + i\mathbf{a}\boldsymbol{\sigma}$  ( $a_0$  и  $\mathbf{a}$  – действительны), норма всегда неотрицательна:  $|\mathbb{A}|^2 = a_0^2 + \mathbf{a}^2$ . В этом случае гиперполярная форма переходит в *полярную* с мнимой единицей:  $\alpha \mapsto i\alpha$  (гиперболические косинус и синус заменяются на обычные косинус и синус, см. стр. 784):

$$\mathbb{A} = |\mathbb{A}| (\cos \alpha + i(\mathbf{n}\boldsymbol{\sigma}) \sin \alpha) = |\mathbb{A}| e^{i\alpha \mathbf{n}\boldsymbol{\sigma}}. \quad (8.16)$$

Возведение такого кватерниона в произвольную степень, аналогично сводится к умножению аргумента в косинусе и синусе на эту же степень. Обратим внимание, что в силу периодичности тригонометрических функций, при извлечении корня (степень  $1/k$ ) возникает  $k$  различных кватернионов,  $k$ -я степень которых даёт исходный кватернион. Точно также обстоят дела и с обычными комплексными числами.

При помощи компонент матриц Паули любой кватернион  $\mathbb{A} = \{a_0, \mathbf{a}\}$  можно записать в явном матричном виде:

$$\mathbb{A} = \begin{pmatrix} a_0 + a_3 & a_1 - ia_2 \\ a_1 + ia_2 & a_0 - a_3 \end{pmatrix}.$$

Перемножение таких матриц и выделение элементов  $a_0 = (A_{11} + A_{22})/2$ , и т.д. приводит к правилу умножения (8.9).

## 8.2 Вращение

• Применим кватернионы для описания вращения декартовой системы координат. Пусть поворот осуществляется вокруг единичного вектора  $\mathbf{n}$  на угол  $\phi$ . Определим следующий кватернион:

$$\mathbb{R} = \cos\left(\frac{\phi}{2}\right) + \imath \sin\left(\frac{\phi}{2}\right) \mathbf{n}\boldsymbol{\sigma}. \quad (8.17)$$

Он имеет действительную скалярную часть и чисто мнимую векторную. Норма этого кватерниона равна единице:

$$\mathbb{R}\bar{\mathbb{R}} = 1. \quad (8.18)$$

При помощи компонент радиус вектора  $\mathbf{r} = \{x, y, z\}$  и скаляра относительно вращений (например, времени  $t$ ) определим ещё один кватернион:

$$\mathbb{X} = t + \mathbf{r}\boldsymbol{\sigma}. \quad (8.19)$$

Найдём результат следующего преобразования:

$$\mathbb{X}' = \mathbb{R}\mathbb{X}\mathbb{R}^+. \quad (8.20)$$

Пусть  $c = \cos(\phi/2)$ ,  $s = \sin(\phi/2)$ . Произведение  $\mathbb{R}\mathbb{X}\mathbb{R}^+$  вычислим при помощи коммутатора (8.10), переставив местами кватернионы  $\mathbb{R}$  и  $\mathbb{X}$ :

$$\mathbb{X}' = (\mathbb{X}\mathbb{R} + 2\imath^2 s[\mathbf{n} \times \mathbf{r}]\boldsymbol{\sigma}) \mathbb{R}^+ = \mathbb{X} - 2s[\mathbf{n} \times \mathbf{r}]\boldsymbol{\sigma} (c - \imath s \mathbf{n}\boldsymbol{\sigma}),$$

где во втором равенстве учтено, что  $\mathbb{R}^+ = \bar{\mathbb{R}} = c - \imath s \mathbf{n}\boldsymbol{\sigma}$  и из (8.18) следует  $\mathbb{R}\mathbb{R}^+ = 1$ . Перемножим скобки при помощи (8.7):

$$\mathbb{X}' = \mathbb{X} - 2sc[\mathbf{n} \times \mathbf{r}]\boldsymbol{\sigma} - 2s^2 [[\mathbf{n} \times \mathbf{r}] \times \mathbf{n}]\boldsymbol{\sigma}$$

и, раскрыв двойное векторное произведение  $[\mathbf{n} \times \mathbf{r}] \times \mathbf{n} = \mathbf{r} - \mathbf{n}(\mathbf{n}\mathbf{r})$ , окончательно, получим:

$$t' + \mathbf{r}'\boldsymbol{\sigma} = t + ((1 - 2s^2) \mathbf{r} + 2s^2 \mathbf{n}(\mathbf{n}\mathbf{r}) - 2sc [\mathbf{n} \times \mathbf{r}])\boldsymbol{\sigma}.$$

Скалярная часть кватерниона  $\mathbb{X}$  не меняется ( $t' = t$ ). Такая инвариантность сразу следует из правила циклической перестановки (8.11), стр. 509:  $[\mathbb{X}'] = [\mathbb{R}\mathbb{X}\mathbb{R}^+] = [\mathbb{R}^+\mathbb{R}\mathbb{X}] = [\mathbb{I}\mathbb{X}] = [\mathbb{X}]$ . Изменение векторной части после применения тригонометрических тождеств соответствует повороту системы координат:

$$\mathbf{r}' = \mathbf{r} \cos \phi + \mathbf{n}(\mathbf{n}\mathbf{r})(1 - \cos \phi) - [\mathbf{n} \times \mathbf{r}] \sin \phi. \quad (8.21)$$

Это преобразование компонент радиус-вектора при вращении системы координат мы получили на странице 385.



• Норма кватерниона  $\mathbb{X} = t + \mathbf{r}\sigma$  равна интервалу в 4-мерном пространстве-времени:

$$|\mathbb{X}|^2 = t^2 - \mathbf{r}^2.$$

Вращение оставляет его инвариантным. Поэтому инвариантом будет и  $\mathbb{X}\bar{\mathbb{X}} = |\mathbb{X}|^2 \mathbb{I}$ . Продемонстрируем это. Так как  $\mathbb{I}^+ = \mathbb{I}$ , из  $\mathbb{R}\bar{\mathbb{R}} = \bar{\mathbb{R}}\mathbb{R} = \mathbb{I}$  следует, что  $\bar{\mathbb{R}}^+\mathbb{R}^+ = \mathbb{R}^+\bar{\mathbb{R}}^+ = \mathbb{I}$ . Поэтому, при помощи (8.12), получаем:

$$\mathbb{X}'\bar{\mathbb{X}}' = \mathbb{R}\mathbb{X}\mathbb{R}^+ \overline{\mathbb{R}\mathbb{X}\mathbb{R}^+} = \mathbb{R}\mathbb{X}\mathbb{R}^+ \bar{\mathbb{R}}^+\bar{\mathbb{X}}\bar{\mathbb{R}} = \mathbb{R}\mathbb{X}\bar{\mathbb{R}}\bar{\mathbb{X}}\mathbb{R} = \mathbb{R}\mathbb{X}\bar{\mathbb{X}}\mathbb{R} = \mathbb{X}\bar{\mathbb{X}} = inv,$$

где учтено, что  $\mathbb{X}\bar{\mathbb{X}} \sim \mathbb{I}$  и, следовательно, он перестановочен с  $\mathbb{R}$ . Как мы видим, инвариантность нормы  $\mathbb{X}$  не связана с явным видом кватерниона  $\mathbb{R}$  и справедлива для *любого* кватернионного преобразования с *единичной нормой* ( $\mathbb{R}\bar{\mathbb{R}} = \mathbb{I}$ ).

Так как векторная часть кватерниона поворотов  $\mathbb{R}$  чисто мнимая, а скалярная действительна, то  $\mathbb{R}^+ = \bar{\mathbb{R}}$ . Следовательно, соответствующая кватерниону матрица является унитарной:  $\mathbb{R}\mathbb{R}^+ = \mathbb{I}$ . Запишем её явный вид при помощи матриц Паули:

$$\mathbb{R} = \begin{pmatrix} c_{\phi/2} + n_z s_{\phi/2} & \iota(n_x - n_y) s_{\phi/2} \\ \iota(n_x + n_y) s_{\phi/2} & c_{\phi/2} - n_z s_{\phi/2} \end{pmatrix},$$

где  $s_{\phi/2} = \sin(\phi/2)$  и  $c_{\phi/2} = \cos(\phi/2)$ . Прямым вычислением несложно проверить, что определитель этой матрицы равен единице:  $\det \mathbb{R} = 1$ , поэтому она принадлежит к группе специальных унитарных матриц  $2 \times 2$   $\mathbf{SU}(2)$  (стр. 388).

Стоит сравнить преобразование  $\mathbb{X}' = \mathbb{R}\mathbb{X}\mathbb{R}^+$  с преобразованием (8.21), записанном в матричном виде:  $\mathbf{r}' = \mathbf{R}\mathbf{r}$  с  $\mathbf{r} = (x \ y \ z)^T$  и

$$\mathbf{R} = \begin{pmatrix} c_\phi + n_x^2(1 - c_\phi) & n_x n_y(1 - c_\phi) + n_z s_\phi & n_x n_z(1 - c_\phi) - n_y s_\phi \\ n_y n_x(1 - c_\phi) - n_z s_\phi & c_\phi + n_y^2(1 - c_\phi) & n_y n_z(1 - c_\phi) + n_x s_\phi \\ n_z n_x(1 - c_\phi) + n_y s_\phi & n_z n_y(1 - c_\phi) - n_x s_\phi & c_\phi + n_z^2(1 - c_\phi) \end{pmatrix},$$

где  $s_\phi = \sin \phi$  и  $c_\phi = \cos \phi$ . Матрица вращения  $3 \times 3$  выглядит более громоздкой, однако, при преобразовании вектора требуется только умножение матрицы на столбец. Кватернионные матрицы вращения  $2 \times 2$  проще, но для получения преобразованного кватерниона мы умножаем исходный слева на  $\mathbb{R}$  и справа на  $\mathbb{R}^+$ . Отметим также разницу в аргументах тригонометрических функций обеих матриц. Если в  $\mathbf{R}$  они зависят от угла поворота  $\phi$ , то в кватернионе  $\mathbb{R}$  стоит половинный угол  $\phi/2$ .

• Преимущества кватернионной техники проявляются при рассмотрении композиции преобразований. Рассмотрим два последовательных поворота:  $\mathbb{X}_1 = \mathbb{R}_1 \mathbb{X} \mathbb{R}_1^+$  и затем  $\mathbb{X}_2 = \mathbb{R}_2 \mathbb{X}_1 \mathbb{R}_2^+$ . Подставляя первое преобразование во второе, получаем:

$$\mathbb{X}_2 = (\mathbb{R}_2 \mathbb{R}_1) \mathbb{X} (\mathbb{R}_2 \mathbb{R}_1)^+,$$

где учтено тождество  $(\mathbb{A}\mathbb{B})^+ = \mathbb{B}^+ \mathbb{A}^+$ . В произведении  $\mathbb{R}_2 \mathbb{R}_1$  сначала стоит кватернион второго преобразования, а *затем* первого. Пусть кватернионы равны  $\mathbb{R}_2 = c_2 + \imath s_2 \mathbf{n}_2 \sigma$  и  $\mathbb{R}_1 = c_1 + \imath s_1 \mathbf{n}_1 \sigma$ , где  $c_i = \cos(\phi_i/2)$  и т.д. Их произведение снова является *поворотом* с кватернионом:

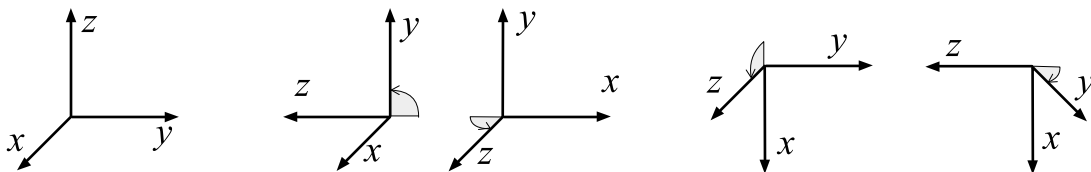
$$\mathbb{R} = \mathbb{R}_2 \mathbb{R}_1 = c_1 c_2 - s_1 s_2 (\mathbf{n}_1 \mathbf{n}_2) + \imath (s_1 c_2 \mathbf{n}_1 + c_1 s_2 \mathbf{n}_2 + s_1 s_2 [\mathbf{n}_1 \times \mathbf{n}_2]) \sigma.$$

Записывая результат как  $\mathbb{R} = c + \imath s \mathbf{n} \sigma$ , несложно выразить итоговый угол поворота  $\phi$  и ось  $\mathbf{n}$  через углы и оси исходных поворотов. В частности:

$$\cos \frac{\phi}{2} = \cos \frac{\phi_1 + \phi_2}{2} + (1 - \mathbf{n}_1 \mathbf{n}_2) \sin \frac{\phi_1}{2} \sin \frac{\phi_2}{2}. \quad (8.22)$$

Стоит получить это соотношение непосредственно из (8.21), чтобы в полной мере ощутить преимущество кватернионов перед матрицами  $3 \times 3$ .

Из (8.22) следует, что углы последовательных поворотов складываются только, если оси этих поворотов параллельны:  $\mathbf{n}_1 \mathbf{n}_2 = 1$ . Последовательность поворотов важна, и в общем случае  $\mathbb{R}_1 \mathbb{R}_2 \neq \mathbb{R}_2 \mathbb{R}_1$ . Ниже на втором и третьем рисунках приведены повороты системы координат по часовой стрелке на угол  $\pi/2$ , сначала вокруг оси  $x$ , затем вокруг  $y$ . На последних двух рисунках эти же повороты выполнены в обратной последовательности. Результат получается различным!



Обратим внимание, что при композиции двух вращений снова получается кватернион, описывающий некоторый поворот. Он имеет единичную норму и чисто мнимую векторную часть. Это утверждение выглядит достаточно тривиальным. Однако, как мы увидим ниже, для преобразований Лоренца это уже не так. Композиция двух лоренцевских преобразований, в общем случае, не приводит снова к обычным преобразованиям Лоренца!

• Кватернионы вращения можно покомпонентно умножать на число и складывать. В общем случае при этом не получится снова кватернион вращения. Выясним когда это всё же происходит. Пусть:

$$\mathbb{R} = \alpha \mathbb{R}_1 + \beta \mathbb{R}_2, \quad (8.23)$$

где  $\alpha$  и  $\beta$  – действительные коэффициенты. Если  $\mathbb{R}_1$  и  $\mathbb{R}_2$  имеют действительные скалярные и чисто мнимые векторные части, то таким же будет и  $\mathbb{R}$ . Однако, этого недостаточно. Чтобы результирующий кватернион  $\mathbb{R}$  был кватернионом вращения у него должна быть единичная норма:

$$\mathbb{R}\bar{\mathbb{R}} = (\alpha \mathbb{R}_1 + \beta \mathbb{R}_2)(\alpha \bar{\mathbb{R}}_1 + \beta \bar{\mathbb{R}}_2) = (\alpha^2 + \beta^2) \mathbb{I} + \alpha\beta (\mathbb{R}_1\bar{\mathbb{R}}_2 + \mathbb{R}_2\bar{\mathbb{R}}_1) = \mathbb{I}.$$

Выражение  $\mathbb{R}_1\bar{\mathbb{R}}_2 + \mathbb{R}_2\bar{\mathbb{R}}_1$ , в соответствии с тождеством (8.13), стр. 509, пропорционально единичному кватерниону. Коэффициент при  $\mathbb{I}$  равен удвоенной скалярной части произведения кватернионов  $\mathbb{R}_1\bar{\mathbb{R}}_2$ :

$$[\mathbb{R}_1\bar{\mathbb{R}}_2] = [\mathbb{R}_2\bar{\mathbb{R}}_1] = c_1c_2 + s_1s_2(\mathbf{n}_1\mathbf{n}_2).$$

Поэтому  $\mathbb{R}$  будет кватернионом вращения, если:

$$\alpha^2 + \beta^2 + 2[\mathbb{R}_1\bar{\mathbb{R}}_2]\alpha\beta = 1. \quad (8.24)$$

Предположим, что из начальной ориентации  $\mathbb{X}$  при помощи  $\mathbb{R}_0$  и  $\mathbb{R}_1$  получены две другие  $\mathbb{X}_0 = \mathbb{R}_0\mathbb{X}\mathbb{R}_0^+$  и  $\mathbb{X}_1 = \mathbb{R}_1\mathbb{X}\mathbb{R}_1^+$  (это не последовательные повороты, а различные повороты, начинающиеся с  $\mathbb{X}$ ). Так как  $\mathbb{R}\mathbb{R}^+ = \mathbb{I}$ , первое преобразование можно обратить:  $\mathbb{R}_0^+\mathbb{X}_0\mathbb{R}_0 = \mathbb{X}$ . Следовательно  $\mathbb{X}_1$  получается из  $\mathbb{X}_0$  при помощи преобразования:

$$\mathbb{X}_1 = \mathbb{Q}_1\mathbb{X}_0\mathbb{Q}_1^+, \quad \mathbb{Q}_1 = \mathbb{R}_1\mathbb{R}_0^+.$$

Найдём кватернион  $\mathbb{Q}_t$ , зависящий от параметра  $t = [0...1]$  и дающий ориентацию  $\mathbb{X}_t = \mathbb{Q}_t\mathbb{X}_0\mathbb{Q}_t^+$ , которая при  $t = 0$  соответствует  $\mathbb{X}_0$ , а при  $t = 1$ :  $\mathbb{X}_1$ . Пусть при этом угол поворота *равномерно* изменяется:

$$\mathbb{Q}_t = \cos(\omega t) + \imath \sin(\omega t)\mathbf{n}\sigma = \cos(\omega t) + \frac{\sin(\omega t)}{\sin \omega} (\mathbb{R}_1\mathbb{R}_0^+ - \cos \omega),$$

где ось поворота  $\mathbf{n}$  выражена через  $\mathbb{R}_1\mathbb{R}_0^+$  так, что  $\mathbb{Q}_0 = 1$  и  $\mathbb{Q}_1 = \mathbb{R}_1\mathbb{R}_0^+$ . Из первого равенства следует, что  $\cos \omega = [\mathbb{Q}_1] = [\mathbb{R}_1\mathbb{R}_0^+]$ . От кватерниона  $\mathbb{Q}_t$  можно перейти к вращению  $\mathbb{R}_t$ , стартующему с  $\mathbb{X}$ :  $\mathbb{X}_t = \mathbb{R}_t\mathbb{X}\mathbb{R}_t^+$ . Так как  $\mathbb{R}_t = \mathbb{Q}_t\mathbb{R}_0$ , имеем:

$$\mathbb{R}_t = \frac{\sin(\omega(1-t))}{\sin \omega} \mathbb{R}_0 + \frac{\sin(\omega t)}{\sin \omega} \mathbb{R}_1. \quad (8.25)$$

Это соотношение называется *сферической линейной интерполяцией* между ориентациями  $\mathbb{X}_0$  и  $\mathbb{X}_1$ . Несложно проверить, что коэффициенты при кватернионах поворотов  $\mathbb{R}_0$  и  $\mathbb{R}_1$  удовлетворяют условию (8.24).

### 8.3 Преобразования Лоренца

• Кватернионы позволяют также описывать и преобразования Лоренца. Используя гиперболические косинус, синус и единичный вектор  $\mathbf{m}^2 = 1$ , определим кватернион *лоренцевского буста* (преобразования Лоренца без вращения):

$$\mathbb{L} = \operatorname{ch} \left( \frac{\alpha}{2} \right) - \operatorname{sh} \left( \frac{\alpha}{2} \right) \mathbf{m}\boldsymbol{\sigma}. \quad (8.26)$$

Кватернион буста  $\mathbb{L}$ , как и вращения  $\mathbb{R}$ , имеет *единичную норму*, так как

$$\mathbb{L}\bar{\mathbb{L}} = (c - s \mathbf{m}\boldsymbol{\sigma})(c + s \mathbf{m}\boldsymbol{\sigma}) = (c^2 - s^2) = 1$$

(сейчас  $c = \operatorname{ch}(\alpha/2)$  и аналогично  $s$ ). Однако, отсутствие мнимой единицы в векторной части приводит к тому, что матрица  $\mathbb{L}$  оказывается уже неунитарной:

$$\mathbb{L}\mathbb{L}^+ = \mathbb{L}^2 = (c - s \mathbf{m}\boldsymbol{\sigma})^2 = (c^2 + s^2) - 2sc\mathbf{m}\boldsymbol{\sigma} = \operatorname{ch}(\alpha) - \operatorname{sh}(\alpha) \mathbf{m}\boldsymbol{\sigma} \neq \mathbb{I}.$$

Запишем аналогично вращению преобразование для  $\mathbb{X} = t + \mathbf{r}\boldsymbol{\sigma}$ :

$$\mathbb{X}' = \mathbb{L}\mathbb{X}\mathbb{L}^+. \quad (8.27)$$

Так как компоненты кватерниона буста действительны, он является эрмитовым:  $\mathbb{L}^+ = \mathbb{L}$ . Найдем результат (8.27) при помощи матриц Паули:

$$t' + \mathbf{r}'\boldsymbol{\sigma} = (c - s\mathbf{m}\boldsymbol{\sigma})(t + \mathbf{r}\boldsymbol{\sigma})(c - s\mathbf{m}\boldsymbol{\sigma}).$$

Перемножая с сохранением порядка сомножителей (матрицы!) и, пользуясь тождеством (8.7), стр. 508, получаем:

$$\mathbb{X}' = (c^2 + s^2)t - 2sc(\mathbf{r}\mathbf{m}) + c^2\mathbf{r}\boldsymbol{\sigma} - 2sct\mathbf{m}\boldsymbol{\sigma} + s^2(\mathbf{m}\boldsymbol{\sigma})(\mathbf{r}\boldsymbol{\sigma})(\mathbf{m}\boldsymbol{\sigma}).$$

Дважды ещё раз применяя (8.7) и раскрывая двойное векторное произведение, получаем:  $(\mathbf{m}\boldsymbol{\sigma})(\mathbf{r}\boldsymbol{\sigma})(\mathbf{m}\boldsymbol{\sigma}) = 2(\mathbf{m}\mathbf{r})(\mathbf{m}\boldsymbol{\sigma}) - \mathbf{r}\boldsymbol{\sigma}$ , поэтому:

$$t' + \mathbf{r}'\boldsymbol{\sigma} = (c^2 + s^2)t - 2sc(\mathbf{m}\mathbf{r}) + (c^2 - s^2)\mathbf{r}\boldsymbol{\sigma} - 2cst\mathbf{m}\boldsymbol{\sigma} + 2s^2(\mathbf{m}\mathbf{r})(\mathbf{m}\boldsymbol{\sigma}).$$

Приравнивая скалярные и векторные части, приходим к преобразованиям Лоренца:

$$t' = t \operatorname{ch} \alpha - (\mathbf{m}\mathbf{r}) \operatorname{sh} \alpha, \quad \mathbf{r}' = \mathbf{r} - t \mathbf{m} \operatorname{sh} \alpha + (\operatorname{ch} \alpha - 1) (\mathbf{m}\mathbf{r}) \mathbf{m},$$

где учтены гиперболические тождества двойного угла (стр. 784).

Более привычная запись преобразований Лоренца (1.12), стр. 33 получается после переобозначений:

$$\mathbf{m} = \frac{\mathbf{v}}{v}, \quad \text{ch } \alpha = \gamma, \quad \mathbf{m} \text{ sh } \alpha = \mathbf{v} \gamma, \quad v = \text{th } \alpha,$$

где, как обычно,  $\gamma = 1/\sqrt{1-v^2}$ , и  $\alpha$  называется *быстротой*:

$$\alpha = \text{ath } v = \frac{1}{2} \ln \frac{1+v}{1-v}. \quad (8.28)$$

Кватернион буста в матричном представлении

$$\mathbb{L} = \text{ch} \left( \frac{\alpha}{2} \right) - \text{sh} \left( \frac{\alpha}{2} \right) \mathbf{m} \boldsymbol{\sigma} = \begin{pmatrix} c - m_3 s & -(m_1 - im_2) s \\ -(m_1 + im_2) s & c + m_3 s \end{pmatrix}$$

имеет единичный определитель:  $\det \mathbb{L} = 1$ , как и матрица кватерниона вращений  $\mathbb{R}$ . Однако, так как он неэрмитов ( $\mathbb{L}\mathbb{L}^+ \neq \mathbb{I}$ ), эта матрица принадлежит к более широкой группе специальных (но в общем случае не унитарных) матриц  $\mathbf{SL}(2, C)$  (буква  $\mathbf{S}$  означает “специальная”, буква  $\mathbf{L}$  – линейная; в скобках первый аргумент сообщает о размерности матрицы, а второй о том, что её элементы комплексны). К этой же группе принадлежат и матрицы общих преобразований Лоренца, которые включают в себя лоренцевский буст и трехмерный поворот. Действительно, т.к. определитель произведения матриц равен произведению их определителей, то определитель композиции вращения и преобразований Лоренца будет единичным:  $\det(\mathbb{R}\mathbb{L}) = \det \mathbb{R} \det \mathbb{L} = 1$ . Кроме этого  $\mathbb{R}\mathbb{L}\bar{\mathbb{R}} = \mathbb{R}\mathbb{L}\bar{\mathbb{R}} = \mathbb{I}$ .

Преобразование, осуществляемое кватернионом с *единичной нормой*:

$$\mathbb{X}' = \mathbb{S}\mathbb{X}\mathbb{S}^+, \quad \mathbb{S}\bar{\mathbb{S}} = \mathbb{I}$$

всегда оставляет инвариантным кватернион, пропорциональный интервалу  $\mathbb{X}\bar{\mathbb{X}} = (t^2 - \mathbf{r}^2) \mathbb{I}$  (см. стр. 513). Если коэффициенты  $\mathbb{S}$  действительны – это лоренцевские бусты  $\mathbb{L}$ . Если нулевая часть действительна, а векторная чисто мнимая, то это пространственные вращения  $\mathbb{R}$ . Остальные варианты соответствуют *смешанным преобразованиям*.

Матрица  $\mathbb{S}$  размерности  $2 \times 2$  с комплексными элементами имеет  $8 = 2 \cdot 4$  вещественных параметров. Требование единичности определителя приводит к двум уравнениям (для действительной и мнимой частей). Поэтому существуют 6 независимых вещественных параметра, определяющих общее преобразование Лоренца (3 угла поворота и 3 проекции скорости). Им соответствуют 6 генераторов группы. В качестве упражнения ( $\llcorner \mathbb{H}_{118}$ ) стоит записать матрицы вращения и буста при малых значениях *действительных* параметров:  $\mathbb{R} = 1 + \phi_i \mathbf{R}_i$ ,  $\mathbb{L} = 1 + \alpha_i \mathbf{L}_i$  и найти алгебру Ли для генераторов группы, сравнив её с алгеброй генераторов матриц  $4 \times 4$  (стр. 398), действующих на столбики 4-векторов  $(t, x, y, z)^T$ .

• Рассмотрим два последовательных лоренцевских буста  $\mathbb{L}_2\mathbb{L}_1$  (сначала  $\mathbb{L}_1$ , затем  $\mathbb{L}_2$ ), где  $\mathbb{L}_2 = c_2 - s_2 \mathbf{m}_2\boldsymbol{\sigma}$  и  $\mathbb{L}_1 = c_1 - s_1 \mathbf{m}_1\boldsymbol{\sigma}$ :

$$\mathbb{S} = \mathbb{L}_2\mathbb{L}_1 = c_1c_2 + (\mathbf{m}_1\mathbf{m}_2) s_1s_2 - (\mathbf{m}_1 s_1c_2 + \mathbf{m}_2 c_1s_2 + i[\mathbf{m}_1 \times \mathbf{m}_2] s_1s_2)\boldsymbol{\sigma}$$

(как обычно  $c_1 = \text{ch}(\alpha_1/2)$ , и т.д.). Векторная часть  $\mathbb{S}$ , при  $\mathbf{m}_1 \times \mathbf{m}_2 \neq 0$  не является действительной. Поэтому это не лоренцевский буст (8.26). Тем не менее, его можно разложить на композицию буста (8.26) и пространственного вращения (8.17), например, таким образом (сначала буст, затем поворот):

$$\mathbb{L}_2\mathbb{L}_1 = \mathbb{R}\mathbb{L}.$$

Найдем произведение вращения  $\mathbb{R} = c_\phi + is_\phi \mathbf{n}\boldsymbol{\sigma}$  и буста  $\mathbb{L} = c_\alpha - s_\alpha \mathbf{m}\boldsymbol{\sigma}$ , где  $c_\alpha = \text{ch}(\alpha/2)$ ,  $c_\phi = \cos(\phi/2)$ :

$$\mathbb{S} = \mathbb{R}\mathbb{L} = c_\alpha c_\phi - i \mathbf{nm} s_\alpha s_\phi + (i \mathbf{n} c_\alpha s_\phi - \mathbf{m} s_\alpha c_\phi - [\mathbf{m} \times \mathbf{n}] s_\alpha s_\phi)\boldsymbol{\sigma}. \quad (8.29)$$

Этот кватернион совпадёт с  $\mathbb{L}_2\mathbb{L}_1$  (имеющего действительную скалярную часть), если итоговая скорость и ось вращения будут *перпендикулярны* друг другу ( $\mathbf{nm} = 0$ ). Кроме этого должны выполняться соотношения:

$$\begin{aligned} c_\alpha c_\phi &= c_1c_2 + (\mathbf{m}_1\mathbf{m}_2) s_1s_2, & \mathbf{n} c_\alpha s_\phi &= -[\mathbf{m}_1 \times \mathbf{m}_2] s_1s_2, \\ \mathbf{m} s_\alpha c_\phi + [\mathbf{m} \times \mathbf{n}] s_\alpha s_\phi &= \mathbf{m}_1 s_1c_2 + \mathbf{m}_2 c_1s_2. \end{aligned} \quad (8.30)$$

Теперь несложно получить связь между параметрами исходных бустов и эквивалентного им буста и поворота. Для этого введём  $\mathbf{m} \text{sh} \alpha = \mathbf{v}\gamma$ , и аналогично с индексами для  $\mathbf{v}_1$  и  $\mathbf{v}_2$ . Так как векторы  $\mathbf{n}$  и  $\mathbf{m}$  единичные и перпендикулярные, то  $\mathbf{m} \times \mathbf{n}$  также является единичным вектором. Возводя в квадрат третье соотношение (8.30), получим выражение для  $\gamma$ . Если умножить третье соотношение векторно на  $\mathbf{n}$ , и с его же помощью исключить  $\mathbf{m} \times \mathbf{n}$ , то получится выражение для вектора  $\mathbf{m}$ . В результате параметры суммарного буста  $\mathbb{L}$  равны ( $\llcorner \text{H}_{119}$ ):

$$\gamma = \gamma_1\gamma_2(1 + \mathbf{v}_1\mathbf{v}_2), \quad \mathbf{v} \frac{\gamma}{\gamma_2} = \mathbf{v}_2 + \mathbf{v}_1\gamma_1 + \mathbf{v}_1(\mathbf{v}_1\mathbf{v}_2) \frac{\gamma_1 - 1}{v_1^2}. \quad (8.31)$$

Из второго соотношения (8.30) следует, что при  $s_\phi > 0$  *единичный* вектор вдоль оси вращения равен  $\mathbf{n} = -[\mathbf{v}_1 \times \mathbf{v}_2]/|\mathbf{v}_1 \times \mathbf{v}_2|$ . Перемножая первое и второе соотношения (8.30), получим выражение для угла ( $\llcorner \text{H}_{120}$ ):

$$\mathbf{n} \sin \phi = -[\mathbf{v}_1 \times \mathbf{v}_2] \frac{\gamma_1\gamma_2(1 + \gamma + \gamma_1 + \gamma_2)}{(1 + \gamma)(1 + \gamma_1)(1 + \gamma_2)}. \quad (8.32)$$

Угол поворота  $\phi$  называется *углом Вигнера*, а формулу для него в таком виде получил Стапп в 1956 г. [45]. Заметим, что всегда  $\phi < \pi/2$ .

• Аналогичным образом произведение двух бустов можно разложить и в обратную последовательность (сначала выполняется поворот системы координат, затем происходит переход в новую систему отсчёта – буст):

$$\mathbb{L}_2\mathbb{L}_1 = \mathbb{L}\mathbb{R}.$$

Выражение для угла поворота  $\phi$  и оси вращения  $\mathbf{n}$  (8.32) в этом случае не изменятся. Не поменяется также модуль скорости итогового буста  $\mathbb{L}$  (или лоренцевский фактор  $\gamma$ ). Однако в выражении для вектора скорости произойдёт перестановка индексов 1 и 2 ( $\llcorner \mathbb{H}_{121}$ ):

$$\mathbf{v}\frac{\gamma}{\gamma_1} = \mathbf{v}_1 + \mathbf{v}_2\gamma_2 + \mathbf{v}_2(\mathbf{v}_2\mathbf{v}_1)\frac{\gamma_2 - 1}{v_2^2}. \quad (8.33)$$

Поэтому последовательность буста и поворота важна, и в общем случае:

$$\mathbb{L}\mathbb{R} \neq \mathbb{R}\mathbb{L},$$

так как параметры  $\mathbb{L}$  слева и справа должны быть различными. Это свойство является отражением неабелевости группы Лоренца (стр. 396).

• Произвольный кватернион  $\mathbb{S} = S_0 + \mathbf{S}\boldsymbol{\sigma}$  с единичной нормой ( $\mathbb{S}\bar{\mathbb{S}} = \bar{\mathbb{S}}\mathbb{S} = \mathbb{I}$  или  $S_0^2 - \mathbf{S}^2 = 1$  или  $\det \mathbb{S} = 1$ ) и комплексными коэффициентами всегда можно разложить на буст и вращение (с вообще говоря *неортогональными* осями  $\mathbf{nm} \neq 0$ ). Для этого необходимо воспользоваться (8.29):

$$S_0 = c_\alpha c_\phi - i \mathbf{nm} s_\alpha s_\phi, \quad \mathbf{S} = i \mathbf{n} c_\alpha s_\phi - \mathbf{m} s_\alpha c_\phi - [\mathbf{m} \times \mathbf{n}] s_\alpha s_\phi$$

и выразить единичные векторы  $\mathbf{n}$ ,  $\mathbf{m}$  и параметры  $\phi$ ,  $\alpha$  через действительную и мнимую части кватерниона  $\mathbb{S} = \{S_0, \mathbf{S}\}$ :

$$\mathbf{n}\frac{s_\phi}{c_\phi} = \frac{\mathbf{S}_I}{S_{0R}}, \quad c_\alpha = \frac{S_{0R}}{c_\phi}, \quad \mathbf{m} s_\alpha = [\mathbf{S}_R \times \mathbf{n}] s_\phi - \mathbf{S}_R c_\phi - \mathbf{n} S_{0I} s_\phi,$$

где  $\mathbf{S}_R$ ,  $\mathbf{S}_I$  – действительная и мнимая части вектора  $\mathbf{S}$ , и т.д. Заметим, что при помощи произвольного кватерниона с единичной нормой можно записать кватернион лоренцевского буста:

$$\mathbb{L} = \frac{\mathbb{S} + \mathbb{S}^+}{|\mathbb{I} + \mathbb{S}\bar{\mathbb{S}}^+|}.$$

Его эрмитовость очевидна, а единичность нормы  $\mathbb{L}\bar{\mathbb{L}} = \mathbb{I}$  проверяется прямым перемножением ( $\llcorner \mathbb{H}_{122}$ ). Из разложения  $\mathbb{S} = \mathbb{R}\mathbb{L}$  несложно найти кватернион  $\mathbb{R} = \mathbb{S}\bar{\mathbb{L}}$  ( $\llcorner \mathbb{H}_{123}$ ). Однако это не кватернион вращения, т.к. его векторная часть, вообще говоря, не является чисто мнимой.

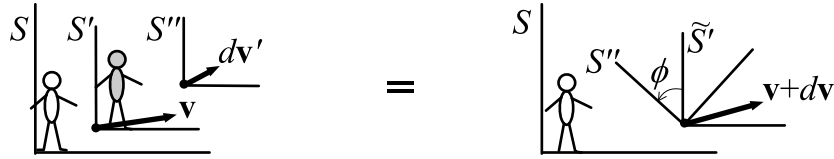
Обратим также внимание, что при перемножении кватерниона вращения  $\mathbb{R} = e^{i\frac{\phi}{2}\mathbf{n}\boldsymbol{\sigma}}$  и буста  $\mathbb{L} = e^{-\frac{\alpha}{2}\mathbf{m}\boldsymbol{\sigma}}$  в экспоненциальном представлении (стр. 511) нельзя складывать показатели экспонент, т.к. матрицы  $\mathbf{n}\boldsymbol{\sigma}$  и  $\mathbf{m}\boldsymbol{\sigma}$  в общем случае не коммутируют.

## 8.4 Прецессия Томаса

Рассмотрим три системы отсчёта. Пусть  $S$  – это *лабораторная* система отсчёта, а  $S'$  – инерциальная система, движущаяся относительно лабораторной со скоростью  $\mathbf{v}$ . Предположим, что неинерциальная система  $S''$ , имеющая в данный момент времени такую же скорость  $\mathbf{v}$  относительно  $S$ , изменяет её на  $d\mathbf{v}$  относительно  $S$  (или на  $d\mathbf{v}'$  относительно  $S'$ ). Ориентация декартовых осей систем  $S''$  и *сопутствующей* к ней  $S'$  совпадают. Изменение скорости на  $d\mathbf{v}'$  происходит таким образом, что координатные оси  $S''$  сдвигаются относительно  $S'$  “параллельным” образом. Как мы видели в предыдущем разделе, выполнение последовательных преобразований от  $S$  к  $S'$  со скоростью  $\mathbf{v}$  и от  $S'$  к  $S''$  со скоростью  $d\mathbf{v}'$  не является лоренцевским бустом. Однако их результат может быть представлен в виде композиций буста и следующего за ним поворота:

$$S \mapsto S'' : \quad \mathbb{L}(d\mathbf{v}') \mathbb{L}(\mathbf{v}) = \mathbb{R}(\mathbf{n}, d\phi) \mathbb{L}(\mathbf{v} + d\mathbf{v}). \quad (8.34)$$

Кватернион буста  $\mathbb{L}(\mathbf{v} + d\mathbf{v})$  даёт переход от системы  $S$  к некоторой системе  $\tilde{S}'$ , *которая*, поворачиваясь на угол  $d\phi$ , приводит к системе  $S''$ .



Воспользуемся формулой Стаппа (8.32), положив  $\mathbf{v}_1 = \mathbf{v}$  и  $\mathbf{v}_2 = d\mathbf{v}'$ . Бесконечно малое изменение скорости  $d\mathbf{v}'$  уже стоит в векторном произведении (8.32), поэтому в первом порядке малости можно положить  $\gamma_2 = 1$ ,  $\gamma = \gamma_1 = \gamma_{\mathbf{v}}$  и синус заменить на угол:

$$\mathbf{n} d\phi = -\frac{\gamma}{1 + \gamma} [\mathbf{v} \times d\mathbf{v}']. \quad (8.35)$$

Учитывая, что в левой части (8.31) для композиции (8.34) скорость  $\mathbf{v}$  это  $\mathbf{v} + d\mathbf{v}$ , и справедливо ( $\ll H_{124}$ ) разложение  $\gamma_{\mathbf{v}+d\mathbf{v}} \approx \gamma + \gamma^3 \mathbf{v} d\mathbf{v}$ , где  $\gamma = \gamma_{\mathbf{v}}$  имеем:

$$\gamma d\mathbf{v} + \gamma^3 \mathbf{v} (\mathbf{v} d\mathbf{v}) \approx d\mathbf{v}' + \mathbf{v} (\mathbf{v} d\mathbf{v}') \frac{\gamma - 1}{v^2}.$$

Умножая векторно на  $\mathbf{v}$ , получаем  $\mathbf{v} \times d\mathbf{v}' = \gamma \mathbf{v} \times d\mathbf{v}$ , или:

$$\mathbf{n} d\phi = -\frac{\gamma^2}{\gamma + 1} [\mathbf{v} \times d\mathbf{v}], \quad (8.36)$$

где штриха у изменения скорости уже нет (все величины в *правой* части относятся к лабораторной системе  $S$ ).



Вместо координатного эффекта (8.34), на практике больший интерес представляет неинерциальное движение “жесткого” стержня или небольшого вращающегося гироскопа (частицы), обладающего собственным моментом (спином). Пусть при изменении скорости относительно сопутствующей системы отсчёта, 3-векторы, связанные с этими объектами, переносятся параллельным образом. Возникает вопрос, как подобный вектор выглядит в лабораторной системе отсчета. Иногда считают, что получив кинематическое вращение осей координат, мы автоматически получаем поворот любого вектора, связанного с системой  $S''$ . Как следствие, все такие векторы должны поворачиваться единым образом. В частности вектор, соединяющий начало и конец стержня, жёстко связанного с  $S''$  или вектор спина гироскопа неподвижного относительно  $S''$  имеют одинаковую прецессию относительно лабораторной системы отсчёта. Так вот, это неверно!

Во второй главе (стр. 118) мы получили уравнение для стержня (направленный отрезок  $\mathbf{s}$ ), а в третьей (стр. 190) уравнение для спина  $\mathbf{S}$  частицы, движущейся с ускорением  $\mathbf{a}$ . Эти уравнения различны:

$$\frac{d\mathbf{s}}{dt} = -\gamma^2 (\mathbf{v}\mathbf{s}) \mathbf{a}, \quad \frac{d\mathbf{S}}{dt} = \gamma^2 (\mathbf{a}\mathbf{S}) \mathbf{v}.$$

Физическая причина этого состоит в следующем. Синхронное вращение различных 3-векторов происходит при обычном повороте *неподвижной* декартовой системы координат. Однако нас интересует изменение векторов, *движущихся* относительно лабораторной системы. В этом случае необходимо учитывать свойства этих векторов не только при вращении, но и при преобразованиях Лоренца.

Относительно последних, например, проекции спина являются пространственными компонентами 4-вектора. Полный момент импульса – это три из шести компонент 4-тензора. Радиус-вектор, направленный вдоль стержня, – это “координатный” 3-вектор. Все эти векторы одинаково ведут себя по отношению к 3-мерным вращениям, но абсолютно *различно* по отношению к преобразованиям Лоренца. В результате, физические величины, выражаемые через 3-векторы, могут иметь разные уравнения для своего изменения. Например, для наблюдения за стержнем необходимо в каждый момент времени одновременно фиксировать положение всех его точек. При такой фиксации движущийся объект будет определённым образом “деформироваться”. В частности, декартовы оси перпендикулярные для наблюдателей в  $S''$ , будут отнюдь не такими относительно лабораторной системы отсчета (стр. 81), а стержень, при изменении скорости, меняет не только свою ориентацию, но и длину.

• Таким образом, применение уравнения прецессии (8.36) для конкретного объекта требует учёта его общих трансформационных свойств. В качестве примера, получим из томасовской прецессии уравнение переноса Ферми, стр. 192 (или ВМТ-уравнение с  $g = 0$ , стр. 466). Запишем (8.36) как поворот вектора спина. Любой 3-вектор при вращении системы координат на угол  $d\phi$  изменяется следующим образом  $d\mathbf{S}' = d\phi \mathbf{n} \times \mathbf{S}'$ . Подставляя (8.36) и разделив на  $dt$ , имеем:

$$\frac{d\mathbf{S}'}{dt} = -\frac{\gamma^2}{\gamma + 1} [\mathbf{v} \times \mathbf{a}] \times \mathbf{S}'. \quad (8.37)$$

Под прецессией обычно понимают поворот 3-вектора без изменения им длины. Именно таким является уравнение (8.37) для вектора  $\mathbf{S}'$ . Однако оно не относится к конкретной системе отсчёта. Скорость  $\mathbf{v}$ , ускорение  $\mathbf{a} = d\mathbf{v}/dt$  и интервал времени  $dt$  измеряются в лабораторной системе, тогда как изменение вектора спина  $d\mathbf{S}'$  (его поворот) относится к *неинерциальной* системе  $\tilde{S}'$ , в которой скорость гироскопа равна нулю. Эта система *в каждый* момент времени *связана бустом* с лабораторной системой. Именно этот буст записан в правой части соотношения (8.34).

Запишем преобразование Лоренца для 3-вектора спина  $\mathbf{S}$ , являющегося пространственной частью 4-вектора  $\mathbf{S} = \{S_0, \mathbf{S}\}$ . Этот 4-вектор ортогонален 4-скорости  $\mathbf{V} = \{\gamma, \gamma\mathbf{v}\}$  (т.е.  $\mathbf{V} \cdot \mathbf{S} = 0$ ). Следовательно, его нулевая компонента равна  $S_0 = \mathbf{v}\mathbf{S}$ , и соответствующее преобразование Лоренца имеет вид (см. стр. 191):

$$\mathbf{S}' = \mathbf{S} - \frac{\gamma}{\gamma + 1} (\mathbf{v}\mathbf{S}) \mathbf{v}. \quad (8.38)$$

Это обычное мгновенное преобразование Лоренца с  $S_0 = \mathbf{v}\mathbf{S}$ , в котором скорость  $\mathbf{v}$  является функцией времени  $\mathbf{v} = \mathbf{v}(t)$ . Подставляя его в (8.37) и учитывая производную лоренцевского фактора  $d\gamma/dt = \gamma^3 (\mathbf{v}\mathbf{a})$ , имеем:

$$\frac{d\mathbf{S}}{dt} - \frac{\gamma}{\gamma + 1} \left( \mathbf{v} \frac{d\mathbf{S}}{dt} \right) \mathbf{v} = \gamma (\mathbf{a}\mathbf{S}) \mathbf{v}. \quad (8.39)$$

Умножая на  $\mathbf{v}$ , находим  $\mathbf{v}d\mathbf{S}/dt = \gamma^2 \mathbf{v}^2 (\mathbf{a}\mathbf{S})$  и окончательно:

$$\frac{d\mathbf{S}}{dt} = \gamma^2 (\mathbf{a}\mathbf{S}) \mathbf{v}. \quad (8.40)$$

Все величины теперь полностью относятся к лабораторной системе, а ковариантная запись (8.40) имеет вид уравнения переноса Ферми:

$$\frac{d\mathbf{S}}{d\tau} = -(\mathbf{A} \cdot \mathbf{S}) \mathbf{V} = -(\mathbf{V} \otimes \mathbf{A}) \mathbf{S}, \quad (8.41)$$

где  $\mathbf{A} = d\mathbf{V}/d\tau$  – 4 ускорение и  $d\tau = \sqrt{1 - \mathbf{v}^2} dt$  – собственное время. Во втором равенстве  $(\mathbf{V} \otimes \mathbf{A})_{\alpha\beta}$  – матрица с элементами  $V_\alpha A_\beta$ .

Уравнение переноса можно получить из общековариантных соотношений (см. стр. 192) без использования томасовской прецессии (8.36). В этом случае, можно пойти в обратном направлении: записав уравнение переноса (8.41), найти такую неинерциальную систему отсчёта, в которой 3-вектор спина будет испытывать прецессию (поворачиваться, не меняя своей длины). Прежде всего заметим, что длина 4-вектора спина остаётся при движении постоянной:

$$\frac{dS^2}{d\tau} = 2\mathbf{S} \cdot \frac{d\mathbf{S}}{d\tau} = -2(\mathbf{A} \cdot \mathbf{S})(\mathbf{S} \cdot \mathbf{V}) = 0,$$

так как 4-спин ортогонален 4-скорости. Таким образом  $S_0^2 - \mathbf{S}^2 = \text{const}$ . Так как  $S^0 = \mathbf{v}\mathbf{S}$ , в любой сопутствующей системе отсчёта, в которой гироскоп неподвижен ( $\mathbf{v} = 0$  или  $S^0 = 0$ ), длина 3-вектора спина остаётся постоянной  $\mathbf{S}^2 = \text{const}$ . Однако это ещё не означает, что спин прецессирует. В частности, в сопутствующей *инерциальной* системе отсчёта в данный момент времени  $\mathbf{v} = 0$  и из (8.40) следует, что  $d\mathbf{S}/dt = 0$ . Так и должно быть, в силу определения параллельного переноса вектора спина относительно сопутствующей системы.

Чтобы прецессия возникла, сопутствующая спину система должна быть неинерциальной. При помощи лоренцевской матрицы  $\Lambda = \Lambda(\tau)$  (не обязательно буста) сделаем преобразование  $S' = \Lambda \cdot S$ . Тогда из (8.41) несложно получить:

$$\frac{dS'}{d\tau} = \left( \frac{d\Lambda}{d\tau} \cdot \Lambda^{-1} - \Lambda \cdot (\mathbf{V} \otimes \mathbf{A}) \cdot \Lambda^{-1} \right) \cdot S' = \Phi \cdot S', \quad (8.42)$$

где  $\Lambda^{-1}$  – обратная к  $\Lambda$  матрица, а через  $\Phi$  обозначено матричное выражение в круглых скобках. Пусть преобразование  $\Lambda$  соответствует системе в которой  $\mathbf{V} = \{1, \mathbf{0}\}$ ,  $S' = \{0, \mathbf{S}'\}$ . Тогда из (8.42) следует:  $S^i \Phi_{ij} S^j = 0$ , т.е. пространственные компоненты ( $i, j = 1, \dots, 3$ ) матрицы  $\Phi_{\alpha\beta}$  антисимметричны ( $\Phi_{ij} = -\Phi_{ji}$ ). Кроме этого,  $S'^0$  всё время будет равно нулю, если  $\Phi_{0i} = 0$ . Чтобы прецессия 3-вектора  $\mathbf{S}'$  возникла, необходимо, чтобы элементы матрицы  $\Phi_{ij}$  были отличны от нуля. Простейший выбор для матрицы  $\Lambda$  – это лоренцевский буст со скоростью  $\mathbf{v} = \mathbf{v}(t)$ :

$$\Lambda_0^0 = \gamma, \quad \Lambda_i^0 = \Lambda_0^i = -v_i \gamma, \quad \Lambda_j^i = \delta_j^i + \Gamma v_i v_j. \quad (8.43)$$

Подставляя эту матрицу в (8.42) мы получим (8.37) (это проще проделать в трёхмерных обозначениях, проведя вычисления предыдущей страницы в обратном порядке). Естественно, подобный выбор неинерциальной системы в которой есть прецессия спина *не единственен*. Любая вращающаяся система отсчёта относительно данной неинерциальной системы будет давать прецессию с некоторой угловой скоростью.

• В качестве второго примера выведем ещё раз уравнение прецессии стержня, связанного с неинерциальной системой  $S''$ . Подчеркнём, что, в отличие от спина, стержень является нелокальным объектом и связан не с одной точкой в пространстве, а с двумя (начало и конец стержня). Напомним (стр. 96), что для получения мгновенной формы движущегося тела в момент времени  $t$  в системе  $S$  необходимо записать преобразования Лоренца, таким образом, чтобы радиус-вектор  $\mathbf{r}$  зависел от  $t$  и  $\mathbf{r}'$ :

$$\mathbf{r} = \mathbf{v}t + \mathbf{r}' - \frac{\gamma}{\gamma + 1} \mathbf{v}(\mathbf{v}\mathbf{r}'). \quad (8.44)$$

Угол  $d\phi$  кватерниона вращения определяет поворот, выполняемый *после* лоренцевского буста со скоростью  $\mathbf{v} + d\mathbf{v}$ . Фактор Лоренца для такой скорости равен:  $\gamma_{\mathbf{v}+d\mathbf{v}} \approx \gamma + \gamma^3(\mathbf{v}d\mathbf{v})$ , ( $\ll H_{124}$ ), где  $\gamma = 1/\sqrt{1-v^2}$ . Соответственно, в первом порядке малости по  $d\mathbf{v}$ , справедливо следующее выражение:

$$\frac{\gamma_{\mathbf{v}+d\mathbf{v}}}{\gamma_{\mathbf{v}+d\mathbf{v}} + 1} \approx \frac{\gamma}{\gamma + 1} + \frac{\gamma^3 \mathbf{v}d\mathbf{v}}{(\gamma + 1)^2}.$$

Обозначим со штрихами координаты после преобразования с  $\mathbf{v} + d\mathbf{v}$  (переход от  $S$  к  $\tilde{S}'$ ). Сделав в (8.44) замену  $\mathbf{v} \mapsto \mathbf{v} + d\mathbf{v}$ , сохраняя первый порядок малости по  $d\mathbf{v}$ , получим положение фиксированных точек  $\mathbf{r}'$  системы  $\tilde{S}'$  в системе  $S$  в момент времени  $t = 0$  (по часам наблюдателя в  $S$ ):

$$\mathbf{r} = \mathbf{r}' - \frac{\gamma}{\gamma + 1} \{ \mathbf{v}(\mathbf{v}\mathbf{r}' + d\mathbf{v}\mathbf{r}') + d\mathbf{v}(\mathbf{v}\mathbf{r}') \} - \frac{\gamma^3}{(\gamma + 1)^2} \mathbf{v}(\mathbf{v}\mathbf{r}')(\mathbf{v}d\mathbf{v}). \quad (8.45)$$

Последующий поворот на угол  $d\phi$ , переводящий  $\tilde{S}'$  в  $S''$ , осуществляется преобразованием:  $\mathbf{r}'' = \mathbf{r}' - [\mathbf{n} \times \mathbf{r}'] d\phi$ . Обратное преобразование получается в результате замены  $d\phi \mapsto -d\phi$ :

$$\mathbf{r}' = \mathbf{r}'' + [\mathbf{n} \times \mathbf{r}''] d\phi,$$

или, используя выражение для угла (8.36), имеем:

$$\mathbf{r}' = \mathbf{r}'' + \frac{\gamma^2}{\gamma + 1} \{ \mathbf{v}(\mathbf{r}'' d\mathbf{v}) - (\mathbf{r}'' \mathbf{v}) d\mathbf{v} \}.$$

Подставляя  $\mathbf{r}'$  в (8.45), с сохранением первого порядка по  $d\mathbf{v}$ , получаем:

$$\mathbf{r} = \mathbf{r}'' - \frac{\gamma}{\gamma + 1} \mathbf{v}(\mathbf{v}\mathbf{r}'') - \gamma(\mathbf{v}\mathbf{r}'') d\mathbf{v}, \quad (8.46)$$

Это соотношение даёт значения координат фиксированных точек  $\mathbf{r}''$  системы  $S''$  в системе  $S$  в момент времени  $t = 0$ , после *изменения* системой  $S''$  скорости на  $d\mathbf{v}$ .

Поместим один конец стержня в начало системы  $S''$ . До изменения её скорости (система  $S'$ ) координаты второго конца были равны:

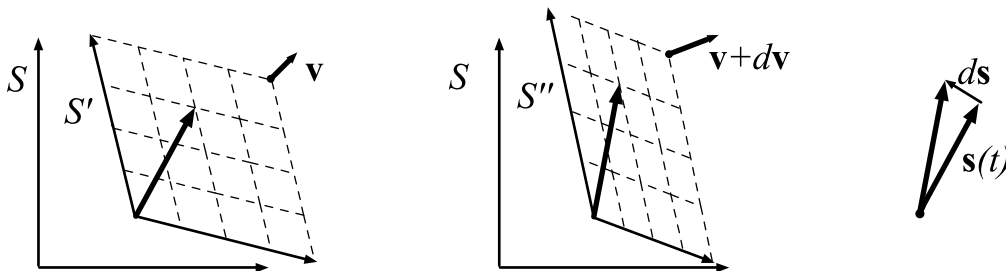
$$\mathbf{r} = \mathbf{r}' - \frac{\gamma}{\gamma + 1} \mathbf{v}(\mathbf{v} \mathbf{r}'). \quad (8.47)$$

Пусть координаты стержня  $\mathbf{r}'$  до изменения скорости и после изменения  $\mathbf{r}''$  остались неизменными (относительно  $S'$  он *начинает* двигаться без вращения). Для неподвижных наблюдателей в системе  $S$  поворот стержня описывается разностью уравнений (8.46) и (8.47). Учитывая  $\mathbf{v} \mathbf{r} = \mathbf{v} \mathbf{r}' / \gamma$ , следующее из (8.47), вводя вектор, соединяющий концы стержня  $\mathbf{s} = \mathbf{r}$  (начала всех систем при  $t = 0$  совпадают) и его изменение  $d\mathbf{s} = \mathbf{r}_{(8.47)} - \mathbf{r}_{(8.46)}$ , мы снова приходим к уравнению (2.35), стр. 121:

$$\frac{d\mathbf{s}}{dt} = -\gamma^2 (\mathbf{v} \mathbf{s}) \mathbf{a}, \quad (8.48)$$

где  $\mathbf{a} = d\mathbf{v}/dt$  – ускорение стержня. Таким образом, применение соотношения (8.36) для прецессии конкретного 3-вектора требует учёта ряда дополнительных факторов (в нашем случае фиксации формы стержня).

Наглядно вращение движущейся с переменной скоростью системы отсчёта изображено ниже на рисунках. Если система  $S'$  движется относительно  $S$  с произвольной скоростью  $\mathbf{v}$ , то линии координатной сетки будут определённым образом “сплюснуты” и повёрнуты (первая картинка). Если скорость системы изменяется, то координатная сетка получает новый поворот и деформацию (вторая картинка). Если некоторый *протяжённый* вектор (направленный отрезок) имеет фиксированные координаты в движущейся системе отсчёта, то при изменении скорости они изменятся относительно лабораторной системы.



Это изменение, вообще говоря, зависит от того, как получается система  $S''$ . Если с системой  $S$  она составляет чистый буст, то относительно лабораторной системы вигнеровского вращения нет и поворот будет возникать только в результате эффекта лоренцевского сокращения длины. В случае же, если  $S''$  получается чистым бустом из системы  $S'$ , то относительно  $S$  будет наблюдаться как вигнеровское вращение, так и деформация координатной сетки, обусловленная лоренцевским сокращением длины. Именно второй случай и был рассмотрен выше.

## 8.5 Кватернионы и 4-векторы

По определению, любой 4-вектор  $a^\mu = \{a^0, \mathbf{a}\}$  при преобразованиях Лоренца изменяется также как и 4-вектор положения в пространстве-времени  $x^\mu = \{t, \mathbf{r}\}$ . Поэтому с компонентами 4-вектора мы всегда можем связать кватернион

$$\mathbb{A} = a_0 + \mathbf{a}\boldsymbol{\sigma},$$

изменяющийся при общих преобразованиях Лоренца (включающих буст и поворот) следующим образом:

$$\mathbb{A}' = \mathbb{S} \mathbb{A} \mathbb{S}^+, \quad \mathbb{S}\bar{\mathbb{S}} = \mathbb{I}. \quad (8.49)$$

Например, если  $d\tau = dt\sqrt{1 - \mathbf{v}^2} = dt/\gamma$  – собственное время частицы, то её *кватернион скорости* равен:

$$\mathbb{U} = \frac{d\mathbb{X}}{d\tau} = \gamma + \gamma \mathbf{v}\boldsymbol{\sigma}.$$

Норма кватерниона скорости (квадрат 4-вектора) равна единице:

$$\mathbb{U}\bar{\mathbb{U}} = \mathbb{I}. \quad (8.50)$$

Дифференцируя это соотношение по  $d\tau$  и вводя *кватернион ускорения*  $\mathbb{A} = d\mathbb{U}/d\tau$ , получаем кватернионное соотношение ортогональности скорости и ускорения в виде:

$$\mathbb{U}\bar{\mathbb{A}} + \mathbb{A}\bar{\mathbb{U}} = 0.$$

*Кватернион импульса* (или энергии-импульса) пропорционален кватерниону скорости, с коэффициентом равным массе частицы:

$$\mathbb{P} = m\mathbb{U} = E + \mathbf{p}\boldsymbol{\sigma}.$$

Произведение кватерниона импульса на его сопряжение, в силу стандартной связи между энергией и импульсом или сразу в соответствии с (8.50), пропорциональна квадрату массы:

$$\mathbb{P}\bar{\mathbb{P}} = m^2 \mathbb{I}.$$

Подобно положению, скорости, ускорению и импульсу несложно определить и другие кватернионные аналоги 4-векторов. Инвариантной свёрткой двух кватернионов  $\mathbb{A}$  и  $\mathbb{B}$ , построенных по компонентам 4-векторов  $\mathbb{A} = \{A^0, \mathbf{A}\}$  и  $\mathbb{B} = \{B^0, \mathbf{B}\}$  будет следующая комбинация:

$$\mathbb{A}\bar{\mathbb{B}} + \mathbb{B}\bar{\mathbb{A}} = 2(\mathbf{A} \cdot \mathbf{B}) \mathbb{I},$$

где использовано тождество (8.13), стр. 509.

• Перейдём теперь к антисимметричным 4-тензорам. Определим *кватернион момента импульса*:

$$\mathbb{J} = \frac{1}{2} (\mathbb{X}\bar{\mathbb{P}} - \mathbb{P}\bar{\mathbb{X}}) = (\mathbf{G} - \imath\mathbf{L})\sigma. \quad (8.51)$$

Во втором равенстве при помощи (8.14), стр. 509 введены два 3-вектора  $\mathbf{G} = E\mathbf{r} - t\mathbf{p}$  и  $\mathbf{L} = \mathbf{r} \times \mathbf{p}$ . Через них выражаются (стр. 184) шесть независимых компонент антисимметричного тензора  $J^{\mu\nu} = (\mathbf{G}, \mathbf{L})$ , где  $\mathbf{G} = \{J^{10}, J^{20}, J^{30}\}$  и  $\mathbf{L} = \{J^{23}, J^{31}, J^{12}\}$ . Кватернион  $\mathbb{J}$  не имеет скалярной части, а векторная его часть комплексна. Это общее свойство кватернионов, являющихся аналогами антисимметричных 4-тензоров  $J^{\mu\nu}$ . После опускания у них индексов вниз, снова получается антисимметричный тензор  $J_{\mu\nu} = (-\mathbf{G}, \mathbf{L})$ . Наконец, из тензора  $J_{\mu\nu}$  можно построить *дуальный* к нему антисимметричный тензор (стр. 183):

$$*J^{\mu\nu} = \frac{1}{2} \varepsilon^{\mu\nu\alpha\beta} J_{\alpha\beta}.$$

В его компонентах два 3-вектора тензора  $J_{\mu\nu}$  меняются друг с другом местами:  $*J^{\mu\nu} = (\mathbf{L}, -\mathbf{G})$  и  $*J_{\mu\nu} = (-\mathbf{L}, -\mathbf{G})$ . Несложно видеть, что можно записать следующие правила соответствия между антисимметричными тензорами и кватернионами:

$$J^{\mu\nu} \leftrightarrow \mathbb{J}, \quad J_{\mu\nu} \leftrightarrow \bar{\mathbb{J}}^+, \quad *J^{\mu\nu} \leftrightarrow \imath\mathbb{J}, \quad *J_{\mu\nu} \leftrightarrow \imath\mathbb{J}^+. \quad (8.52)$$

Аналогичные правила для связи контравариантных и ковариантных компонент 4-векторов и кватернионов имеют вид:

$$A^\mu \leftrightarrow \mathbb{A}, \quad A_\mu \leftrightarrow \bar{\mathbb{A}}. \quad (8.53)$$

Свёртка антисимметричного тензора  $J^{\mu\nu} = (\mathbf{G}, \mathbf{L})$  и произвольного 4-вектора  $A^\mu = \{A^0, \mathbf{A}\}$  даёт 4-вектор с компонентами:

$$J^{\mu\nu} A_\nu = \{ \mathbf{G}\mathbf{A}, A^0\mathbf{G} + \mathbf{L} \times \mathbf{A} \}.$$

Прямым перемножением кватернионов, можно проверить, что такие же компоненты имеет кватернион:

$$J^{\mu\nu} A_\nu \leftrightarrow \frac{1}{2} (\mathbb{J}\mathbb{A} + \mathbb{A}\mathbb{J}^+). \quad (8.54)$$

Отсюда следует, что, например, 4-вектор спина (стр. 188) в кватернионных обозначениях имеет вид:

$$S^\mu = \frac{1}{2} \varepsilon^{\mu\nu\alpha\beta} J_{\alpha\beta} U_\nu = *J^{\mu\nu} U_\nu \leftrightarrow \frac{\imath}{2} (\mathbb{J}\mathbb{U} - \mathbb{U}\mathbb{J}^+).$$

Таким образом, любые соотношения с 4-векторами и антисимметричными 4-тензорами могут быть выражены на языке кватернионов.

• Найдём как преобразуется кватернион момента импульса (и, следовательно, любой антисимметричный 4-тензор) при преобразованиях Лоренца. Так как  $\mathbb{X}$  и  $\mathbb{P}$  кватернионы, связанные с 4-векторами, имеем:

$$\mathbb{X}'\bar{\mathbb{P}}' = \mathbb{S}\mathbb{X}\mathbb{S}^+ \overline{\mathbb{S}\mathbb{P}\mathbb{S}^+} = \mathbb{S}\mathbb{X}\mathbb{S}^+ \bar{\mathbb{S}}^+ \bar{\mathbb{P}}\bar{\mathbb{S}} = \mathbb{S}(\mathbb{X}\bar{\mathbb{P}})\bar{\mathbb{S}},$$

где учтено, что  $\mathbb{S}\bar{\mathbb{S}} = \mathbb{I}$  или  $\mathbb{S}^+ \bar{\mathbb{S}}^+ = \mathbb{I}$ . Аналогично для  $\mathbb{P}\bar{\mathbb{X}}$ . Поэтому:

$$\mathbb{J}' = \mathbb{S}\mathbb{J}\bar{\mathbb{S}}. \quad (8.55)$$

Этот закон отличается от закона преобразования (8.49) тем, что справа стоит не эрмитово, а обычно сопряженный кватернион  $\mathbb{S}$  (с чертой). То, что  $\mathbb{J}$  имеет закон преобразования, отличный от закона преобразования, например, координат  $\mathbb{X}$  – неудивительно, т.к. кватернион  $\mathbb{J}$  соответствует антисимметричному 4-тензору, а не 4-вектору. При пространственных поворотах  $\mathbb{S} = \mathbb{R}$ , векторная часть кватерниона  $\mathbb{R}$  чисто комплексная, поэтому  $\mathbb{R}^+ = \bar{\mathbb{R}}$ . Следовательно, в этом случае  $\mathbb{J}$ , зависящий от комплексного вектора  $\mathbf{G} - i\mathbf{L}$ , преобразуется как и любой 3-вектор. Если же  $\mathbb{S}^+ \neq \bar{\mathbb{S}}$  (например, для лоренцевских бустов), применение соотношений (8.49) и (8.55) будет давать различные результаты.

Тем не менее, несложно проверить, что оба преобразования (8.49) и (8.55) оставляют инвариантной норму кватерниона (стр. 513). Обозначим  $\mathbf{J} = \mathbf{G} - i\mathbf{L}$ , тогда

$$\mathbb{J}\bar{\mathbb{J}} = -(\mathbf{J}\sigma)(\mathbf{J}\sigma) = -\mathbf{J}^2 = \mathbf{L}^2 - \mathbf{G}^2 + 2i\mathbf{L}\mathbf{G} = inv,$$

а, следовательно, инвариантными будут независимо действительная и мнимая части:

$$\mathbf{L}^2 - \mathbf{G}^2 = inv, \quad \mathbf{L}\mathbf{G} = inv.$$

Эти инварианты были получены ранее другими методами (стр. 181). Любопытно, что они эквивалентны одному соотношению  $\mathbf{J}^2 = inv$ , но для комплексного вектора.

Убедимся, что соотношение (8.54) в котором происходит перемножение антисимметричного тензора и 4-вектора снова приводит к кватерниону, преобразующемуся как 4-вектор. Подставим законы преобразования каждой величины:

$$\mathbb{J}\mathbb{A} + \mathbb{A}\mathbb{J}^+ \mapsto (\mathbb{S}\mathbb{J}\bar{\mathbb{S}})(\mathbb{S}\mathbb{A}\mathbb{S}^+) + (\mathbb{S}\mathbb{A}\mathbb{S}^+)(\mathbb{S}\mathbb{J}\bar{\mathbb{S}})^+ = \mathbb{S}(\mathbb{J}\mathbb{A} + \mathbb{A}\mathbb{J}^+)\mathbb{S}^+,$$

где мы воспользовались единичностью нормы кватерниона преобразования  $\mathbb{S}$ . Таким образом, получилось исходная комбинация кватернионов окруженная кватернионами  $\mathbb{S} \dots \mathbb{S}^+$ , что соответствует преобразованию 4-вектора. Заметим, что  $\mathbb{J}\mathbb{A}$  также 4-вектор, но комплексный, тогда как приведенная комбинация действительна.



• Соотношение (8.55), применённое к  $\mathbb{J} = \mathbf{J}\sigma$ , где  $\mathbf{J} = \mathbf{G} - \imath\mathbf{L}$  позволяет найти преобразования векторов  $\mathbf{G}$  и  $\mathbf{L}$  при изменении инерциальной системы отсчёта. Распишем его в явном виде:

$$\mathbf{J}'\sigma = (c - s\mathbf{m}\sigma)\mathbf{J}\sigma(c + s\mathbf{m}\sigma),$$

где  $c = \text{ch}(\alpha/2)$ ,  $s = \text{sh}(\alpha/2)$  и подставлен кватернион  $\mathbb{S} = \mathbb{L}$  лоренцевского буста, см. (8.26), стр. 516. Перемножая матрицы, получаем:

$$\mathbf{J}'\sigma = c^2\mathbf{J}\sigma - s^2(\mathbf{m}\sigma)(\mathbf{J}\sigma)(\mathbf{m}\sigma) + sc[\mathbf{J}\sigma, \mathbf{m}\sigma].$$

Вычисляя коммутатор  $[\mathbf{J}\sigma, \mathbf{m}\sigma]$  при помощи соотношения (8.10), стр. 509, а произведение трех матриц Паули при помощи последовательного применения тождества (8.7), имеем:

$$\mathbf{J}'\sigma = (c^2 + s^2)\mathbf{J}\sigma + 2isc[\mathbf{J} \times \mathbf{m}]\sigma - 2s^2(\mathbf{J}\mathbf{m})(\mathbf{m}\sigma).$$

Переходя от гиперболических функций с половинными “углами”  $\alpha/2$  к функциям, зависящим от  $\alpha$ , получаем закон преобразования комплексного вектора  $\mathbf{J}$ :

$$\mathbf{J}' = \mathbf{J} \text{ch } \alpha - \imath \text{sh } \alpha[\mathbf{m} \times \mathbf{J}] - (\text{ch } \alpha - 1)(\mathbf{m}\mathbf{J})\mathbf{m}.$$

Как и в случае с преобразованиями Лоренца для 4-вектора, более привычная запись преобразования получается после перехода от быстроты  $\alpha$  к скорости  $\mathbf{v}$ ,  $\gamma$ -фактору и фактору  $\Gamma = (\gamma - 1)/v^2$ , см. стр. 517:

$$\mathbf{J}' = \gamma(\mathbf{J} - \imath\mathbf{v} \times \mathbf{J}) - \Gamma\mathbf{v}(\mathbf{v}\mathbf{J}). \quad (8.56)$$

Действительная часть этого соотношения даёт закон преобразования вектора  $\mathbf{G}$ , а комплексная – вектора  $\mathbf{L}$  (см. стр. 185):

$$\begin{aligned} \mathbf{G}' &= \gamma(\mathbf{G} - \mathbf{v} \times \mathbf{L}) - \Gamma\mathbf{v}(\mathbf{v}\mathbf{G}), \\ \mathbf{L}' &= \gamma(\mathbf{L} + \mathbf{v} \times \mathbf{G}) - \Gamma\mathbf{v}(\mathbf{v}\mathbf{L}). \end{aligned}$$

Как мы видим, преобразование (8.56) для комплексного 3-вектора  $\mathbf{J}$ , следующее из кватернионной техники, выглядит более компактным по сравнению с преобразованиями для двух векторных компонент антисимметричного тензора  $J_{\alpha\beta} = x_\alpha p_\beta - x_\beta p_\alpha$ .

Вообще, теория относительности, построенная на языке кватернионов, в ряде случаев оказывается более лаконичной, чем при использовании обычных векторных обозначений или тензорного ковариантного аппарата. Платой за это являются матрицы, которые обеспечивают некоммутативную природу кватернионов.

## 8.6 Кватернионная электродинамика

Уравнения электродинамики в оригинальных работах Джеймса Клерка Максвелла имели достаточно громоздкий внешний вид, так как записывались в не векторных обозначениях. Вместо значков дивергенции и ротора использовались частные производные и каждое уравнение выписывалось покомпонентно. Благодаря Оливеру Хевисайду эти уравнения приобрели существенно более компактный и привычный нам вид, сократившись с восьми уравнений до четырех. После появления теории относительности Герман Минковский придумал как записать уравнения электродинамики в ещё более компактной форме, уменьшив их количество с четырех до двух. Кватернионы дают нам замечательную возможность свести все уравнения Максвелла только к *одному* матричному уравнению. Вот это уравнение:

$$\bar{\mathbb{D}}\mathbb{F} = 4\pi\bar{\mathbb{J}}. \quad (8.57)$$

Разберемся с входящими в него величинами. Компоненты *кватерниона тока*  $\mathbb{J}$  являются плотностями заряда  $\rho$  и тока  $\mathbf{j}$ :

$$\mathbb{J} = \rho + \mathbf{j}\boldsymbol{\sigma}, \quad \bar{\mathbb{J}} = \rho - \mathbf{j}\boldsymbol{\sigma}, \quad (8.58)$$

где черта над кватернионом – это его сопряжение (смена знака в векторной части). Аналогично определяется *кватернион производной*:

$$\mathbb{D} = \partial_0 - \boldsymbol{\sigma}\nabla, \quad \bar{\mathbb{D}} = \partial_0 + \boldsymbol{\sigma}\nabla. \quad (8.59)$$

Обратим внимание на различие знаков в векторной части для  $\mathbb{J}$  и  $\mathbb{D}$ . Напомним, что 4-вектор производной с верхним индексом имеет компоненты  $\partial^\nu = \partial/\partial x_\nu = \{\partial_0, -\nabla\}$ . Так как с любым 4-вектором  $A^\nu = \{A^0, \mathbf{A}\}$  мы связываем кватернион  $\mathbb{A} = A^0 + \mathbf{A}\boldsymbol{\sigma}$ , а пространственные компоненты 4-вектора  $\partial^\nu$  содержат знак минус, он появляется и в векторной части кватерниона  $\mathbb{D}$ . Норма кватерниона производной равна оператору Д'Аламбера:

$$\mathbb{D}\bar{\mathbb{D}} = \mathbb{I}\partial^2 = \mathbb{I}(\partial_0^2 - \Delta).$$

Наконец, третья величина, входящая в уравнение (8.57) является кватернионом напряженности электромагнитного поля:

$$\mathbb{F} = \mathbf{f}\boldsymbol{\sigma}. \quad (8.60)$$

Он не имеет скалярной части, а его векторная часть комплексна:

$$\mathbf{f} = \mathbf{E} + \imath\mathbf{B}, \quad (8.61)$$

где  $\mathbf{E}$  – электрическое и  $\mathbf{B}$  – магнитное поля. Это кватернион соответствует антисимметричному тензору  $F^{\mu\nu}$ .

Убедимся, что (8.57), действительно содержит в себе все уравнения Максвелла. Подставим в него кватернионы (8.58), (8.59) и (8.60):

$$(\partial_0 + \boldsymbol{\sigma} \nabla) \mathbf{f} \boldsymbol{\sigma} = 4\pi (\rho - \mathbf{j} \boldsymbol{\sigma}).$$

Перемножая при помощи (8.7), стр. 508 матрицы Паули, получаем:

$$\partial_0 \mathbf{f} \boldsymbol{\sigma} + \nabla \mathbf{f} + i[\nabla \times \mathbf{f}] \boldsymbol{\sigma} = 4\pi \rho - 4\pi \mathbf{j} \boldsymbol{\sigma}. \quad (8.62)$$

В предыдущих разделах мы приравнивали по отдельности скалярные и векторные части в кватернионных выражениях. Докажем, что это, вообще говоря, можно делать. След матриц Паули равен нулю. Кроме этого, из тождества (8.6), стр. 508 следует, что

$$\text{Tr}(\sigma_i \sigma_j) = 2\delta_{ij}.$$

Любое матричное уравнение  $A_0 + \mathbf{A} \boldsymbol{\sigma} = 0$  эквивалентно  $A_0 = 0$  и  $\mathbf{A} = 0$ . Действительно, беря след уравнения и учитывая, что  $\text{Tr} \boldsymbol{\sigma} = 0$ , получаем  $A_0 = 0$ . Умножая уравнение на  $\sigma_i$  и беря след, получаем  $A^i$ .

Поэтому, скалярная часть приравнивая в (8.62) приводит к уравнению:

$$\nabla(\mathbf{E} + i\mathbf{B}) = 4\pi \rho.$$

Его действительная часть даёт закон Гаусса для электрического поля, а комплексная – закон Гаусса для магнитного поля:

$$\nabla \mathbf{E} = 4\pi \rho, \quad \nabla \mathbf{B} = 0.$$

Остальные члены уравнения (8.62) дают:

$$\partial_0(\mathbf{E} + i\mathbf{B}) + \nabla \times (i\mathbf{E} - \mathbf{B}) = -4\pi \mathbf{j}.$$

Снова разбивая его на действительную и мнимую части, получаем оставшиеся два уравнения Максвелла:

$$\nabla \times \mathbf{B} = 4\pi \mathbf{j} + \partial_0 \mathbf{E}, \quad \partial_0 \mathbf{B} = -\nabla \times \mathbf{E}.$$

Из матричного уравнения поля (8.57) следует следующее соотношение:

$$4\pi \text{Tr}(\mathbb{D}\bar{\mathbb{J}}) = \text{Tr}(\mathbb{D}\bar{\mathbb{D}}\mathbb{F}) = \partial^2 \text{Tr}(\mathbb{I}\mathbb{F}) = \partial^2 \mathbf{f} \text{Tr} \boldsymbol{\sigma} = 0,$$

где учтено, что след матриц Паули равен нулю. Поэтому уравнение непрерывности для тока в кватернионных обозначениях имеет вид:

$$\frac{1}{2} \text{Tr}(\mathbb{D}\bar{\mathbb{J}}) = \frac{\partial \rho}{\partial t} + \nabla \mathbf{j} = 0. \quad (8.63)$$

Второе равенство получается в результате перемножения (8.58) и (8.59), с последующим взятием следа (след единичной матрицы 2x2 равен 2).

• Скалярный  $\varphi$  и векторный  $\mathbf{A}$  потенциалы определяют компоненты кватерниона потенциала:

$$\mathbb{A} = \varphi + \mathbf{A}\boldsymbol{\sigma}.$$

Кватернион напряженности можно связать с кватернионом потенциала следующим образом:

$$\mathbb{F} = \frac{1}{2}(\mathbb{D}\bar{\mathbb{A}} - \overline{\mathbb{D}\mathbb{A}}) = \frac{1}{2}(\mathbb{D}\bar{\mathbb{A}} - \mathbb{A}\overleftarrow{\mathbb{D}}), \quad (8.64)$$

где стрелка над производной означает, что оператор действует справа налево (а не как обычно слева направо). Убедимся, что это определение приводит к выражению  $\mathbb{F} = (\mathbf{E} + i\mathbf{B})\boldsymbol{\sigma}$ . Для этого вычислим матричные произведения:

$$\begin{aligned} \mathbb{D}\bar{\mathbb{A}} &= (\partial_0 - \boldsymbol{\sigma}\nabla)(\varphi - \mathbf{A}\boldsymbol{\sigma}) = \partial \cdot \mathbf{A} + (\mathbf{E} + i\mathbf{B})\boldsymbol{\sigma}, \\ \mathbb{A}\overleftarrow{\mathbb{D}} &= (\varphi + \mathbf{A}\boldsymbol{\sigma})(\overleftarrow{\partial}_0 + \boldsymbol{\sigma}\overleftarrow{\nabla}) = \partial \cdot \mathbf{A} - (\mathbf{E} + i\mathbf{B})\boldsymbol{\sigma}. \end{aligned} \quad (8.65)$$

где  $\partial \cdot \mathbf{A} = \partial_0\varphi + \nabla\mathbf{A}$  и учтено, что  $\mathbf{E} = -\nabla\varphi - \partial_0\mathbf{A}$  и  $\mathbf{B} = \nabla \times \mathbf{A}$ . Вычитая эти соотношения и деля на 2, получаем  $\mathbb{F}$ .

Кватернион потенциала, как и 4-потенциал можно изменить, не меняя кватерниона напряженности  $\mathbb{F}$ . Выполним *калибровочное преобразование*

$$\mathbb{A} \mapsto \mathbb{A}' = \mathbb{A} + \mathbb{D}\Lambda,$$

где  $\Lambda$  произвольная скалярная функция координат. Это преобразование не изменяет тензора электромагнитного поля. Действительно:

$$\mathbb{F}' = \mathbb{F} + \frac{1}{2}(\mathbb{D}\overleftarrow{\mathbb{D}} - \mathbb{D}\overleftarrow{\mathbb{D}})\Lambda = \mathbb{F}. \quad (8.66)$$

В калибровке Лоренца  $\partial \cdot \mathbf{A} = 0$  (стр. 321) из (8.65) следует, что:

$$\mathbb{D}\bar{\mathbb{A}} = -\mathbb{A}\overleftarrow{\mathbb{D}},$$

поэтому связь потенциалов и напряженностей упрощается:

$$\mathbb{F} = \mathbb{D}\bar{\mathbb{A}}.$$

В этом случае, в силу уравнений Максвелла (8.57), кватернионный потенциал удовлетворяет уравнению:

$$\partial^2\bar{\mathbb{A}} = 4\pi\bar{\mathbb{J}}$$

или аналогичному без черточек сопряжения.

• Определение кватерниона напряженностей  $\mathbb{F}$  через кватернион потенциалов  $\mathbb{A}$  приводит к выполнению следующего уравнения:

$$\mathbb{D}\mathbb{F}^+ - \overleftarrow{\mathbb{F}}\overleftarrow{\mathbb{D}} = 0. \quad (8.67)$$

Действительно, кватернионы  $\mathbb{D}$  и  $\mathbb{A}$  имеют действительные коэффициенты, поэтому они эрмитовы ( $\mathbb{D}^+ = \mathbb{D}$  и  $\mathbb{A}^+ = \mathbb{A}$ ). Следовательно при *любом* кватернионе  $\mathbb{A}$ :

$$\mathbb{D}\mathbb{F}^+ - \overleftarrow{\mathbb{F}}\overleftarrow{\mathbb{D}} = \frac{1}{2}\mathbb{D}(\overleftarrow{\mathbb{A}}\overleftarrow{\mathbb{D}} - \overleftarrow{\mathbb{D}}\mathbb{A}) - \frac{1}{2}(\mathbb{D}\overleftarrow{\mathbb{A}} - \overleftarrow{\mathbb{A}}\overleftarrow{\mathbb{D}})\overleftarrow{\mathbb{D}} = 0,$$

так как  $\mathbb{D}\overleftarrow{\mathbb{D}} = \mathbb{I}\partial^2$  и единичная матрица  $\mathbb{I}$  перестановочна с  $\mathbb{A}$ .

Подставляя в (8.67) кватернионы  $\mathbb{F} = \mathbf{f}\boldsymbol{\sigma}$ ,  $\mathbb{D} = \partial_0 - \boldsymbol{\sigma}\nabla$  и учитывая тождество (8.7), стр. 508, получаем:

$$\nabla(\mathbf{f} - \mathbf{f}^*) = \partial_0(\mathbf{f} - \mathbf{f}^*)\boldsymbol{\sigma} + \imath\nabla \times (\mathbf{f} + \mathbf{f}^*)\boldsymbol{\sigma}.$$

Скалярная часть этого уравнения даёт закон Гаусса для магнитного поля  $\nabla(\mathbf{f} - \mathbf{f}^*) = 2\imath\nabla\mathbf{B} = 0$ , а векторная – закон электромагнитной индукции Фарадея:  $\partial_0\mathbf{B} + \nabla \times \mathbf{E} = 0$ . Таким образом, (8.67) эквивалентно ковариантному уравнению Максвелла без токов.

Запишем еще одно уравнение для кватерниона напряженностей:

$$\frac{1}{2}(\mathbb{D}\mathbb{F}^+ + \overleftarrow{\mathbb{F}}\overleftarrow{\mathbb{D}}) = -4\pi\mathbb{J}. \quad (8.68)$$

Если мы учтем, что в соответствии с (8.67)  $\mathbb{D}\mathbb{F}^+ = \overleftarrow{\mathbb{F}}\overleftarrow{\mathbb{D}}$ , то из (8.68) следует:

$$\overleftarrow{\mathbb{F}}\overleftarrow{\mathbb{D}} = -4\pi\mathbb{J}. \quad (8.69)$$

Сопряжение этого уравнение даёт (8.57), так как  $\overleftarrow{\overleftarrow{\mathbb{F}}} = -\mathbb{F}$ .

Тем не менее (8.68) является менее общим, чем (8.57), так как оно приводит только к уравнениям Максвелла с источниками (плотностями зарядов и токов). Действительно, подставляя в (8.68) определения кватернионов, получаем:

$$\frac{1}{2}(\partial_0(\mathbf{f} + \mathbf{f}^*)\boldsymbol{\sigma} - \nabla(\mathbf{f} + \mathbf{f}^*) + \imath[\nabla \times (\mathbf{f} - \mathbf{f}^*)]\boldsymbol{\sigma}) = -4\pi(\rho + \mathbf{j}\boldsymbol{\sigma}).$$

Скалярные члены (без матриц Паули) уравнения дают закон Гаусса для электрического поля:  $\nabla\mathbf{E} = 4\pi\rho$ , а векторные (с матрицами Паули) – закон Ампера-Максвелла:  $\nabla \times \mathbf{B} = 4\pi\mathbf{j} + \partial_0\mathbf{E}$ .

Таким образом, полная система кватернионных уравнений электродинамики состоит или из двух уравнений (8.67) и (8.68), или одного, эквивалентного им уравнения (8.57).

## 8.7 Движение в электромагнитном поле

• Перейдем теперь к уравнениям движения. В тензорных обозначениях сила Лоренца, действующая на заряд  $q$  с массой  $m$ , приводит к изменению импульса (или скорости) частицы (стр. 425):

$$m \frac{du^\alpha}{ds} = q F^{\alpha\beta} u_\beta, \quad (8.70)$$

где компоненты 4-вектора скорости  $u^\alpha = \{u^0, \mathbf{u}\}$  связаны с 3-скоростью при помощи стандартных соотношений  $u_0 = \gamma = 1/\sqrt{1 - \mathbf{v}^2}$  и  $\mathbf{u} = \gamma \mathbf{v}$ . Обратим внимание, что в этом разделе вектор  $\mathbf{u}$  обозначает пространственные компоненты 4-вектора, тогда как обычная скорость  $d\mathbf{r}/dt$  обозначается вектором  $\mathbf{v}$ . Тензор напряженности электромагнитного поля  $F^{\alpha\beta}$  считается заданным, а заряд “пробным”, в том смысле, что его собственное поле не искажает  $F^{\alpha\beta}$  (т.е. мы не учитываем эффекты самодействия, стр. 482).

При помощи кватерниона точки в пространстве-времени  $\mathbb{X} = t + \mathbf{r}\boldsymbol{\sigma}$  в предыдущем разделе мы определили *кватернион скорости* с единичной нормой:

$$\mathbb{U} = \frac{d\mathbb{X}}{ds} = u_0 + \mathbf{u}\boldsymbol{\sigma}.$$

Интервал  $ds$  (он же собственное время заряда) является инвариантом преобразований Лоренца, поэтому производная по нему не нарушает ковариантности кватернионных уравнений. Кватернион скорости эрмитов ( $\mathbb{U}^+ = \mathbb{U}$ ), так как действительны его компоненты. Поэтому, сила Лоренца, пропорциональная произведению скорости и напряженности, также должна быть также эрмитова. В тоже время кватернион  $\mathbb{F}$  не является эрмитовым ( $\mathbb{F}^+ = \mathbf{f}^* \boldsymbol{\sigma}$ ). Чтобы правая часть была эрмитовой к произведению  $\mathbb{F}\mathbb{U}$  необходимо добавить его эрмитово сопряжение. В результате кватернионные уравнения движения имеют вид:

$$m \frac{d\mathbb{U}}{ds} = \frac{q}{2} (\mathbb{F}\mathbb{U} + \mathbb{U}\mathbb{F}^+). \quad (8.71)$$

Множитель  $1/2$  проверяется повторением стандартных выкладок с матрицами Паули. Скалярная часть (8.71) приводит к уравнению для изменения энергии, а векторная к трёхмерной силе Лоренца (напомним, что кватернион импульса равен  $\mathbb{P} = m\mathbb{U} = E + \mathbf{p}\boldsymbol{\sigma}$ ). Заметим, что кватернионное уравнение движения можно сразу получить из (8.70) при помощи правила соответствия (8.54), стр. 527.

• Если есть только магнитное поле  $\mathbf{f} = i\mathbf{B}$ , то кватернион напряженности является *антиэрмитовым* ( $\mathbb{F}^+ = -\mathbb{F}$ ). В этом случае в правой части уравнения (8.71) находится коммутатор напряженности и скорости  $[\mathbb{F}, \mathbb{U}] = \mathbb{F}\mathbb{U} - \mathbb{U}\mathbb{F}$ . Под знаком выделения скалярной части кватерниона сомножители можно переставлять местами (стр. 509):  $[\mathbb{F}\mathbb{U}] = [\mathbb{U}\mathbb{F}]$ . Поэтому скалярная часть коммутатора равна нулю и скалярная часть скорости сохраняется  $[\mathbb{U}] = \text{const}$ . Это приводит к сохранению энергии  $E = [\mathbb{P}] = m[\mathbb{U}]$  заряда при движении в *произвольном* магнитном поле.

Найдём общее решение уравнения (8.71). Для этого представим кватернион скорости в следующем виде:

$$\mathbb{U}(s) = e^{\mathbb{G}(s)} \mathbb{U}(0) e^{\mathbb{G}^+(s)},$$

где  $\mathbb{G}(s)$  некоторый кватернион, равный нулевому при  $s = 0$  (начальные условия содержатся в  $\mathbb{U}(0)$ , а эрмитово сопряжение во второй экспоненте поставлено для сохранения эрмитовости скорости). Подставим это выражение в уравнения движения:

$$m \frac{d\mathbb{U}}{ds} = m \frac{d\mathbb{G}}{ds} \mathbb{U} + m \mathbb{U} \frac{d\mathbb{G}^+}{ds} = \frac{q}{2} (\mathbb{F}\mathbb{U} + \mathbb{U}\mathbb{F}^+).$$

Несложно видеть, что это уравнение выполняется, если кватернион  $\mathbb{G}$  удовлетворяет уравнению:

$$\frac{d\mathbb{G}}{ds} = \frac{q}{2m} \mathbb{F}.$$

Интегрируя его, приходим к следующему представлению решения уравнений движения (8.71):

$$\mathbb{U}(s) = \exp \left( \frac{q}{2m} \int_0^s \mathbb{F}(s) ds \right) \mathbb{U}(0) \exp \left( \frac{q}{2m} \int_0^s \mathbb{F}^+(s) ds \right). \quad (8.72)$$

В случае, когда внешние электрическое и магнитное поля *постоянны*  $\mathbf{f} = \mathbf{E} + i\mathbf{B} = \text{const}$ , кватернион напряженности  $\mathbb{F}$  можно вынести за интеграл и решение имеет принимает вид:

$$\mathbb{U}(s) = \exp \left( \frac{q}{2m} \mathbb{F}s \right) \mathbb{U}(0) \exp \left( \frac{q}{2m} \mathbb{F}^+s \right). \quad (8.73)$$

Обратим внимание, что в показателе экспонент стоят матрицы, поэтому полученные решения несколько формальны. Однако, в ряде случаев их можно записать в полярной или гиперполярной форме (стр. 511), опустив матрицы вниз. Рассмотрим несколько примеров.

• Пусть заряд движется в постоянном электрическом поле  $\mathbf{f} = \mathbf{E}$ . В этом случае кватернион напряженности эрмитов ( $\mathbb{F}^+ = \mathbb{F}$ ). Простое решение получается, если в начальный момент времени заряд неподвижен и, следовательно, кватернион скорости при  $s = 0$  является единичным  $\mathbb{U}(0) = \mathbb{I}$  (единичная матрица). Тогда уравнение (8.73) упрощается:

$$\mathbb{U}(s) = \exp\left(\frac{q}{m} \mathbb{F} s\right) = \exp\left(\frac{q}{m} \mathbf{E} \boldsymbol{\sigma} s\right). \quad (8.74)$$

Используя гиперполярное представление кватерниона (8.15), стр. 511, имеем:

$$\mathbb{U}(s) = \text{ch}(\omega s) + \mathbf{e} \boldsymbol{\sigma} \text{sh}(\omega s), \quad (8.75)$$

где  $\omega = q|\mathbf{E}|/m$  и  $\mathbf{e} = \mathbf{E}/|\mathbf{E}|$  – единичный вектор в направлении электрического поля. Выделяя в (8.75) слагаемые без матриц Паули и с ними, получаем:

$$u_0(s) = \text{ch}(\omega s), \quad \mathbf{u}(s) = \mathbf{e} \text{sh}(\omega s). \quad (8.76)$$

Несложно видеть, что для этого решения выполняется общее соотношение для компонент 4-скорости  $u_0^2 - \mathbf{u}^2 = 1$ .

Так как  $u^\mu = \{u_0, \mathbf{u}\} = dx^\mu/ds$ , интегрируя по  $s$  (8.76), получаем выражения для лабораторного времени и координат заряда:

$$t = \frac{1}{\omega} \text{sh}(\omega s), \quad \mathbf{r}(s) = \mathbf{r}(0) + \frac{\mathbf{e}}{\omega} (\text{ch}(\omega s) - 1). \quad (8.77)$$

В первом случае константа интегрирования выбрана равной нулю, так как при  $s = 0$  имеем  $t = 0$ . В выражении для радиус вектора константа подобрана, таким образом чтобы при  $s = 0$  вектор  $\mathbf{r}(s)$  был равен начальному положению заряда  $\mathbf{r}(0)$ . При помощи тождества  $\text{ch}^2 \alpha - \text{sh}^2 \alpha = 1$  для гиперболических функций можно выразить гиперболический косинус через синус и тем самым перейти от параметрического представления решения (8.77) к явной зависимости координат частицы от лабораторного времени:

$$\mathbf{r}(t) = \mathbf{r}(0) + \frac{\mathbf{e}}{\omega} (\sqrt{1 + (\omega t)^2} - 1).$$

Это решение было получено различными способами ранее (стр. 164, 489).

Если начальная скорость заряда отлична от нуля, кватернион  $\mathbb{U}(0)$  не является единичным. Чтобы найти соответствующее решение  $\mathbb{U}(s)$  необходимо перемножить кватернионы:

$$\left\{ \text{ch}\left(\frac{\omega s}{2}\right) + \mathbf{e} \boldsymbol{\sigma} \text{sh}\left(\frac{\omega s}{2}\right) \right\} \{u_0(0) + \mathbf{u}(0) \boldsymbol{\sigma}\} \left\{ \text{ch}\left(\frac{\omega s}{2}\right) + \mathbf{e} \boldsymbol{\sigma} \text{sh}\left(\frac{\omega s}{2}\right) \right\},$$

что, как обычно, проделывается при помощи тождества (8.7), стр. 508.



• Аналогично рассматривается движение в постоянном магнитном поле  $\mathbf{f} = i\mathbf{B}$ . В этом случае кватернион напряженности является антиэрмитовым ( $\mathbb{F}^+ = -\mathbb{F}$ ). При помощи полярного представления кватерниона (8.16), стр. 511, решение (8.73) можно записать в следующем виде:

$$\mathbb{U}(s) = \{\cos(\omega s/2) + i\mathbf{b}\boldsymbol{\sigma} \sin(\omega s/2)\} \mathbb{U}(0) \{\cos(\omega s/2) - i\mathbf{b}\boldsymbol{\sigma} \sin(\omega s/2)\},$$

где  $\omega = q|\mathbf{B}|/m$  и  $\mathbf{b} = \mathbf{B}/|\mathbf{B}|$ . Подставляя кватернион начальной скорости  $\mathbb{U}(0) = u_0 + \mathbf{u}_0\boldsymbol{\sigma}$  в решение и перемножая матрицы Паули при помощи тождества (8.7), стр. 508, получаем:

$$\mathbb{U}(s) = u_0 + (\mathbf{u}_0\mathbf{b})(\mathbf{b}\boldsymbol{\sigma}) + [\mathbf{b} \times [\mathbf{u}_0 \times \mathbf{b}]] \boldsymbol{\sigma} \cos(\omega s) + [\mathbf{u}_0 \times \mathbf{b}]\boldsymbol{\sigma} \sin(\omega s).$$

Единственный член  $u_0$ , без матриц Паули, является константной. Это означает, что нулевая компонента 4-скорости (или энергия движения заряда) не зависит от времени. Члены, пропорциональные матрицам Паули, дают решение (3.21), стр. 167:

$$\mathbf{u}(s) = (\mathbf{u}_0\mathbf{b})\mathbf{b} + [\mathbf{b} \times [\mathbf{u}_0 \times \mathbf{b}]] \cos(\omega s) + [\mathbf{u}_0 \times \mathbf{b}] \sin(\omega s). \quad (8.78)$$

Обратим внимание, что на стр. 167 вектор  $\mathbf{u}$  — это “обычная” скорость, а не компоненты 4-вектора скорости, как в этом разделе. Однако, так как энергия частицы в магнитном поле (или  $u_0$ ) постоянна, различие сводится в умножении решения на константу. По этой же причине при движении в магнитном поле интервал связан с 3-скоростью и лабораторным временем простым соотношением:

$$s = \int_0^t \sqrt{1 - \mathbf{v}^2(t)} dt = t \sqrt{1 - \mathbf{v}_0^2} = t/u_0,$$

где учтено, что квадрат скорости заряда при его движении остается постоянным  $\mathbf{v}(t) = \mathbf{v}_0$  и корень можно вынести за интеграл.

Окончательно, интегрируя (8.78) по  $s$ , получаем зависимость координат заряда от собственного времени  $s = t/u_0$  (или лабораторного времени  $t$ ):

$$\mathbf{r}(s) = \mathbf{r}(0) + (\mathbf{u}_0\mathbf{b})\mathbf{b} s + \frac{1}{\omega} [\mathbf{b} \times [\mathbf{u}_0 \times \mathbf{b}]] \sin(\omega s) - \frac{1}{\omega} [\mathbf{u}_0 \times \mathbf{b}] (\cos(\omega s) - 1),$$

где константы интегрирования подобраны таким образом, чтобы вектор  $\mathbf{r}(0)$  соответствовал начальному положению заряда. Это решение геометрически является спиралью, намотанной на цилиндр радиуса  $|\mathbf{u}_0 \times \mathbf{b}|/\omega$ .

## 8.8 Ковариантный формализм

Введём дополнительно к трём матрицам Паули, матрицу с нулевым индексом, равную единичной  $\sigma_0 = \sigma^0 = 1$ . Считая, что индекс  $\mu$  пробегает значения  $0, \dots, 3$ , определим следующие наборы матриц:

$$\sigma_\mu = \{1, \boldsymbol{\sigma}\}, \quad \bar{\sigma}_\mu = \{1, -\boldsymbol{\sigma}\}. \quad (8.79)$$

Кроме этого, при помощи метрического тензора  $g^{\mu\nu} = \text{diag}(1, -1, -1, -1)$  определим аналогичные четверки матриц (без черты и с чертой) с верхним индексом:  $\sigma^\mu = g^{\mu\nu}\sigma_\nu = \{1, -\boldsymbol{\sigma}\}$  и  $\bar{\sigma}^\mu = g^{\mu\nu}\bar{\sigma}_\nu = \{1, \boldsymbol{\sigma}\}$ . Обратим внимание, что большинство 4-векторов определяется таким образом, что векторная часть  $A^\mu$  содержит 3-вектор со знаком плюс. Исключением является, например, 4-вектор производной для которого  $\partial^\mu = \{\partial_0, -\nabla\}$ . Аналогично  $\sigma^\mu$  имеет знак минус перед векторными компонентами.

При помощи введенных матриц, кватернион, связанный с 4-вектором и его сопряжение, можно записать в ковариантном стиле:

$$\mathbb{A} = A^\mu \sigma_\mu = A_\mu \sigma^\mu, \quad \bar{\mathbb{A}} = A^\mu \bar{\sigma}_\mu = A_\mu \bar{\sigma}^\mu. \quad (8.80)$$

Любую матрицу  $2 \times 2$  можно разложить, например, по четырём матрицам  $\sigma_\mu$ . Коэффициенты разложения в общем случае будут комплексными числами. След матриц Паули равен нулю, а след единичной матрицы равен 2. Произведение различных матриц Паули снова даёт матрицу Паули. Квадрат же каждой матрицы равен единичной. Поэтому:

$$\frac{1}{2} \text{Tr} \sigma_\mu = \delta_{\mu 0}, \quad \frac{1}{2} \text{Tr}(\sigma_\mu \sigma_\nu) = \delta_{\mu\nu}.$$

Аналогичные соотношения справедливы для матриц с чертой. Более “ковариантный вид” имеют соотношения в которых используются смешанные наборы матриц (с чертой и без неё). Несложно видеть, что в этом случае выполняются следующие условия ортогональности:

$$\frac{1}{2} \text{Tr}(\sigma_\mu \bar{\sigma}_\nu) = g_{\mu\nu}, \quad \frac{1}{2} \text{Tr}(\sigma_\mu \bar{\sigma}^\nu) = \delta_\mu^\nu. \quad (8.81)$$

Записав разложение некоторой матрицы  $\mathbb{A} = A^\mu \sigma_\mu$  по базису матриц  $\sigma_\mu$ , всегда можно найти коэффициенты такого разложения:

$$A^\mu = \frac{1}{2} \text{Tr}(\mathbb{A} \bar{\sigma}^\mu). \quad (8.82)$$

Отметим также следующую алгебру (метрический тензор умножается на единичную матрицу):

$$\sigma_\mu \bar{\sigma}_\nu + \sigma_\nu \bar{\sigma}_\mu = 2g_{\mu\nu}, \quad (8.83)$$

проверяемую при помощи свойств матриц Паули  $\boldsymbol{\sigma}$  (они антикоммутируют, а квадрат равен единичной матрице).

Изменения компонент любого 4-вектора при преобразованиях Лоренца определяются (стр. 136) элементами матрицы  $\Lambda^\mu{}_\nu$ :

$$A'^\mu = \Lambda^\mu{}_\nu A^\nu.$$

Запишем закон преобразования кватерниона, связанного с компонентами 4-вектора:

$$\mathbb{A}' = \mathbb{S}\mathbb{A}\mathbb{S}^+ = \mathbb{S}A^\mu\sigma_\mu\mathbb{S}^+ = A'^\nu\sigma_\nu = \Lambda^\nu{}_\mu A^\mu\sigma_\nu.$$

В силу произвольности компонент 4-вектора, получаем следующую связь кватернионных матриц преобразования  $\mathbb{S}$  и коэффициентов матрицы лоренцевских преобразований  $4\times 4$ :

$$\mathbb{S}\sigma_\mu\mathbb{S}^+ = \sigma_\nu\Lambda^\nu{}_\mu. \quad (8.84)$$

Например, в случае буста  $\mathbb{S} = \mathbb{L}$ , для нулевого значения индекса  $\mu$  имеем (см. стр. 516):

$$\Lambda^0{}_0 + \sigma_i\Lambda^i{}_0 = \mathbb{L}\mathbb{L}^+ = \gamma - \gamma\mathbf{v}\boldsymbol{\sigma},$$

поэтому  $\Lambda^0{}_0 = \gamma$  и  $\Lambda^i{}_0 = -\gamma v^i$ , что стоит сравнить с явным видом матрицы  $\Lambda^\mu{}_\nu$  на стр. 137. Абсолютно аналогично можно записать преобразование для сопряженного кватерниона  $\bar{\mathbb{A}} = \bar{\mathbb{S}}^+\bar{\mathbb{A}}\bar{\mathbb{S}}$  и получить соотношение:

$$\bar{\mathbb{S}}^+\bar{\sigma}_\mu\bar{\mathbb{S}} = \bar{\sigma}_\nu\Lambda^\nu{}_\mu. \quad (8.85)$$

Обратим внимание, что черта над матрицами  $\sigma_\mu$  ведёт себя также, как и над кватернионом при его сопряжении.

Свернём теперь антисимметричный 4-тензор  $F^{\mu\nu}$  с 4-матрицей Паули и её сопряжением:

$$\mathbb{F} = \frac{1}{2} F^{\mu\nu}\sigma_\mu\bar{\sigma}_\nu. \quad (8.86)$$

Найдём как он изменяется при преобразованиях Лоренца:

$$F'^{\mu\nu}\sigma_\mu\bar{\sigma}_\nu = \Lambda^\mu{}_\alpha\Lambda^\nu{}_\beta F^{\alpha\beta}\sigma_\mu\bar{\sigma}_\nu = F^{\alpha\beta}\mathbb{S}\sigma_\alpha\mathbb{S}^+\bar{\mathbb{S}}^+\bar{\sigma}_\beta\bar{\mathbb{S}} = \mathbb{S}F^{\alpha\beta}\sigma_\alpha\bar{\sigma}_\beta\bar{\mathbb{S}},$$

где учтена единичность нормы кватерниона преобразования  $\mathbb{S}$ . Таким образом:

$$\mathbb{F}' = \mathbb{S}\mathbb{F}\bar{\mathbb{S}}. \quad (8.87)$$

Этот результат для кватерниона момента импульса был уже получен на странице 528. В случае тензора напряженности электромагнитного поля имеем:

$$\mathbb{F} = \frac{1}{2} F^{\mu\nu}\sigma_\mu\bar{\sigma}_\nu = (\mathbf{E} + i\mathbf{B})\boldsymbol{\sigma},$$

где второе равенство получено явной записью сумм по  $\mu$  и  $\nu$  с учётом того, что  $\mathbf{E} = \{F^{10}, F^{20}, F^{30}\}$  и  $\mathbf{B} = -\{F^{23}, F^{31}, F^{12}\}$ .

• Представление (8.86) применимо и к симметричному тензору  $T^{\mu\nu}$ , однако в силу антикоммутирования матриц Паули оно не будет иметь векторной части и пропорционально ковариантному следу  $g_{\mu\nu}T^{\mu\nu}$ . В силу того, что  $\mathbb{S}\bar{\mathbb{S}} = \mathbb{I}$  из (8.87) будет следовать, что этот след, как и должно быть, инвариантен относительно преобразований Лоренца. Более содержательное описание симметричных тензоров в кватернионных обозначениях мы рассмотрим на примере тензора энергии импульса.

Вычислим произведение тензора напряженностей на его эрмитово сопряжение:

$$\mathbb{F}\mathbb{F}^+ = (\mathbf{f}\boldsymbol{\sigma})(\mathbf{f}^*\boldsymbol{\sigma}) = \mathbf{E}^2 + \mathbf{B}^2 + 2[\mathbf{E} \times \mathbf{B}] \boldsymbol{\sigma}.$$

Учитывая определения для плотности энергии  $W$  и импульса  $\mathbf{P}$  электромагнитного поля (стр. 311), имеем следующий кватернион:

$$\mathbb{T}_0 = \frac{\mathbb{F}\mathbb{F}^+}{8\pi} = W + \mathbf{P}\boldsymbol{\sigma}. \quad (8.88)$$

Обратим внимание, что  $W$  и  $\mathbf{P}$  не образуют 4-вектор, поэтому закон преобразования кватерниона  $\mathbb{T}_0$  отличен от (8.49) и (8.55). Связано это с тем, что  $W$  и  $\mathbf{P}$  являются нулевыми компонентами симметричного 4-тензора энергии-импульса:

$$T^{\alpha\beta} = \frac{1}{4\pi} \left( g_{\mu\nu} F^{\alpha\mu} F^{\nu\beta} + \frac{1}{4} g^{\alpha\beta} F_{\mu\nu} F^{\mu\nu} \right) = \begin{pmatrix} W & P_x & P_y & P_z \\ P_x & s_{xx} & s_{xy} & s_{xz} \\ P_y & s_{yx} & s_{yy} & s_{yz} \\ P_z & s_{zx} & s_{zy} & s_{zz} \end{pmatrix},$$

где симметричный 3-тензор потока импульса (стр. 312) равен:

$$s_{ij} = s^{ij} = \delta_{ij} W - \frac{E_i E_j + B_i B_j}{4\pi}.$$

Этот тензор возникает, в следующей тройке кватернионов:

$$\mathbb{T}^i = \frac{1}{8\pi} \mathbb{F} \sigma^i \mathbb{F}^+ = P^i + s^{ij} \sigma_j \quad (8.89)$$

(для проверки этого соотношения удобно его свернуть с произвольным единичным вектором  $\mathbf{n}$ , а затем воспользоваться тождеством (8.7), стр. 508; напомним также, что  $\sigma^i = -\sigma_i$ ).

Соотношения (8.88) и (8.89) можно объединить в одно:

$$\mathbb{T}^\mu = \frac{1}{8\pi} \mathbb{F} \sigma^\mu \mathbb{F}^+ = T^{\mu\nu} \sigma_\nu \quad (8.90)$$

Эта четвёрка кватернионов является выражением симметричного тензора энергии-импульса в матричном виде.

При преобразованиях Лоренца кватернионы  $\mathbb{T}^\nu$  изменяются подобно 4-вектору, к компонентам которого дополнительно применено кватернионное преобразование:

$$\mathbb{T}'^\mu = \Lambda^\mu{}_\nu \mathbb{S} \mathbb{T}^\nu \mathbb{S}^+.$$

Отметим также, что

$$T^{\mu\nu} = \frac{1}{2} \text{Tr}(\mathbb{T}^\mu \bar{\sigma}^\nu),$$

где учтены условия ортогональности матриц Паули (8.81).

Получим закон сохранения энергии-импульса в кватернионной форме. Для этого умножим уравнение Максвелла (8.57), стр. 530 слева на  $\sigma^\mu \mathbb{F}^+$ . Затем возьмем эрмитово сопряжение (8.57) и умножим его справа на  $\mathbb{F} \sigma^\mu$ :

$$\sigma^\mu \mathbb{F}^+ \bar{\mathbb{D}} \mathbb{F} = 4\pi \sigma^\mu \mathbb{F}^+ \bar{\mathbb{J}}, \quad \mathbb{F}^+ \bar{\mathbb{D}} \mathbb{F} \sigma^\mu = 4\pi \bar{\mathbb{J}} \mathbb{F} \sigma^\mu.$$

Возьмем след этих уравнений и сложим их:

$$\text{Tr}(\sigma^\mu \mathbb{F}^+ \bar{\mathbb{D}} \mathbb{F} + \mathbb{F}^+ \bar{\mathbb{D}} \mathbb{F} \sigma^\mu) = 4\pi \text{Tr}(\sigma^\mu \mathbb{F}^+ \bar{\mathbb{J}} + \bar{\mathbb{J}} \mathbb{F} \sigma^\mu).$$

Под следом матрицы можно циклическим образом переставлять. Поэтому в левой части получается производная произведения:

$$\text{Tr}(\bar{\mathbb{D}}_{\mathbb{F}} \mathbb{F} \sigma^\mu \mathbb{F}^+ + \bar{\mathbb{D}}_{\mathbb{F}^+} \mathbb{F} \sigma^\mu \mathbb{F}^+) = \text{Tr}(\bar{\mathbb{D}}(\mathbb{F} \sigma^\mu \mathbb{F}^+)),$$

где индексы у производных указывают на какую матрицу они действуют. В результате получаем следующее уравнение:

$$\text{Tr}(\bar{\mathbb{D}} \mathbb{T}^\mu) = \frac{1}{2} \text{Tr}(\bar{\mathbb{J}} \sigma^\mu \mathbb{F}^+ + \mathbb{F} \sigma^\mu \bar{\mathbb{J}}). \quad (8.91)$$

При  $\mu = 0$  оно эквивалентно теореме Пойнтинга:

$$\frac{\partial W}{\partial t} + \nabla \mathbf{P} + \mathbf{E} \mathbf{j} = 0. \quad (8.92)$$

Действительно, перемножая матрицы Паули, имеем:

$$\bar{\mathbb{D}} \mathbb{T}^0 = \partial_0 W + \nabla \mathbf{P} + (\partial_0 \mathbf{P} + \nabla W + i \nabla \times \mathbf{P}) \boldsymbol{\sigma}$$

и

$$\frac{1}{2} (\bar{\mathbb{J}} \mathbb{F}^+ + \mathbb{F} \bar{\mathbb{J}}) = -\mathbf{j} \mathbf{E} + (\rho \mathbf{E} - \mathbf{j} \times \mathbf{B}) \boldsymbol{\sigma}.$$

След матриц Паули равен нулю, поэтому из (8.91) следует (8.92). Аналогично при  $\mu = i$  получается закон сохранения потока импульса.

## 8.9 Спиноры

Запишем ещё раз матрицы кватернионов пространственного вращения и преобразований Лоренца, стр. 512, 516:

$$\mathbb{R} = \cos \frac{\phi}{2} + \mathbf{n}\boldsymbol{\sigma} \sin \frac{\phi}{2}, \quad \mathbb{L} = \operatorname{ch} \frac{\alpha}{2} - \mathbf{m}\boldsymbol{\sigma} \operatorname{sh} \frac{\alpha}{2}, \quad (8.93)$$

где  $\boldsymbol{\sigma} = \{\sigma_1, \sigma_2, \sigma_3\}$  – матрицы Паули. Вращение системы координат  $\mathbb{R}$  происходит вокруг единичного вектора  $\mathbf{n}$  на угол  $\phi$ . Лоренцевский кватернион  $\mathbb{L}$  содержит единичный вектор  $\mathbf{m} = \mathbf{v}/v$  в направлении скорости  $\mathbf{v}$  и  $\alpha = \operatorname{ath} v$ . Их композиция  $\mathbb{S} = \mathbb{R}\mathbb{L}$  приводит к матрицам  $2 \times 2$  с комплексными коэффициентами, образующим группу  $\mathbf{SL}(2, C)$ :

$$\mathbb{S} = s_0 + \mathbf{s}\boldsymbol{\sigma}, \quad \mathbb{S}^{-1} = s_0 - \mathbf{s}\boldsymbol{\sigma}. \quad (8.94)$$

Эти матрицы имеют единичный определитель:

$$\det \mathbb{S} = s_0^2 - \mathbf{s}^2 = 1. \quad (8.95)$$

В результате этой связи на комплексные коэффициенты  $\{s_0, \mathbf{s}\}$  существует только 6=8-2 независимых *действительных* параметров, определяющих  $\mathbb{S}$ . Ими могут быть проекции скорости и углы вращения системы координат. В общем случае матрица  $\mathbb{S}$  неунитарна (хотя это так для пространственных вращений, имеющих действительную скалярную часть  $s_0$  и чисто мнимую векторную  $\mathbf{s}$ ).

Преобразование  $\mathbb{X}' = \mathbb{S}\mathbb{X}\mathbb{S}^+$  кватернионов похоже на преобразование “обычного” тензора второго ранга, так как матрица преобразований  $\mathbb{S}$  стоит два раза. Разберемся какой объект получится, если при подобных преобразованиях будет присутствовать только одна матрица. Будем считать, что матрицы группы  $\mathbf{SL}(2, C)$  действуют на некоторые векторы, в результате чего получаются новые векторы. Эти векторы можно представить в виде столбика из двух комплексных чисел  $\psi^1, \psi^2$  (вверху стоят индексы, а не степень). Эта пара чисел называется *спинором*:

$$\psi'^\alpha = S^\alpha_\beta \psi^\beta, \quad \psi = \begin{pmatrix} \psi^1 \\ \psi^2 \end{pmatrix}, \quad \mathbb{S} = \begin{pmatrix} S^1_1 & S^1_2 \\ S^2_1 & S^2_2 \end{pmatrix} = \begin{pmatrix} A & B \\ C & D \end{pmatrix}. \quad (8.96)$$

Таким образом, спинор – это объект, преобразующийся при вращениях и бустах при помощи матриц (8.93) или их композиции (8.94).

Спиноры выглядят достаточно абстрактными математическими сущностями. Однако, как и многие подобные построения, они реализуются в природе (точнее оказываются адекватным математическим описанием физической реальности). Так, волновая функция электрона (и любой частицы с нецелым спином) в квантовой механике является спинором. В теории поля такие частицы описываются спинорным полем.

• Равенство единице определителя преобразований приводит к тому, что для двух спиноров  $\psi$  и  $\chi$  инвариантна следующая комбинация:

$$\psi^1 \chi^2 - \psi^2 \chi^1 = inv.$$

Действительно, прямым вычислением несложно проверить ( $\llcorner$  Н<sub>125</sub>), что

$$\psi'^1 \chi'^2 - \psi'^2 \chi'^1 = (AD - BC)(\psi^1 \chi^2 - \psi^2 \chi^1) = \psi^1 \chi^2 - \psi^2 \chi^1,$$

где выражение  $AD - BC$  равно определителю  $\det \mathbb{S} = 1$ , см.(8.96).

Введем *ковариантные компоненты* спинора (или *коспинор*), которые будем помечать нижним индексом  $\psi_\alpha$ :

$$\psi_1 = \psi^2, \quad \psi_2 = -\psi^1. \quad (8.97)$$

Придадим этому определению тензорную форму (по  $\beta$  сумма от 1 до 2):

$$\psi_\alpha = \varepsilon_{\alpha\beta} \psi^\beta, \quad \psi^\alpha = \psi_\beta \varepsilon^{\beta\alpha}, \quad (8.98)$$

где введена ортогональная матрица:

$$\varepsilon_{\alpha\beta} = \varepsilon^{\alpha\beta} = \begin{pmatrix} 0 & 1 \\ -1 & 0 \end{pmatrix}, \quad (8.99)$$

со следующими свойствами:

$$\varepsilon^2 = -1, \quad \varepsilon^T = -\varepsilon, \quad \varepsilon \sigma \varepsilon = \sigma^T. \quad (8.100)$$

Обратим внимание на обратный порядок индексов у  $\varepsilon^{\alpha\beta}$  во втором соотношении (8.98). Инвариантная комбинация теперь имеет вид:

$$\psi^\alpha \chi_\alpha = \psi^\alpha \varepsilon_{\alpha\beta} \chi^\beta = \psi^1 \chi^2 - \psi^2 \chi^1 = inv.$$

Матрица  $\varepsilon_{\alpha\beta}$  антисимметрична, поэтому ( $\llcorner$  Н<sub>126</sub>):

$$\psi^\alpha \chi_\alpha = -\psi_\alpha \chi^\alpha, \quad \psi^\alpha \psi_\alpha = 0, \quad (8.101)$$

т.е. перестановка суммационных индексов по высоте, в отличие от обычного тензорного анализа, приводит к *смене знака* выражения!

При помощи закона преобразования спинора (8.96) и определения (8.97) можно найти ( $\llcorner$  Н<sub>127</sub>) как преобразуется коспинор:

$$\begin{pmatrix} \psi'_1 \\ \psi'_2 \end{pmatrix} = \begin{pmatrix} D & -C \\ -B & A \end{pmatrix} \begin{pmatrix} \psi_1 \\ \psi_2 \end{pmatrix}, \quad \psi'_\alpha = \tilde{S}_\alpha{}^\beta \psi_\beta. \quad (8.102)$$

Несложно проверить, что:

$$\tilde{\mathbb{S}} = -\varepsilon \mathbb{S} \varepsilon, \quad \mathbb{S}^{-1} = \tilde{\mathbb{S}}^T, \quad \det \tilde{\mathbb{S}} = 1. \quad (8.103)$$

Если тильдой пометить коспинор, то в матричном виде преобразования спинора  $\psi \equiv \psi^\alpha$  и коспинора  $\tilde{\psi} = \varepsilon \psi \equiv \psi_\alpha$  записываются следующим образом:  $\psi' = \mathbb{S} \psi$  и  $\tilde{\psi}'^T = \tilde{\psi}^T \mathbb{S}^{-1}$ , а инвариант равен  $\psi'^T \tilde{\chi}' = \psi^T \varepsilon \chi = inv.$

• *Спинорным тензором* называется величина с верхними и/или нижними индексами, преобразующаяся также как произведение спинорных и коспинорных компонент. Например, спинорный тензор второго ранга, по определению, преобразуется следующим образом:

$$\psi'^{\alpha}_{\beta} = S^{\alpha}_{\mu} \tilde{S}_{\beta}^{\nu} \psi^{\mu}_{\nu}.$$

Аналогично записывается преобразование для спинорных тензоров с произвольным числом индексов.

Так как компоненты спиноров и матриц преобразования это комплексные числа, удобно ввести еще две спинорные компоненты, которые помечаются точкой над индексом. По определению, они преобразуются как комплексное сопряжение спинора  $\psi^{\alpha}$  и коспинора  $\psi_{\alpha}$ :

$$\begin{pmatrix} \psi'^1 \\ \psi'^2 \end{pmatrix} = \begin{pmatrix} A^* & B^* \\ C^* & D^* \end{pmatrix} \begin{pmatrix} \psi^1 \\ \psi^2 \end{pmatrix}, \quad \begin{pmatrix} \psi'_1 \\ \psi'_2 \end{pmatrix} = \begin{pmatrix} D^* & -C^* \\ -B^* & A^* \end{pmatrix} \begin{pmatrix} \psi_1 \\ \psi_2 \end{pmatrix}.$$

Соответственно могут быть тензоры с верхними или нижними индексами, с точкой или без них:  $\psi_{\alpha\beta}^{\dot{\cdot}}$ ,  $\psi_{\alpha\beta}^{\dot{\cdot}}$ , ... Для утверждения, что  $\psi_{\alpha}^{\dot{\cdot}}$  преобразуется как  $\psi_{\alpha}^*$  используется следующая запись:

$$\psi_{\alpha}^{\dot{\cdot}} \sim \psi_{\alpha}^*, \quad \psi^{\dot{\alpha}} \sim \psi^{*\alpha}, \quad \psi_{\alpha\beta}^{\dot{\cdot}} \sim \psi_{\alpha}\psi_{\beta}^*. \quad (8.104)$$

При получении инвариантных комбинаций *можно* сворачивать (суммировать) верхний и нижний индекс *одного типа* (точки с точками, и т.д.). Но *нельзя* сворачивать индексы *разного типа*. Так, выражение  $\psi^{\alpha}\chi_{\alpha}^{\dot{\cdot}}$  – неинвариантно относительно (8.94). Действительно, обозначим  $\dot{\chi} = (\chi^1 \ \chi^2)^T$ , тогда, учитывая, что  $\varepsilon \mathbb{S}^T \varepsilon = -\mathbb{S}^{-1}$ , см. (8.103), имеем:

$$\psi'^{\alpha}\chi'_{\alpha}^{\dot{\cdot}} = \psi'^T \varepsilon \dot{\chi}' = \psi^T \mathbb{S}^T \varepsilon \mathbb{S}^* \dot{\chi} = -\psi^T \varepsilon \varepsilon \mathbb{S}^T \varepsilon \mathbb{S}^* \dot{\chi} = \psi^T \varepsilon (\mathbb{S}^{-1} \mathbb{S}^*) \dot{\chi} \neq \psi^T \varepsilon \dot{\chi},$$

так как  $\mathbb{S}^{-1} \mathbb{S}^*$  не равно единичной матрице. Заметим ( $\leq \mathbb{H}_{129}$ ), что *если* преобразование унитарно  $\mathbb{S}^+ \mathbb{S} = \mathbb{I}$  (например, при вращениях), то инвариантом будет такая свертка:  $\psi^{\dot{\alpha}} \chi^{\alpha} = \psi^1 \chi^1 + \psi^2 \chi^2$ .

Таким образом, записывая инварианты, мы всегда будем сворачивать только однотипные индексы. Поэтому нет необходимости следить за порядком чередования индексов разного типа, и по определению:

$$\psi_{\alpha\beta}^{\dot{\cdot}} = \psi_{\beta\alpha}^{\dot{\cdot}}, \quad \psi_{\alpha\beta\gamma}^{\dot{\cdot}} = \psi_{\alpha\gamma\beta}^{\dot{\cdot}} = \psi_{\gamma\alpha\beta}^{\dot{\cdot}}.$$

Но при этом, конечно, порядок индексов одного типа важен и в общем случае  $\psi_{\alpha\beta} \neq \psi_{\beta\alpha}$ .



С помощью  $\varepsilon_{\alpha\beta}$  из некоторого тензора  $\psi^{\alpha\beta}$  можно получить *другие* тензоры с иным расположением индексов:

$$\psi^{\alpha\beta} = \begin{pmatrix} a & b \\ c & d \end{pmatrix}, \quad \psi_{\alpha\beta} = \begin{pmatrix} d & -c \\ -b & a \end{pmatrix}, \quad (8.105)$$

$$\psi_{\alpha}{}^{\beta} = \begin{pmatrix} c & d \\ -a & -b \end{pmatrix}, \quad \psi^{\alpha}{}_{\beta} = \begin{pmatrix} b & -a \\ d & -c \end{pmatrix}. \quad (8.106)$$

Например  $\psi_{\alpha}{}^{\beta} = \varepsilon_{\alpha\gamma} \psi^{\gamma\beta}$  получается прямым умножением матрицы  $\varepsilon$  на  $\psi^{\alpha\beta}$ . Для  $\psi^{\alpha}{}_{\beta}$  необходимо записать  $\varepsilon_{\beta\gamma} \psi^{\alpha\gamma} = -\psi^{\alpha\gamma} \varepsilon_{\gamma\beta}$ , и т.д. Не стоит забывать, что для тензора с верхними индексами  $\varepsilon^{\mu\nu}$  используется обратный порядок свертки и  $\psi^{\alpha\beta} = \psi_{\mu\nu} \varepsilon^{\mu\alpha} \varepsilon^{\nu\beta} = -\varepsilon^{\alpha\mu} \psi_{\mu\nu} \varepsilon^{\nu\beta}$ .

Если  $b = c$ , то тензоры  $\psi^{\alpha\beta}$  и  $\psi_{\alpha\beta}$  являются симметричными. Симметричными будут и  $\psi_{\beta}{}^{\alpha}$  и  $\psi^{\alpha}{}_{\beta}$  в том смысле, что  $\psi_{\beta}{}^{\alpha} = \psi^{\alpha}{}_{\beta} = \psi_{\beta}^{\alpha}$ . Например  $\psi^1{}_2 = -a = \psi_2^1$  (первый индекс по горизонтали – номер строки, второй – номер столбца). Поэтому для *симметричного* тензора 2-го ранга можно писать индексы друг под другом (будем считать, что верхний индекс – это номер строки, а нижний – столбца). Однако, при этом  $\psi_{\beta}^{\alpha} \neq \psi_{\alpha}^{\beta}$ .

Антисимметричность тензора  $\varepsilon_{\alpha\beta}$  приводит к тому, что (по  $\alpha$  сумма):

$$\psi^{\alpha}{}_{\alpha} = -\psi_{\alpha}{}^{\alpha}, \quad \text{и если } \psi_{\alpha\beta} = \psi_{\beta\alpha}, \quad \text{то } \psi^{\alpha}{}_{\alpha} = 0.$$

Величина  $\varepsilon^{\alpha\beta}$  является спинорным тензором, компоненты которого не меняются при преобразованиях с единичным детерминантом:

$$\varepsilon'^{\alpha\beta} = S^{\alpha}{}_{\mu} S^{\beta}{}_{\nu} \varepsilon^{\mu\nu} = \begin{pmatrix} A & B \\ C & D \end{pmatrix} \begin{pmatrix} 0 & 1 \\ -1 & 0 \end{pmatrix} \begin{pmatrix} A & C \\ B & D \end{pmatrix} = \det S \begin{pmatrix} 0 & 1 \\ -1 & 0 \end{pmatrix} = \varepsilon^{\alpha\beta}.$$

Повышать и понижать индексы при помощи  $\varepsilon^{\alpha\beta}$  можно и у самого спинорного тензора  $\varepsilon_{\alpha\beta}$ . Так  $\varepsilon_{\alpha\beta} = \varepsilon_{\alpha\mu} \varepsilon_{\beta\nu} \varepsilon^{\mu\nu} = (\varepsilon \varepsilon \varepsilon^T)_{\alpha\beta} = (-\varepsilon^T)_{\alpha\beta} = \varepsilon_{\alpha\beta}$ .

Если инвариант спинорных преобразований обозначить следующим образом  $[ab] = a^{\alpha} b_{\alpha} = a^{\alpha} \varepsilon_{\alpha\beta} b^{\beta} = a^1 b^2 - a^2 b^1$ , то для четырех спиноров прямой подстановкой можно проверить справедливость тождества:

$$[ab][cd] + [ac][db] + [ad][bc] = 0.$$

Так как спинор  $a^{\alpha}$  произволен, отсюда следует такое соотношение:

$$b^{\alpha}[cd] + c^{\alpha}[db] + d^{\alpha}[bc] = 0.$$

Беря производную по компонентам спиноров ( $\llcorner H_{128}$ ), получаем:

$$\varepsilon_{\mu\nu} \delta_{\sigma}^{\alpha} + \varepsilon_{\sigma\mu} \delta_{\nu}^{\alpha} + \varepsilon_{\nu\sigma} \delta_{\mu}^{\alpha} = 0. \quad (8.107)$$

Понятно, что все вышесказанное по работе с тензором  $\varepsilon^{\mu\nu}$  в равной степени относится как к индексам без точки, так и к индексам с точкой.

## 8.10 Спиноры и 4-тензоры

• Матрица пространственных вращений  $\mathbb{R}$  (8.93) является унитарной  $\mathbb{R}^+\mathbb{R} = \mathbb{I}$  (подгруппа  $\mathbf{SU}(2) \subset \mathbf{SL}(2, C)$ ). Относительно *этих* преобразований инварианта *длина* спинора и коспинора:

$$\psi^+\psi = (\psi^{*1} \ \psi^{*2}) \begin{pmatrix} \psi^1 \\ \psi^2 \end{pmatrix} = |\psi^1|^2 + |\psi^2|^2,$$

или в более общем случае  $\chi^{\dot{\alpha}}\psi^{\alpha}$  ( $\llcorner \mathbb{H}_{129}$ ). Преобразования Лоренца длину спинора не сохраняют и она различна в разных инерциальных системах отсчета.

Для унитарных преобразований  $\mathbb{R}^+ = \mathbb{R}^{-1}$  и (см. (8.102), (8.103) ):

$$\mathbb{R}^* = \mathbb{R}^{+T} = (\mathbb{R}^{-1})^T = \begin{pmatrix} D & -C \\ -B & A \end{pmatrix}.$$

Поэтому компоненты коспинора  $\{\psi_1, \psi_2\}$  *при вращениях* преобразуются также как  $\{\psi^{*1}, \psi^{*2}\}$  или как  $\{\psi^1, \psi^2\}$ .

Компоненты векторов при повороте на угол  $2\pi$  не меняются. В отличие от этого, компоненты спинора (и коспинора) при повороте (8.93) на угол  $2\pi$  меняют свой знак ( $\cos \pi = -1$ ,  $\sin \pi = 0$ ). В исходное значение компоненты спинора возвращаются после поворота на  $4\pi$ . Это принципиально отличает спинор первого ранга (с одним индексом) и “обычный” вектор или тензор. Такое свойство спинора очень необычно. Мы привыкли к тому, что при повороте на 360 градусов система координат “возвращается” в исходное положение, поэтому все геометрические величины не должны измениться. Однако для спиноров это не так и они при таком повороте меняют знак. И только двойное вращение на 720 градусов не меняет “ориентации” спинора.

Для спиноров второго ранга матрица преобразования оказывается в квадрате и они не меняются при повороте на  $2\pi$ . Поэтому между спинорами второго ранга и 4-векторами существует непосредственная связь. При помощи кватернионов мы записали преобразования группы Лоренца  $\mathbb{X}' = \mathbb{S}\mathbb{X}\mathbb{S}^+$  или в индексах:

$$X^{\alpha\beta} = S^{\alpha}_{\gamma} X^{\gamma\delta} (S^+)_{\delta}^{\beta} = S^{\alpha}_{\gamma} (S^*)^{\beta}_{\delta} X^{\gamma\delta},$$

где, в силу определения эрмитового сопряжения, проведено комплексное сопряжение и переставлены местами строки и столбцы. Данное преобразование есть ни что иное, как преобразование спинора  $\psi^{\alpha\dot{\beta}}$ , второй индекс которого взят с точкой.

• Компоненты кватерниона  $\mathbb{A} = a_0 + \mathbf{a}\boldsymbol{\sigma}$  преобразуется также как и 4-вектор  $A = \{A^0, \mathbf{A}\}$ . Поэтому произвольный спинор 2-го ранга со смешанными индексами  $a^{\alpha\dot{\mu}}$  эквивалентен 4-вектору (преобразуется также):

$$a^{\alpha\dot{\mu}} = \begin{pmatrix} A^0 + A^3 & A^1 - \imath A^2 \\ A^1 + \imath A^2 & A^0 - A^3 \end{pmatrix} = A^0 + \mathbf{A}\boldsymbol{\sigma} \equiv \mathbb{A}. \quad (8.108)$$

Используя формулы (8.105) можно аналогично записать смешанный спинорный тензор с нижними индексами:

$$a_{\alpha\dot{\mu}} = \begin{pmatrix} A^0 - A^3 & -A^1 - \imath A^2 \\ -A^1 + \imath A^2 & A^0 + A^3 \end{pmatrix} = A^0 - \mathbf{A}\boldsymbol{\sigma}^T \equiv \bar{\mathbb{A}}^T. \quad (8.109)$$

Знак минус перед векторной частью по определению даёт сопряжение кватерниона (черта над ним). Матрицу  $a_{\alpha\dot{\mu}}$  можно получить непосредственной работой с матрицами Паули:

$$a_{\alpha\dot{\mu}} = \varepsilon_{\alpha\beta} \varepsilon_{\dot{\mu}\dot{\nu}} a^{\beta\dot{\nu}} = -(\varepsilon\mathbb{A}\varepsilon)_{\alpha\dot{\mu}},$$

где  $\mathbb{A} \equiv a^{\alpha\dot{\beta}}$  – спинорный тензор (кватернион) с верхними индексами. Поэтому, учитывая свойства  $\varepsilon^2 = -1$  и  $\varepsilon\boldsymbol{\sigma}\varepsilon = \boldsymbol{\sigma}^T$ , стр. 543 имеем:

$$-\varepsilon\mathbb{A}\varepsilon = -\varepsilon(A^0 + \mathbf{A}\boldsymbol{\sigma})\varepsilon = A^0 - \mathbf{A}\varepsilon\boldsymbol{\sigma}\varepsilon = A^0 - \mathbf{A}\boldsymbol{\sigma}^T = \bar{\mathbb{A}}^T. \quad (8.110)$$

Свертка спинорного тензора с верхними и нижними индексами пропорциональна норме соответствующего кватерниона:

$$a^{\alpha\dot{\gamma}} a_{\beta\dot{\gamma}} = a^{\alpha\dot{\gamma}} a_{\dot{\gamma}\beta}^T = (\mathbb{A}\bar{\mathbb{A}})^\alpha_\beta = (A_0^2 - \mathbf{A}^2) \delta_\beta^\alpha,$$

где во втором равенстве с учетом (8.109) транспонированный тензор с нижними индексами заменён на матрицу сопряженного кватерниона. Таким образом:

$$a^{\alpha\dot{\gamma}} a_{\beta\dot{\gamma}} = A^2 \delta_\beta^\alpha, \quad a^{\gamma\dot{\alpha}} a_{\dot{\gamma}\beta} = A^2 \delta_{\dot{\beta}}^{\dot{\alpha}}, \quad (8.111)$$

где  $A^2 = A_0^2 - \mathbf{A}^2$ . Аналогично:

$$a^{\alpha\dot{\gamma}} b_{\beta\dot{\gamma}} \equiv \mathbb{A}\bar{\mathbb{B}} = A \cdot \mathbf{B} + (B_0\mathbf{A} - A_0\mathbf{B} - \imath \mathbf{A} \times \mathbf{B}) \boldsymbol{\sigma}, \quad (8.112)$$

где 4-вектор  $\mathbf{B} = \{B_0, \mathbf{B}\}$  связан со спинором  $b^{\alpha\dot{\beta}}$  и  $A \cdot \mathbf{B} = A^0 B^0 - \mathbf{A}\mathbf{B}$ .

Несложно видеть, что при пространственных вращениях на угол  $2\pi$  спинорные тензоры с *нечетным* числом индексов (независимо от их типа) меняют свой знак. Спинорные тензоры с четным числом индексов знака не меняют (матрица поворота в четной степени). Это трансформационное свойство связано с общим правилом – спинорные тензоры с четным числом индексов могут быть связаны с 4-тензорами того или иного ранга; для спинорных тензоров с нечетным числом индексов такой связи нет.

• *Симметричный спинорный тензор* с двумя однотипными индексами (например,  $f^{\alpha\beta} = f^{\beta\alpha}$ ) имеет 3 независимые комплексные компоненты ( $f^{11}$ ,  $f^{22}$  и  $f^{12} = f^{21}$ ) или 6 действительных. Антисимметричный действительный 4-тензор  $F^{\mu\nu}$  также имеет 6 компонент. Построим тензор:

$$f^{\mu\nu} = \frac{1}{2} (a^{\mu\dot{\sigma}} b^{\nu}_{\dot{\sigma}} + a^{\nu\dot{\sigma}} b^{\mu}_{\dot{\sigma}}) \quad (8.113)$$

со сверткой по индексам с точкой и симметризацией по индексам без точки. Опустим при помощи  $\varepsilon$  индекс  $\nu$  вниз и запишем тензор в матричном виде ( $\mathbb{A} \equiv a^{\alpha\beta}$ ,  $\mathbb{B} \equiv b^{\alpha\beta}$ ):

$$f^{\mu}_{\nu} = \frac{1}{2} (a^{\mu\dot{\sigma}} b_{\nu\dot{\sigma}} - a_{\nu\dot{\sigma}} b^{\mu\dot{\sigma}}) = \frac{1}{2} (\mathbb{A}\bar{\mathbb{B}} - \mathbb{B}\bar{\mathbb{A}})^{\mu}_{\nu} = (\mathbb{F})^{\mu}_{\nu}. \quad (8.114)$$

Минус в первом равенстве появился после перестановки по вертикали суммационного индекса  $\dot{\sigma}$ , см. (8.101), стр. 543. Во втором равенстве переставлены местами индексы во вторых сомножителях и учтено (8.109). Компоненты тензора  $\mathbb{F}$  получаются перемножением  $\mathbb{A}$  и  $\mathbb{B}$  (8.13), стр. 509:

$$\mathbb{F} = (B_0\mathbf{A} - A_0\mathbf{B} - \imath\mathbf{A} \times \mathbf{B}) \boldsymbol{\sigma}. \quad (8.115)$$

Антисимметричный 4-тензор  $F^{\mu\nu}$  преобразуется как антисимметризованное произведение двух 4-векторов:  $F^{\mu\nu} = A^{\mu}B^{\nu} - A^{\nu}B^{\mu}$ . Его можно выразить через два 3-вектора  $\mathbf{a} = \{F^{10}, F^{20}, F^{30}\}$  и  $\mathbf{b} = \{F^{23}, F^{31}, F^{12}\}$  (не путать со спинорами  $a$  и  $b$ ). При помощи комплексного вектора  $\mathbf{f} = \mathbf{a} - \imath\mathbf{b}$  трансформационная связь (8.115) записывается в компактном виде:

$$\mathbb{F} = \mathbf{f}\boldsymbol{\sigma}, \quad (8.116)$$

где  $\mathbf{a} = B_0\mathbf{A} - A_0\mathbf{B}$  и  $\mathbf{b} = \mathbf{A} \times \mathbf{B}$ . Тензоры  $f^{\mu}_{\nu}$  и  $f^{\mu\nu} = (\mathbb{F}\boldsymbol{\varepsilon})^{\mu\nu}$  имеют следующие элементы:

$$f^{\mu}_{\nu} = \begin{pmatrix} f_z & f_x - \imath f_y \\ f_x + \imath f_y & -f_z \end{pmatrix}, \quad f^{\mu\nu} = \begin{pmatrix} -f_x + \imath f_y & f_z \\ f_z & f_x + \imath f_y \end{pmatrix}.$$

Инвариант получается сверткой по обоим индексам, см. (8.105), стр. 545:

$$f^{\mu\nu} f_{\mu\nu} = 2 \det f^{\mu\nu} = -2\mathbf{f}^2 = -2(\mathbf{a}^2 - \mathbf{b}^2) + 4\imath\mathbf{a}\mathbf{b}. \quad (8.117)$$

Аналогично строится симметричный спинорный тензор с точками:

$$f^{\ddot{\mu}\ddot{\nu}} = \frac{1}{2} (a^{\sigma\dot{\mu}} b_{\sigma\dot{\nu}} + a^{\sigma\dot{\nu}} b_{\sigma\dot{\mu}}) = f^{*\mu\nu}, \quad (8.118)$$

где во втором равенстве компоненты тензора  $F^{\mu\nu}$  (вектора  $\mathbf{a}$  и  $\mathbf{b}$ ) считаются действительными. Как и должно быть, спинорный тензор  $f^{\ddot{\mu}\ddot{\nu}}$  преобразуются также, как и комплексное сопряжение  $f^{\mu\nu}$ .

• Симметричный (по каждому типу индексов) тензор  $\psi^{\alpha_1 \dots \alpha_m \dot{\mu}_1 \dots \dot{\mu}_n}$  имеет  $(m+1)(n+1)$  независимых компонент ( $\leq N_{130}$ ). Сверткой однотипных индексов такие тензоры не могут быть сведены к тензорам более низкого ранга. Так,  $\psi^\alpha_\alpha = \varepsilon_{\alpha\beta} \psi^{\alpha\beta} = 0$  (свертка антисимметричного и симметричного тензора всегда равна нулю). Говорят, что симметричный спинорный тензор ранга  $(m, n)$  реализует *неприводимое представление* собственной группы Лоренца.

Найдем связь симметричного спинорного тензора ранга  $(2, 2)$  и произвольного 4-тензора  $T^{\mu\nu}$  второго ранга. Для этого определим тензор

$$c^{\alpha\beta\dot{\mu}\dot{\nu}} = \frac{1}{4} \left( a^{\alpha\dot{\mu}} b^{\beta\dot{\nu}} + a^{\beta\dot{\mu}} b^{\alpha\dot{\nu}} + a^{\alpha\dot{\nu}} b^{\beta\dot{\mu}} + a^{\beta\dot{\nu}} b^{\alpha\dot{\mu}} \right),$$

в котором по обоим парам индексов  $\alpha, \beta$  и  $\dot{\mu}, \dot{\nu}$  проведена симметризация.

Распишем, например,  $c^{12\dot{1}\dot{2}}$ :

$$c^{12\dot{1}\dot{2}} = \frac{1}{4} \left( a^{1\dot{1}} b^{2\dot{2}} + a^{2\dot{1}} b^{1\dot{2}} + a^{1\dot{2}} b^{2\dot{1}} + a^{2\dot{2}} b^{1\dot{1}} \right).$$

Выразим компоненты тензоров  $a^{\alpha\dot{\mu}}$  и  $b^{\alpha\dot{\mu}}$  через компоненты соответствующих 4-векторов (8.108):

$$a^{1\dot{1}} = A^0 + A^3, \quad a^{1\dot{2}} = A^1 - \imath A^2, \quad a^{2\dot{1}} = A^1 + \imath A^2, \quad a^{2\dot{2}} = A^0 - A^3$$

и аналогично для  $b^{\alpha\dot{\mu}}$ . Перемножая компоненты спинорных тензоров и вводя 4-тензор  $T^{\alpha\beta} = A^\alpha B^\beta$ , получаем искомую связь. Аналогично расписываются остальные компоненты. Всего возможно  $(2+1)(2+1) = 9$  различных компонент. Они равны (точнее: “преобразуются также”):

$$c^{12\dot{1}\dot{2}} = T^{00} - T^{33} - \frac{T}{2},$$

$$c^{11\dot{1}\dot{1}} = T^{00} + T^{33} + T^{03} + T^{30},$$

$$c^{22\dot{2}\dot{2}} = T^{00} + T^{33} - T^{03} - T^{30},$$

$$c^{11\dot{2}\dot{2}} = (c^{22\dot{1}\dot{1}})^* = T^{11} - T^{22} - \imath(T^{12} + T^{21}),$$

$$c^{12\dot{1}\dot{1}} = (c^{11\dot{2}\dot{2}})^* = \frac{T^{01} + T^{10}}{2} + \frac{T^{13} + T^{31}}{2} + \imath \frac{T^{02} + T^{20}}{2} + \imath \frac{T^{23} + T^{32}}{2},$$

$$c^{12\dot{2}\dot{2}} = (c^{22\dot{1}\dot{1}})^* = \frac{T^{01} + T^{10}}{2} - \frac{T^{13} + T^{31}}{2} - \imath \frac{T^{02} + T^{20}}{2} + \imath \frac{T^{23} + T^{32}}{2},$$

где выделен инвариант  $T = g_{\alpha\beta} T^{\alpha\beta} = T^{00} - T^{11} - T^{22} - T^{33}$  (след тензора).

Комплексное сопряжение меняет тип индексов (с точками и без точек).

Первые три компоненты симметричны относительно этой операции, поэтому они действительны. Остальные 6 компонент имеют мнимую часть и связаны комплексным сопряжением с другими компонентами (считаем  $T^{\mu\nu}$  действительными). Например:  $(c^{12\dot{1}\dot{1}})^* = c^{\dot{1}2\dot{1}1} = c^{11\dot{2}\dot{2}}$ .

### 8.11 Спиноры и уравнения Максвелла \*

Уравнения физики, ковариантные относительно преобразований Лоренца, можно записывать не только при помощи 4-тензоров. Эквивалентным математическим аппаратом является спинорный анализ. Ранее мы привели основные соотношения электродинамики на языке кватернионов. Запишем их теперь при помощи спинорного тензорного анализа.

Для 4-потенциала поля  $A = \{\varphi, \mathbf{A}\}$  и плотности 4-тока  $j = \{\rho, \mathbf{j}\}$  введем спинорные тензоры со смешанными индексами:

$$a^{\alpha\dot{\mu}} \equiv \mathbb{A} = \varphi + \mathbf{A}\sigma, \quad j^{\alpha\dot{\mu}} \equiv \mathbb{J} = \rho + \mathbf{j}\sigma.$$

Определим также тензор производной. Так как  $\partial^\nu = \{\partial_0, -\nabla\}$ , необходимо поставить минус перед пространственными компонентами:

$$\partial^{\alpha\dot{\mu}} \equiv \mathbb{D} = \partial_0 - \sigma\nabla. \quad (8.119)$$

Для любого тензора  $a^{\alpha\dot{\mu}} = \mathbb{A}$  справедливо соотношение  $a_{\dot{\mu}\alpha} = \bar{\mathbb{A}}$ , т.е. опускание и перестановка индексов приводит к сопряженному кватерниону, см. (8.109). Рассмотрим два кватерниона  $\mathbb{A}, \mathbb{B}$  и соответствующие им спинорные тензоры второго ранга со смешанными индексами. Мы будем часто вычислять следующую свёртку:

$$\frac{1}{2} a^{\alpha\dot{\mu}} b_{\alpha\dot{\mu}} = \frac{1}{2} a^{\alpha\dot{\mu}} b_{\dot{\mu}\alpha} = \frac{1}{2} \text{Tr}(\mathbb{A}\bar{\mathbb{B}}) = a^\nu b_\nu = a^0 b^0 - \mathbf{a}\mathbf{b}. \quad (8.120)$$

Обратим внимание, что во втором равенстве индексы  $\alpha$  и  $\dot{\mu}$  переставлены местами. Так как это смешанные индексы, их порядок в тензорном выражении роли не играет. Однако этот порядок важен в безиндексной матричной форме, к которой мы перешли в третьем равенстве. Свёртка двух индексов  $\dot{\mu}$  соответствует умножению матриц  $\mathbb{A}$  и  $\bar{\mathbb{B}}$ , а свёртка по индексу  $\alpha$  – это взятие суммы диагональных элементов получившейся матрицы (т.е. её след).

Так, квадрат производной пропорционален оператору Д'Аламбера:

$$\frac{1}{2} \partial^{\alpha\dot{\mu}} \partial_{\alpha\dot{\mu}} = \frac{1}{2} \text{Tr}(\mathbb{D}\bar{\mathbb{D}}) = \frac{\partial^2}{\partial t^2} - \Delta.$$

Аналогично, свёртка спинора ковариантной производной и спинора:

$$\frac{1}{2} \partial^{\alpha\dot{\mu}} j_{\alpha\dot{\mu}} = \frac{1}{2} \text{Tr}(\mathbb{D}\bar{\mathbb{J}}) = \frac{\partial \rho}{\partial t} + \nabla \mathbf{j} = 0 \quad (8.121)$$

дает уравнение непрерывности, см. (8.111), стр. 547.

• При помощи спинорных тензоров потенциалов определим тензоры напряженности электромагнитного поля без точек и с точками:

$$f^{\mu\nu} = \frac{1}{2} (\partial^{\mu\dot{\sigma}} a_{\dot{\sigma}\nu}^{\nu} + \partial^{\nu\dot{\sigma}} a_{\dot{\sigma}\mu}^{\mu}), \quad f^{\dot{\mu}\dot{\nu}} = \frac{1}{2} (\partial^{\sigma\dot{\mu}} a_{\dot{\sigma}\sigma}^{\dot{\nu}} + \partial^{\sigma\dot{\nu}} a_{\dot{\sigma}\sigma}^{\dot{\mu}}). \quad (8.122)$$

Эти тензоры симметричны, поэтому опуская один индекс вниз и записывая их друг под другом (см. стр. 545), имеем:

$$f_{\nu}^{\mu} = \frac{1}{2} (\partial^{\mu\dot{\sigma}} a_{\nu\dot{\sigma}} - \partial_{\nu\dot{\sigma}} a^{\mu\dot{\sigma}}) = \frac{1}{2} (\mathbb{D}\bar{\mathbb{A}} - \mathbb{A}\bar{\mathbb{D}})_{\nu}^{\mu} = (\mathbb{F})_{\nu}^{\mu}. \quad (8.123)$$

Обратим внимание на появившийся знак минус. Напомним, что в отличие от “обычного” тензорного анализа, в спинорном анализе перестановка местами двух индексов по которым проводится свёртка всегда даёт знак минус  $\psi^{\alpha}\xi_{\alpha} = -\psi_{\alpha}\xi^{\alpha}$ . Второе равенство (8.123) записано аналогично (8.120), однако, для получения правильного порядка индексов ( $\mu$  сверху нумерует строки, а  $\nu$  снизу – столбцы), матрицы  $\mathbb{D}$  и  $\mathbb{A}$  переставлены местами. Аналогично

$$f_{\dot{\nu}}^{\dot{\mu}} = \frac{1}{2} (\partial^{\sigma\dot{\mu}} a_{\sigma\dot{\nu}} - \partial_{\sigma\dot{\nu}} a^{\sigma\dot{\mu}}) = \frac{1}{2} (\mathbb{D}^T \bar{\mathbb{A}}^T - \mathbb{A}^T \bar{\mathbb{D}}^T)_{\dot{\nu}}^{\dot{\mu}} = (\mathbb{F}^*)_{\dot{\nu}}^{\dot{\mu}}, \quad (8.124)$$

где звездочка обозначает комплексное сопряжение элементов матрицы напряженностей:  $\mathbb{F}^* = \mathbb{F}^{+T}$ . Это сопряжение появилось так как транспонирование произведения во втором равенстве можно вынести за скобку, переставляя местами сомножители. Затем, для восстановления их обратного порядка берём эрмитово сопряжение и учитываем, что  $\mathbb{A}^+ = \mathbb{A}$ ,  $\mathbb{D}^+ = \mathbb{D}$ . Кватернион напряженностей электромагнитного поля равен  $\mathbb{F} = \mathbf{f}\sigma$ , где  $\mathbf{f} = \mathbf{E} + i\mathbf{B}$  и при  $\mathbf{B} \neq 0$  не является эрмитовым

Спинорный тензор напряженностей инвариантен относительно калибровочного преобразования тензоров потенциалов:

$$a^{\mu\dot{\nu}} \mapsto a'^{\mu\dot{\nu}} = a^{\mu\dot{\nu}} + \partial^{\mu\dot{\nu}} \Lambda,$$

где  $\Lambda$  произвольная скалярная функция координат. Действительно, подставляя связь тензора  $f_{\nu}^{\mu}$  и потенциалов (8.123), имеем:

$$f'_{\nu}^{\mu} = f_{\nu}^{\mu} + \frac{1}{2} (\partial^{\mu\dot{\sigma}} \partial_{\nu\dot{\sigma}} - \partial_{\nu\dot{\sigma}} \partial^{\mu\dot{\sigma}}) \Lambda = f_{\nu}^{\mu}. \quad (8.125)$$

В качестве упражнения ( $\llcorner$  Н<sub>131</sub>) предлагается убедиться, что в калибровке Лоренца  $\partial^{\mu\dot{\nu}} a_{\mu\dot{\nu}} = 0$  справедливо соотношение:

$$\partial^{\mu\dot{\sigma}} a_{\dot{\sigma}\nu}^{\nu} = \partial^{\nu\dot{\sigma}} a_{\dot{\sigma}\mu}^{\mu},$$

В такой калибровке выражения для тензоров напряженности (8.122) упрощаются:  $f^{\mu\nu} = \partial^{\mu\dot{\sigma}} a_{\dot{\sigma}\nu}^{\nu}$  и  $f^{\dot{\mu}\dot{\nu}} = \partial^{\sigma\dot{\mu}} a_{\dot{\sigma}\sigma}^{\dot{\nu}}$ .

• Запишем в спинорной форме уравнения поля. Ковариантное уравнение Максвелла без источников имеет вид:

$$\partial^{\mu\dot{\alpha}} f_{\dot{\alpha}}^{\nu} - \partial^{\alpha\nu} f_{\alpha}^{\mu} = 0. \quad (8.126)$$

Убедимся, что при любом спинорном тензоре  $a_{\mu\nu}$  это уравнение тождественно выполняется. Подставим определения тензоров напряженности:

$$\partial^{\mu\dot{\alpha}} (\partial^{\sigma\nu} a_{\sigma\dot{\alpha}} - \partial_{\sigma\dot{\alpha}} a^{\sigma\nu}) - \partial^{\alpha\nu} (\partial^{\mu\dot{\sigma}} a_{\alpha\dot{\sigma}} - \partial_{\alpha\dot{\sigma}} a^{\mu\dot{\sigma}}) = 0.$$

Раскрывая скобки и переставляя второе и третье слагаемое, имеем:

$$\partial^{\mu\dot{\alpha}} \partial^{\sigma\nu} a_{\sigma\dot{\alpha}} - \partial^{\alpha\nu} \partial^{\mu\dot{\sigma}} a_{\alpha\dot{\sigma}} - \partial^{\mu\dot{\alpha}} \partial_{\sigma\dot{\alpha}} a^{\sigma\nu} + \partial^{\alpha\nu} \partial_{\alpha\dot{\sigma}} a^{\mu\dot{\sigma}} = 0.$$

Первые два слагаемых сокращаются, если во втором переставить производные и переименовать суммационные индексы  $\alpha$  и  $\sigma$ , переставив их местами. Для третьего слагаемого, имеем:

$$\partial^{\mu\dot{\alpha}} \partial_{\sigma\dot{\alpha}} = \delta_{\sigma}^{\mu} (\partial_0^2 - \Delta),$$

где учтено тождество (8.111), стр. 547. Аналогичное выражение получается и для четвертого слагаемого, поэтому последние два слагаемых сокращаются и получается ноль в не зависимости от значений компонент тензора  $a_{\mu\nu}$ .

Несложно записать уравнения Максвелла без источников (8.126) в матричном виде:

$$\partial^{\mu\dot{\alpha}} f_{\dot{\alpha}}^{\nu} - \partial^{\alpha\nu} f_{\alpha}^{\mu} = \partial^{\mu\dot{\alpha}} f_{\dot{\alpha}}^{\nu} - f_{\alpha}^{\mu} \overleftarrow{\partial}^{\alpha\nu} = (\mathbb{D}\mathbb{F}^{*T} - \overleftarrow{\mathbb{F}\mathbb{D}})^{\mu\nu},$$

где в последнем равенстве в первом слагаемом поставлен значок транспонирования, чтобы добиться правильного порядка индексов при записи умножения матриц (для наглядности нижние индексы у  $f$  сдвинуты вправо, так как они нумеруют столбцы матриц). В результате, учитывая определение эрмитового сопряжения матрицы, окончательно, имеем:

$$\mathbb{D}\mathbb{F}^+ - \overleftarrow{\mathbb{F}\mathbb{D}} = 0.$$

Стрелка над  $\mathbb{D}$ , как обычно, означает, что производная действует справа налево. Это уравнение уже было записано при рассмотрении кватернионной формулировки электродинамики (стр. 533).



- Второе ковариантное уравнение (с токами) имеет следующий вид:

$$\frac{1}{2} (\partial^{\mu\dot{\sigma}} f_{\dot{\sigma}}^{\nu} + \partial^{\sigma\nu} f_{\sigma}^{\mu}) = -4\pi j^{\mu\nu}. \quad (8.127)$$

Воспользовавшись (8.126), его можно переписать только через один тензор напряженности, например:

$$\partial^{\sigma\nu} f_{\sigma}^{\mu} = -4\pi j^{\mu\nu}. \quad (8.128)$$

Подставляя кватернионные матрицы, имеем:

$$\mathbb{F}\mathbb{D} = -4\pi \mathbb{J}. \quad (8.129)$$

Чтобы поставить производную на привычное место слева от  $\mathbb{F}$ , можно взять сопряжение этого уравнения. При сопряжении поменяется порядок сомножителей, и так как кватернион  $\mathbb{F} = \mathbf{f}\boldsymbol{\sigma}$  не имеет скалярной части  $\bar{\mathbb{F}} = -\mathbb{F}$ . Поэтому сопряженное к (8.129) уравнение имеет вид:

$$\bar{\mathbb{D}}\mathbb{F} = 4\pi \bar{\mathbb{J}}. \quad (8.130)$$

Как мы видели (стр. 533), уравнение (8.130) эквивалентно *всем* уравнениям Максвелла. Связано это с использованием (8.126) при записи (8.128). Исходное же уравнение (8.127) даёт только уравнения Максвелла с плотностью заряда и тока.

Перейдем к уравнениям движения (силе Лоренца). Кватернион скорости  $\mathbb{U} = d\mathbb{X}/ds$  является матричной записью спинорного тензора второго ранга  $u^{\mu\nu}$ . В левой части уравнения Лоренца должна стоять производная скорости по интервалу, умноженная на массу  $m du^{\mu\nu}/ds$ . Из симметричных тензоров напряженностей  $f^{\mu\nu}$  и  $f^{\dot{\mu}\dot{\nu}}$  и тензора скорости  $u^{\mu\nu}$  необходимо сформировать линейную комбинацию с двумя смешанными индексами. Вариантов немного, и уравнения движения выглядят следующим образом:

$$m \frac{du^{\mu\nu}}{ds} = \frac{q}{2} (u^{\mu\dot{\alpha}} f_{\dot{\alpha}}^{\nu} + u^{\alpha\nu} f_{\alpha}^{\mu}), \quad (8.131)$$

где  $m$  – масса частицы,  $q$  – её заряд. Несложно убедиться, что матричная запись этого уравнения имеет форму (8.71), стр. 534:

$$m \frac{d\mathbb{U}}{ds} = \frac{q}{2} (\mathbb{U}\mathbb{F}^+ + \mathbb{F}\mathbb{U}).$$

Таким образом, переход от матричной формы уравнений поля и движения к тензорной и обратно не представляет особых затруднений. Тем не менее матричная запись электродинамики выглядит более компактной и в ряде случаев оказывается удобнее.

## 8.12 Лагранжев подход \*\*

• Разберемся с лагранжевым подходом к спинорным уравнениям. Лагранжиан электромагнитного поля в обычных ковариантных обозначениях имеет вид (стр. 435):

$$\mathcal{L} = -A^\alpha j_\alpha - \frac{1}{16\pi} F_{\alpha\beta} F^{\alpha\beta}.$$

Инвариант  $F_{\alpha\beta} F^{\alpha\beta}$  равен (стр. 428):

$$F_{\alpha\beta} F^{\alpha\beta} = 2(\mathbf{B}^2 - \mathbf{E}^2).$$

В тоже время для спинорного тензора:

$$f^{\mu\nu} f_{\mu\nu} = -f_\nu^\mu f_\mu^\nu = -\text{Tr}(\mathbb{F}\mathbb{F}) = -\text{Tr}(\mathbf{f}\boldsymbol{\sigma}\mathbf{f}\boldsymbol{\sigma}) = -2\mathbf{f}^2,$$

где двойка появляется в результате вычисления следа единичной матрицы  $2 \times 2$ . Аналогичное выражение получается для  $f^{\dot{\mu}\dot{\nu}} f_{\dot{\mu}\dot{\nu}} = -\text{Tr}(\mathbb{F}\mathbb{F})^* = -2\mathbf{f}^{*2}$ . Их сумма даёт  $2F_{\alpha\beta} F^{\alpha\beta}$ , так как  $\mathbf{f} = \mathbf{E} + i\mathbf{B}$ . Поэтому лагранжиан можно записать в спинорных обозначениях следующим образом:

$$\mathcal{L} = -\frac{1}{2} a^{\alpha\dot{\beta}} j_{\alpha\dot{\beta}} - \frac{1}{32\pi} (f^{\mu\nu} f_{\mu\nu} + f^{\dot{\mu}\dot{\nu}} f_{\dot{\mu}\dot{\nu}}). \quad (8.132)$$

Очевидно, что он является действительным. Комплексное сопряжение ставит над индексами без точек точки и наоборот. В результате получается исходное выражение.

Уравнения Лагранжа для любого тензорного поля  $a^{\alpha\dot{\beta}}$  выводятся абсолютно аналогично ковариантному формализму и имеют вид:

$$\partial^{\mu\dot{\nu}} \frac{\partial \mathcal{L}}{\partial (\partial^{\mu\dot{\nu}} a^{\alpha\dot{\beta}})} = \frac{\partial \mathcal{L}}{\partial a^{\alpha\dot{\beta}}}. \quad (8.133)$$

Так как  $\varepsilon_{\alpha\beta}$  (аналог метрического тензора) *антисимметричен*, взятие производной от лагранжиана требует определенной аккуратности. Необходимо, при помощи тензора  $\varepsilon_{\alpha\beta}$  все индексы поднять вверх и только после этого вычислять производную. Запишем сначала производную:

$$\frac{\partial (\partial^{\tau\dot{\gamma}} a^{\sigma\dot{\delta}})}{\partial (\partial^{\mu\dot{\nu}} a^{\alpha\dot{\beta}})} = \delta_\mu^\tau \delta_{\dot{\nu}}^{\dot{\gamma}} \delta_\alpha^\sigma \delta_{\dot{\beta}}^{\dot{\delta}}.$$

Если все индексы попарно совпадают получается единица, если же хотя бы одна пара индексов (один в числителе, а второй под ним в знаменателе) различны, то частная производная будет равна нулю.

Вычислим производную от спинорного тензора напряженностей поля. Для этого поднимем все индексы вверх:

$$\frac{\partial f^{\tau\sigma}}{\partial(\partial\dot{\mu}\dot{\nu}a^{\alpha\beta})} = \frac{1}{2} \frac{\partial(\partial^{\tau\dot{\gamma}}a^{\sigma\dot{\delta}} + \partial^{\sigma\dot{\gamma}}a^{\tau\dot{\delta}})}{\partial(\partial\dot{\mu}\dot{\nu}a^{\alpha\beta})} \varepsilon_{\dot{\gamma}\dot{\delta}} = \frac{1}{2} (\delta_{\dot{\mu}}^{\tau} \delta_{\dot{\nu}}^{\dot{\gamma}} \delta_{\alpha}^{\sigma} \delta_{\beta}^{\dot{\delta}} + \delta_{\dot{\mu}}^{\sigma} \delta_{\dot{\nu}}^{\dot{\gamma}} \delta_{\alpha}^{\tau} \delta_{\beta}^{\dot{\delta}}) \varepsilon_{\dot{\gamma}\dot{\delta}}.$$

Сворачивая суммы с символом Кронекера, имеем

$$\frac{\partial f^{\tau\sigma}}{\partial(\partial\dot{\mu}\dot{\nu}a^{\alpha\beta})} = \frac{1}{2} (\delta_{\dot{\mu}}^{\tau} \delta_{\alpha}^{\sigma} + \delta_{\dot{\mu}}^{\sigma} \delta_{\alpha}^{\tau}) \varepsilon_{\dot{\nu}\dot{\beta}}.$$

Полученный результат позволяет найти производную от инвариантного квадрата тензора напряженностей. Для этого поднимаем все индексы

$$\frac{\partial(f^{\tau\sigma} f_{\tau\sigma})}{\partial(\partial\dot{\mu}\dot{\nu}a^{\alpha\beta})} = \frac{\partial(f^{\tau\sigma} f^{\gamma\delta})}{\partial(\partial\dot{\mu}\dot{\nu}a^{\alpha\beta})} \varepsilon_{\tau\gamma} \varepsilon_{\sigma\delta}$$

и берем производную, как производную произведения:

$$\frac{\partial(f^{\tau\sigma} f_{\tau\sigma})}{\partial(\partial\dot{\mu}\dot{\nu}a^{\alpha\beta})} = \frac{1}{2} ((\delta_{\dot{\mu}}^{\tau} \delta_{\alpha}^{\sigma} + \delta_{\dot{\mu}}^{\sigma} \delta_{\alpha}^{\tau}) f^{\gamma\delta} + f^{\tau\sigma} (\delta_{\dot{\mu}}^{\gamma} \delta_{\alpha}^{\delta} + \delta_{\dot{\mu}}^{\delta} \delta_{\alpha}^{\gamma})) \varepsilon_{\tau\gamma} \varepsilon_{\sigma\delta} \varepsilon_{\dot{\nu}\dot{\beta}}.$$

Опуская индексы при помощи  $\varepsilon_{\tau\gamma}$ ,  $\varepsilon_{\sigma\delta}$ :

$$\frac{\partial(f^{\tau\sigma} f_{\tau\sigma})}{\partial(\partial\dot{\mu}\dot{\nu}a^{\alpha\beta})} = \frac{1}{2} ((\delta_{\dot{\mu}}^{\tau} \delta_{\alpha}^{\sigma} + \delta_{\dot{\mu}}^{\sigma} \delta_{\alpha}^{\tau}) f_{\tau\sigma} + f_{\gamma\delta} (\delta_{\dot{\mu}}^{\gamma} \delta_{\alpha}^{\delta} + \delta_{\dot{\mu}}^{\delta} \delta_{\alpha}^{\gamma})) \varepsilon_{\dot{\nu}\dot{\beta}}$$

и сворачивая с символами Кронекера, окончательно, получаем:

$$\frac{\partial(f^{\tau\sigma} f_{\tau\sigma})}{\partial(\partial\dot{\mu}\dot{\nu}a^{\alpha\beta})} = 2f_{\mu\alpha} \varepsilon_{\dot{\nu}\dot{\beta}}.$$

Аналогично берутся производные от тензора напряженности с точками:

$$\frac{\partial f^{\dot{\tau}\dot{\sigma}}}{\partial(\partial\dot{\mu}\dot{\nu}a^{\alpha\beta})} = \frac{1}{2} \left( \delta_{\dot{\nu}}^{\dot{\tau}} \delta_{\beta}^{\dot{\sigma}} + \delta_{\dot{\nu}}^{\dot{\sigma}} \delta_{\beta}^{\dot{\tau}} \right) \varepsilon_{\mu\alpha}, \quad \frac{\partial(f^{\dot{\tau}\dot{\sigma}} f_{\dot{\tau}\dot{\sigma}})}{\partial(\partial\dot{\mu}\dot{\nu}a^{\alpha\beta})} = 2f_{\dot{\nu}\dot{\beta}} \varepsilon_{\mu\alpha}.$$

Эти выражения могут быть получены сразу, взятием комплексного сопряжения от производных от  $f^{\tau\sigma}$ . Подставляя все производные в уравнения Лагранжа (8.133), приходим к уравнениям Максвелла:

$$\frac{1}{2} (\partial_{\alpha}^{\dot{\mu}} f_{\dot{\mu}\dot{\beta}} + \partial_{\dot{\beta}}^{\mu} f_{\mu\alpha}) = -4\pi j_{\alpha\dot{\beta}},$$

где знак минус появился так как  $\partial^{\dot{\mu}\dot{\nu}} f_{\mu\alpha} \varepsilon_{\dot{\nu}\dot{\beta}} = -\varepsilon_{\dot{\beta}\dot{\nu}} \partial^{\dot{\mu}\dot{\nu}} f_{\mu\alpha} = -\partial_{\dot{\beta}}^{\mu} f_{\mu\alpha}$  и аналогично для  $f$  с точками.

• Выведем закон сохранения энергии-импульса поля в спинорной форме. Для этого запишем уравнения Максвелла (8.128) и их сопряженный аналог:

$$\partial^{\alpha\dot{\mu}} f_{\alpha\beta} = -4\pi j_{\beta}^{\dot{\mu}}, \quad \partial^{\alpha\dot{\mu}} f_{\dot{\mu}\dot{\nu}} = -4\pi j_{\dot{\nu}}^{\alpha}.$$

Умножим первое уравнение на  $f_{\dot{\mu}\dot{\nu}}$ , свернув по индексу  $\dot{\mu}$ , а второе на  $f_{\alpha\beta}$ , свернув по  $\alpha$ . После этого уравнения сложим:

$$f_{\dot{\mu}\dot{\nu}} \partial^{\alpha\dot{\mu}} f_{\alpha\beta} + f_{\alpha\beta} \partial^{\alpha\dot{\mu}} f_{\dot{\mu}\dot{\nu}} = \partial^{\alpha\dot{\mu}} (f_{\alpha\beta} f_{\dot{\mu}\dot{\nu}}) = -4\pi (f_{\dot{\mu}\dot{\nu}} j_{\beta}^{\dot{\mu}} + f_{\alpha\beta} j_{\dot{\nu}}^{\alpha}),$$

где во втором равенстве записана производная произведения. Введя спинорный тензор энергии-импульса:

$$t_{\alpha\beta\dot{\mu}\dot{\nu}} = \frac{1}{4\pi} f_{\alpha\beta} f_{\dot{\mu}\dot{\nu}},$$

полученное уравнение можно переписать в следующем виде:

$$\partial^{\alpha\dot{\mu}} t_{\alpha\beta\dot{\mu}\dot{\nu}} = -j_{\beta}^{\dot{\sigma}} f_{\dot{\sigma}\dot{\nu}} - f_{\beta\sigma} j_{\dot{\nu}}^{\sigma}.$$

Оно является спинорным аналогом уравнения (7.36), стр. 440.

Выражая компоненты спинорных тензоров напряженности через электромагнитные поля и используя выражения для 4-тензора энергии-импульса  $T^{\mu\nu}$  можно ( $\llcorner$  Н<sub>132</sub>) связать компоненты спинорного тензора  $t^{\alpha\beta\dot{\mu}\dot{\nu}}$  и симметричного 4-тензора  $T^{\mu\nu} = T^{\nu\mu}$ . Так как спинорные тензоры напряженности поля симметричны, они имеют по 3 компоненты (комплексные). Соответственно у  $t^{\alpha\beta\dot{\mu}\dot{\nu}}$  различных компонент будет 9:

$$\begin{aligned} t^{12\dot{1}\dot{2}} &= T^{00} - T^{33} \\ t^{11\dot{1}\dot{1}} &= T^{00} + T^{33} + 2T^{03} \\ t^{22\dot{2}\dot{2}} &= T^{00} + T^{33} - 2T^{03} \\ t^{11\dot{2}\dot{2}} &= (t^{22\dot{1}\dot{1}})^* = T^{11} - T^{22} - 2iT^{12} \\ t^{12\dot{2}\dot{2}} &= (t^{22\dot{1}\dot{2}})^* = T^{01} + T^{13} + i(T^{23} + T^{02}) \\ t^{12\dot{1}\dot{1}} &= (t^{11\dot{2}\dot{2}})^* = T^{01} - T^{13} + i(T^{23} - T^{02}). \end{aligned}$$

Обратим внимание на то, что произвольный симметричный тензор  $T^{\mu\nu}$  имеет 10 независимых компонент. Тогда как у  $t_{\alpha\beta\dot{\mu}\dot{\nu}}$  их только 9. Однако, тензор энергии-импульса зависит от двух 3-векторов  $\mathbf{E}$  и  $\mathbf{B}$ , а, следовательно, имеет 9 независимых компонент. Это проявляется в существовании дополнительного условия на тензор энергии-импульса – его след равен нулю:  $g_{\alpha\beta} T^{\alpha\beta} = T^{00} - T^{11} - T^{22} - T^{33} = 0$ .

• Получим тензор энергии-импульса из лагранжиана. Фактически необходимо повторить те-же выкладки, что и для его построения при помощи обычного 4-тензорного анализа (стр. 438). Возьмём спинорную производную от лагранжиана:

$$\partial_{\nu\dot{\nu}} \dot{\mathcal{L}} = \frac{\partial \mathcal{L}}{\partial a^{\sigma\dot{\tau}}} \partial_{\nu\dot{\nu}} a^{\sigma\dot{\tau}} + \frac{\partial \mathcal{L}}{\partial (\partial^{\mu\dot{\mu}} a^{\sigma\dot{\tau}})} \partial_{\nu\dot{\nu}} \partial^{\mu\dot{\mu}} a^{\sigma\dot{\tau}}.$$

В правой части в первом слагаемом подставим уравнения движения (8.133):

$$\partial_{\nu\dot{\nu}} \dot{\mathcal{L}} = \partial^{\mu\dot{\mu}} \left( \frac{\partial \mathcal{L}}{\partial (\partial^{\mu\dot{\mu}} a^{\sigma\dot{\tau}})} \right) \partial_{\nu\dot{\nu}} a^{\sigma\dot{\tau}} + \frac{\partial \mathcal{L}}{\partial (\partial^{\mu\dot{\mu}} a^{\sigma\dot{\tau}})} \partial_{\nu\dot{\nu}} \partial^{\mu\dot{\mu}} a^{\sigma\dot{\tau}}$$

и соберём всё в полную производную произведения:

$$\partial_{\nu\dot{\nu}} \dot{\mathcal{L}} = \partial^{\mu\dot{\mu}} \left( \frac{\partial \mathcal{L}}{\partial (\partial^{\mu\dot{\mu}} a^{\sigma\dot{\tau}})} \partial_{\nu\dot{\nu}} a^{\sigma\dot{\tau}} \right).$$

В результате получается уравнение непрерывности  $\partial^{\mu\dot{\mu}} t_{\mu\nu\dot{\mu}\dot{\nu}} = 0$  для тензора

$$t_{\mu\nu\dot{\mu}\dot{\nu}} = \frac{\partial \mathcal{L}}{\partial (\partial^{\mu\dot{\mu}} a^{\sigma\dot{\tau}})} \partial_{\nu\dot{\nu}} a^{\sigma\dot{\tau}} - \varepsilon_{\mu\nu} \varepsilon_{\dot{\mu}\dot{\nu}} \mathcal{L}, \quad (8.134)$$

где в отличие от (7.32), стр. 438 множителем у лагранжиана стоит не метрический тензор, а произведение антисимметричных тензоров  $\varepsilon$ . Подставляя вычисленные уже производные, для лагранжиана в отсутствии источников и поднимая индексы, имеем:

$$t^{\mu\nu\dot{\mu}\dot{\nu}} = \frac{1}{16\pi} (f^{\mu\sigma} \partial^{\nu\dot{\nu}} a_{\sigma}^{\dot{\mu}} + f^{\dot{\mu}\dot{\tau}} \partial^{\nu\dot{\nu}} a_{\dot{\tau}}^{\mu}) + \frac{1}{32\pi} \varepsilon^{\mu\nu} \varepsilon^{\dot{\mu}\dot{\nu}} (f^{\sigma\tau} f_{\sigma\tau} + f^{\dot{\sigma}\dot{\tau}} f_{\dot{\sigma}\dot{\tau}}).$$

Для симметризации этого выражения по каждой паре индексов необходимо прибавить спинорную дивергенцию от тензоров:

$$\tilde{t}^{\mu\nu\dot{\mu}\dot{\nu}} = t^{\mu\nu\dot{\mu}\dot{\nu}} + \partial_{\dot{\gamma}\dot{\gamma}} (\Psi^{\gamma\mu\nu} \dot{\gamma}^{\dot{\mu}\dot{\nu}} + \Phi^{\gamma\mu\nu} \dot{\gamma}^{\dot{\mu}\dot{\nu}}),$$

первый из которых симметричен по  $\gamma, \mu$  и антисимметричен по  $\dot{\gamma}, \dot{\mu}$ , а для второго наоборот ( $\llcorner$  Н<sub>133</sub>).

Тогда эта дивергенция будет автоматически удовлетворять уравнению непрерывности с производной по  $\partial_{\mu\dot{\mu}}$ .

Таким образом, спинорный тензорный анализ позволяет описывать ковариантные уравнения также эффективно, как и обычный анализ на основе 4-тензоров. Для электродинамики последний оказывается несколько проще и удобнее. Однако, существуют поля которые могут быть описаны только при помощи спиноров. Мы их рассмотрим в следующей главе.

## VIII Спиноры

- **H<sub>110</sub>** *Алгебра матриц Паули* (стр. 508)

$$\sigma_1 \sigma_2 = \begin{pmatrix} 0 & 1 \\ 1 & 0 \end{pmatrix} \begin{pmatrix} 0 & -i \\ i & 0 \end{pmatrix} = \begin{pmatrix} i & 0 \\ 0 & -i \end{pmatrix} = i \sigma_3.$$

В то же время  $\varepsilon_{12k} \sigma_k = \varepsilon_{123} \sigma_3 = \sigma_3$ , т.к. антисимметричный тензор Леви-Чевиты отличен от нуля только для различных индексов, и  $\varepsilon_{123} = 1$ .

---

- **H<sub>111</sub>** *Тождество с матрицами Паули* (стр. 508)

Сворачивая (8.6) с  $a_i$  и  $b_j$  и учитывая определение векторного произведения  $[\mathbf{a} \times \mathbf{b}]_k = \varepsilon_{ijk} a_i b_j = \varepsilon_{kij} a_i b_j$ , получаем требуемое тождество.

---

- **H<sub>112</sub>** *Матричное представление кватернионов 4x4* (стр. 508)

Обычную мнимую единицу  $i$  можно представить в матричной форме:

$$\varepsilon = \begin{pmatrix} 0 & 1 \\ -1 & 0 \end{pmatrix}$$

Её квадрат равен единичной матрице с обратным знаком  $\varepsilon^2 = -1$ . Кватернионы выражаются через матрицы Паули  $\mathbb{I}_k = -i \sigma_k$ . Их можно записать в виде матриц 4x4, если вместо мнимой единицы поставить матрицу  $\varepsilon$ , а вместо 1 – единичную матрицу 2x2:

$$\mathbb{I}_1 = \begin{pmatrix} 0 & -\varepsilon \\ -\varepsilon & 0 \end{pmatrix}, \quad \mathbb{I}_2 = \begin{pmatrix} 0 & -1 \\ 1 & 0 \end{pmatrix}, \quad \mathbb{I}_3 = \begin{pmatrix} -\varepsilon & 0 \\ 0 & \varepsilon \end{pmatrix}.$$

Прямым перемножением матриц  $\mathbb{I}_1, \mathbb{I}_2, \mathbb{I}_3$  проверяется справедливость алгебры:  $\mathbb{I}_i \mathbb{I}_j = -\delta_{ij} + \varepsilon_{ijk} \mathbb{I}_k$ . Запишем также их явный вид:

$$\mathbb{I}_1 = \begin{pmatrix} 0 & 0 & 0 & 1 \\ 0 & 0 & -1 & 0 \\ 0 & 1 & 0 & 0 \\ -1 & 0 & 0 & 0 \end{pmatrix}, \quad \mathbb{I}_2 = \begin{pmatrix} 0 & 0 & 1 & 0 \\ 0 & 0 & 0 & 1 \\ -1 & 0 & 0 & 0 \\ 0 & -1 & 0 & 0 \end{pmatrix}, \quad \mathbb{I}_3 = \begin{pmatrix} 0 & -1 & 0 & 0 \\ 1 & 0 & 0 & 0 \\ 0 & 0 & 0 & 1 \\ 0 & 0 & -1 & 0 \end{pmatrix}.$$


---

- **H<sub>113</sub>** *Циклическая перестановка кватернионов* (стр. 509)

Так как для скалярной части произведения  $[\mathbf{AB}] = [\mathbf{BA}]$ , то в силу ассоциативности:  $[\mathbf{ABC}] = [(\mathbf{AB})\mathbf{C}] = [\mathbf{C}(\mathbf{AB})] = [\mathbf{CAB}]$ .

---

- **H<sub>114</sub>** *Свойство сопряжения*  $\overline{\mathbb{A}\mathbb{B}} = \overline{\mathbb{B}}\overline{\mathbb{A}}$  (стр. 509)

Так как  $\overline{\mathbb{B}} = \{b_0, -\mathbf{b}\}$ ,  $\overline{\mathbb{A}} = \{a_0, -\mathbf{a}\}$ , то:

$$\overline{\mathbb{B}}\overline{\mathbb{A}} = \{a_0b_0 + \mathbf{a}\mathbf{b}, -a_0\mathbf{b} - b_0\mathbf{a} + \imath\mathbf{b} \times \mathbf{a}\}.$$

Переставляя местами множители в  $\mathbf{b} \times \mathbf{a}$ , имеем:  $\overline{\mathbb{B}}\overline{\mathbb{A}} = \overline{\mathbb{A}\mathbb{B}}$ , так как у векторной части по сравнению с  $\mathbb{A}\mathbb{B}$  появляется знак минус.

- **H<sub>115</sub>** *Тождество*  $|\mathbb{A}\mathbb{B}|^2 = |\mathbb{A}|^2 |\mathbb{B}|^2$  (стр. 510)

Воспользуемся тем, что  $\mathbb{A}\overline{\mathbb{A}} = |\mathbb{A}|^2 \mathbb{I}$ . Подставим вместо  $\mathbb{A}$  произведение  $\mathbb{A}\mathbb{B}$ , т.е.  $\mathbb{A}\mathbb{B}\overline{\mathbb{A}\mathbb{B}} = |\mathbb{A}\mathbb{B}|^2 \mathbb{I}$  и возьмём скалярную часть, циклически переставив сомножители:

$$|\mathbb{A}\mathbb{B}|^2 = [\mathbb{A}\mathbb{B}\overline{\mathbb{A}\mathbb{B}}] = [\mathbb{A}\mathbb{B}\overline{\mathbb{B}}\overline{\mathbb{A}}] = [\overline{\mathbb{A}}\mathbb{A}\mathbb{B}\overline{\mathbb{B}}] = |\mathbb{A}|^2 |\mathbb{B}|^2 [\mathbb{I}\mathbb{I}] = |\mathbb{A}|^2 |\mathbb{B}|^2.$$

- **H<sub>116</sub>** *Обратный кватернион* (стр. 510)

$$\mathbb{A}\mathbb{A}^{-1} = \frac{\mathbb{A}\overline{\mathbb{A}}}{|\mathbb{A}|^2} = \frac{|\mathbb{A}|^2 \mathbb{I}}{|\mathbb{A}|^2} = \mathbb{I}.$$

- **H<sub>117</sub>** *Тождество*  $(\mathbb{A}\mathbb{B})^{-1} = \mathbb{B}^{-1} \mathbb{A}^{-1}$  (стр. 510)

Используя свойство ассоциативности, запишем:

$$(\mathbb{A}\mathbb{B})(\mathbb{A}\mathbb{B})^{-1} = (\mathbb{A}\mathbb{B})(\mathbb{B}^{-1} \mathbb{A}^{-1}) = \mathbb{A}(\mathbb{B}\mathbb{B}^{-1}) \mathbb{A}^{-1} = \mathbb{A}\mathbb{I}\mathbb{A}^{-1} = \mathbb{A}\mathbb{A}^{-1} = \mathbb{I}.$$

Аналогично проверяется обратный порядок перемножения.

- **H<sub>118</sub>** *Алгебра Ли* (стр. 517)

Разложим вращение и буст в ряд по малым параметрам  $(\mathbf{n}\phi, \mathbf{m}\alpha)$ :

$$\mathbb{R} \approx 1 + \frac{\imath\phi}{2} \mathbf{n}\boldsymbol{\sigma}, \quad \mathbb{L} \approx 1 - \frac{\alpha}{2} \mathbf{m}\boldsymbol{\sigma}.$$

Обозначим генераторы при помощи 2-х троек матриц  $\{\mathbf{R}_1, \mathbf{R}_2, \mathbf{R}_3\}$  и  $\{\mathbf{L}_1, \mathbf{L}_2, \mathbf{L}_3\}$ , которые стоят при *действительных* бесконечно малых параметрах преобразования. Тогда

$$\mathbf{R}_i = (\imath/2)\sigma_i, \quad \mathbf{L}_i = -(1/2)\sigma_i.$$

Используя алгебру матриц Паули (8.6), стр. 508, несложно получить коммутатор  $[\sigma_i, \sigma_j] = 2\imath\varepsilon_{ijk}\sigma_k$ , поэтому алгебра Ли для генераторов группы с *действительными* структурными константами имеет вид:

$$[\mathbf{R}_i, \mathbf{R}_j] = -\varepsilon_{ijk} \mathbf{R}_k, \quad [\mathbf{L}_i, \mathbf{L}_j] = \varepsilon_{ijk} \mathbf{R}_k, \quad [\mathbf{L}_i, \mathbf{R}_j] = -\varepsilon_{ijk} \mathbf{L}_k.$$

- **H<sub>119</sub>** *Результирующий буст произведения двух бустов* (стр. 518)

Из того факта, что  $\mathbf{nm} = 0$  и соотношений

$$c_\alpha c_\phi = c_1 c_2 + (\mathbf{m}_1 \mathbf{m}_2) s_1 s_2, \quad \mathbf{n} c_\alpha s_\phi = -[\mathbf{m}_1 \times \mathbf{m}_2] s_1 s_2,$$

$$\mathbf{m} s_\alpha c_\phi + [\mathbf{m} \times \mathbf{n}] s_\alpha s_\phi = \mathbf{m}_1 s_1 c_2 + \mathbf{m}_2 c_1 s_2.$$

найдем  $\alpha$  и  $\mathbf{m}$ . Так как  $\mathbf{n}$  и  $\mathbf{m}$  перпендикулярны, то  $\mathbf{m} \times \mathbf{n}$  является единичным вектором. Возводя третье соотношение в квадрат, имеем:

$$s_\alpha^2 c_\phi^2 + s_\alpha^2 s_\phi^2 = s_\alpha^2 = s_1^2 c_2^2 + c_1^2 s_2^2 + 2\mathbf{m}_1 \mathbf{m}_2 s_1 c_1 s_2 c_2.$$

Так как  $s_\alpha = \text{sh}(\alpha/2)$  – гиперболический синус, то  $\text{ch } \alpha = 1 + 2s_\alpha^2$ :

$$\text{ch } \alpha = 1 + 2s_1^2 c_2^2 + 2c_1^2 s_2^2 + 4(\mathbf{m}_1 \mathbf{m}_2) s_1 c_1 s_2 c_2 = \text{ch } \alpha_1 \text{ch } \alpha_2 + (\mathbf{m}_1 \mathbf{m}_2) \text{sh } \alpha_1 \text{sh } \alpha_2,$$

где учтено, что  $1 + 2s_1^2 c_2^2 + 2c_1^2 s_2^2 = (c_1^2 + s_1^2)(c_2^2 + s_2^2)$ . Умножая третье соотношение векторно на  $\mathbf{n}$ , учитывая, что  $\mathbf{n} \times [\mathbf{m} \times \mathbf{n}] = \mathbf{m}$  для  $\mathbf{nm} = 0$  и исключая  $\mathbf{m} \times \mathbf{n}$  (при помощи опять же третьего соотношения), находим:

$$\mathbf{m} s_\alpha = \mathbf{m}_1 s_1 c_2 c_\phi + \mathbf{m}_2 c_1 s_2 c_\phi + [\mathbf{n} \times \mathbf{m}_1] s_1 c_2 s_\phi + [\mathbf{n} \times \mathbf{m}_2] c_1 s_2 s_\phi.$$

Подставляя из первого соотношения  $c_\phi$ , а из второго  $\mathbf{n} s_\phi$ , получаем:

$$\mathbf{m} \text{sh } \alpha = \mathbf{m}_1 \text{sh } \alpha_1 \text{ch } \alpha_2 + \mathbf{m}_2 \text{sh } \alpha_2 + \mathbf{m}_1 (\mathbf{m}_1 \mathbf{m}_2) \text{sh } \alpha_2 (\text{ch } \alpha_1 - 1).$$

- **H<sub>120</sub>** *Угол и ось поворота произведения двух бустов* (стр. 518)

Найдем угол  $\phi$  и ось  $\mathbf{n}$  поворота из соотношений

$$c_\alpha c_\phi = c_1 c_2 + (\mathbf{m}_1 \mathbf{m}_2) s_1 s_2, \quad \mathbf{n} c_\alpha s_\phi = -[\mathbf{m}_1 \times \mathbf{m}_2] s_1 s_2.$$

Из второго соотношения следует, что  $\mathbf{n} \sim -\mathbf{m}_1 \times \mathbf{m}_2$ , а так как  $\mathbf{n}$  единичный вектор, то при  $s_\phi > 0$  ( $c_\alpha, s_1, s_2$  всегда больше нуля) имеем:  $\mathbf{n} = -[\mathbf{m}_1 \times \mathbf{m}_2] / |\mathbf{m}_1 \times \mathbf{m}_2|$ . Перемножая первое и второе соотношения, получаем:

$$\mathbf{n} c_\alpha^2 c_\phi s_\phi = -[\mathbf{m}_1 \times \mathbf{m}_2] (s_1 c_1 s_2 c_2 + \mathbf{m}_1 \mathbf{m}_2 s_1^2 s_2^2).$$

Умножая это выражение на 4 и учитывая, что для  $c_\alpha = \text{ch}(\alpha/2)$  справедливы тождества  $2c_\alpha^2 = \text{ch } \alpha + 1$ ,  $2s_\alpha^2 = \text{ch } \alpha - 1$ , находим:

$$\mathbf{n} \sin \phi (\text{ch } \alpha + 1) = -[\mathbf{m}_1 \times \mathbf{m}_2] (\text{sh } \alpha_1 \text{sh } \alpha_2 + \mathbf{m}_1 \mathbf{m}_1 (\text{ch } \alpha_1 - 1)(\text{ch } \alpha_2 - 1)).$$

Подставляя скорости  $\mathbf{m} \text{sh } \alpha = \mathbf{v} \gamma$ ,  $\text{ch } \alpha = \gamma$ , получаем:

$$\mathbf{n} \sin \phi = -[\mathbf{v}_1 \times \mathbf{v}_2] \frac{\gamma_1 \gamma_2}{\gamma + 1} \left( 1 + \mathbf{v}_1 \mathbf{v}_2 \frac{\gamma_1 \gamma_2}{(\gamma_1 + 1)(\gamma_2 + 1)} \right).$$

Осталось исключить  $\mathbf{v}_1 \mathbf{v}_2$  при помощи формулы  $\gamma = \gamma_1 \gamma_2 (1 + \mathbf{v}_1 \mathbf{v}_2)$ .



- **H<sub>121</sub>** Обратное произведение  $\mathbb{L}\mathbb{R} = (c_\alpha - s_\alpha \mathbf{m}\boldsymbol{\sigma})(c_\phi + i s_\phi \mathbf{n}\boldsymbol{\sigma})$  (стр. 519)  
Перемножая кватернионы, имеем:

$$\mathbb{L}\mathbb{R} = c_\alpha c_\phi - i \mathbf{m}\mathbf{n} s_\alpha s_\phi + (i \mathbf{n} c_\alpha s_\phi - \mathbf{m} s_\alpha c_\phi + [\mathbf{m} \times \mathbf{n}] s_\alpha s_\phi) \boldsymbol{\sigma}.$$

Сравнивая с  $\mathbb{L}_2\mathbb{L}_1$  (стр. 518), получаем, что итоговая скорость и ось вращения перпендикулярны ( $\mathbf{nm} = 0$ ) и справедливы следующие уравнения:

$$c_\alpha c_\phi = c_1 c_2 + (\mathbf{m}_1 \mathbf{m}_2) s_1 s_2, \quad \mathbf{n} c_\alpha s_\phi = -[\mathbf{m}_1 \times \mathbf{m}_2] s_1 s_2,$$

$$\mathbf{m} s_\alpha c_\phi - [\mathbf{m} \times \mathbf{n}] s_\alpha s_\phi = \mathbf{m}_1 s_1 c_2 + \mathbf{m}_2 c_1 s_2.$$

Они совпадут с соотношениями из задачи ( $\ll H_{119}$ ), если вектор  $\mathbf{n}$  обратить  $\mathbf{n} \mapsto -\mathbf{n}$ , а индексы 1, 2 у  $\alpha_i$ ,  $\mathbf{m}_i$  переставить местами. В результате выражения для оси  $\mathbf{n}$ , угла поворота  $\phi$  и быстроты  $\alpha$  (или  $\gamma$ ) не поменяются. Однако в выражении для скорости итогового буста  $\mathbf{v}$  (или вектора  $\mathbf{m}$ ) необходимо поменять местами скорости.

- **H<sub>122</sub>** Выполнение условия  $\mathbb{L}\bar{\mathbb{L}} = \mathbb{I}$  (стр. 519)

Вычислим произведение числителей, учитывая, что  $\mathbb{S}\bar{\mathbb{S}} = \bar{\mathbb{S}}\mathbb{S} = \mathbb{I}$  и аналогично для эрмитового сопряжения:

$$(\mathbb{S} + \mathbb{S}^+)(\bar{\mathbb{S}} + \bar{\mathbb{S}}^+) = 2\mathbb{I} + \mathbb{S}^+\bar{\mathbb{S}} + \mathbb{S}\bar{\mathbb{S}}^+.$$

С другой стороны для знаменателя имеем:

$$(\mathbb{I} + \mathbb{S}\bar{\mathbb{S}}^+) \overline{(\mathbb{I} + \mathbb{S}\bar{\mathbb{S}}^+)} = (\mathbb{I} + \mathbb{S}\bar{\mathbb{S}}^+) (\mathbb{I} + \mathbb{S}^+\bar{\mathbb{S}}) = 2\mathbb{I} + \mathbb{S}^+\bar{\mathbb{S}} + \mathbb{S}\bar{\mathbb{S}}^+ = |\mathbb{I} + \mathbb{S}^+\bar{\mathbb{S}}|^2 \mathbb{I},$$

что и требовалось доказать.

- **H<sub>123</sub>** Кватернион  $\mathbb{R} = \mathbb{S}\bar{\mathbb{L}}$  (стр. 519)

$$\mathbb{R} = \mathbb{S}\bar{\mathbb{L}} = \frac{\mathbb{S}(\bar{\mathbb{S}} + \bar{\mathbb{S}}^+)}{|\mathbb{I} + \mathbb{S}\bar{\mathbb{S}}^+|} = \frac{\mathbb{I} + \mathbb{S}\bar{\mathbb{S}}^+}{|\mathbb{I} + \mathbb{S}\bar{\mathbb{S}}^+|}.$$

То, что этот кватернион не имеет чисто мнимой векторной части проверяется прямым перемножением:

$$\mathbb{S}\bar{\mathbb{S}}^+ = (S_0 + \mathbf{S}\boldsymbol{\sigma})(S_0^* - \mathbf{S}^*\boldsymbol{\sigma}) = |S_0|^2 - \mathbf{S}\mathbf{S}^* + (\mathbf{S}S_0^* - \mathbf{S}^*S_0)\boldsymbol{\sigma} - i[\mathbf{S} \times \mathbf{S}^*]\boldsymbol{\sigma}$$

(последний член в этом выражении действителен). Кроме этого, очевидно, что знаменатель в  $\mathbb{R}$  действителен (см.  $\ll H_{122}$ ).

- **H<sub>124</sub>** Фактор Лоренца (стр. 524)

$$\gamma_{\mathbf{v}+d\mathbf{v}} = (1 - (\mathbf{v} + d\mathbf{v})^2)^{-1/2} \approx (1 - \mathbf{v}^2 - 2\mathbf{v}d\mathbf{v})^{-1/2} \approx \gamma + \gamma^3 \mathbf{v}d\mathbf{v}.$$

- **Н<sub>125</sub>** *Спинорный инвариант* (стр. 543)

Подставим преобразования для спинора (8.96), стр. 542:

$$\psi'^1 \chi'^2 - \psi'^2 \chi'^1 = (A\psi^1 + B\psi^2)(C\chi^1 + D\chi^2) - (C\psi^1 + D\psi^2)(A\chi^1 + B\chi^2).$$

Перемножая скобки, получаем  $(AD - BC)(\psi^1 \chi^2 - \psi^2 \chi^1)$ .

---

- **Н<sub>126</sub>**  $\psi^\alpha \chi_\alpha = -\psi_\alpha \chi^\alpha$  (стр. 543)

$$\psi^\alpha \chi_\alpha = \varepsilon_{\alpha\beta} \psi^\alpha \chi^\beta = -\varepsilon_{\beta\alpha} \psi^\alpha \chi^\beta = -\psi_\beta \chi^\beta.$$


---

- **Н<sub>127</sub>** *Преобразование коспинора* (стр. 543)

$$\psi'_1 = \psi'^2 = C\psi^1 + D\psi^2 = -C\psi_2 + D\psi_1,$$

$$\psi'_2 = -\psi'^1 = -A\psi^1 - B\psi^2 = A\psi_2 - B\psi_1.$$


---

- **Н<sub>128</sub>** *Связь  $\delta_\beta^\alpha$  и  $\varepsilon_{\alpha\beta}$*  (стр. 545)

Запишем в явном виде:

$$b^\alpha [cd] + c^\alpha [db] + d^\alpha [bc] = \varepsilon_{\beta\gamma} b^\alpha c^\beta d^\gamma + \varepsilon_{\beta\gamma} c^\alpha d^\beta b^\gamma + \varepsilon_{\beta\gamma} d^\alpha b^\beta c^\gamma = 0.$$

Беря производную по  $b^\mu$ , имеем:

$$\varepsilon_{\beta\gamma} \delta_\mu^\alpha c^\beta d^\gamma + \varepsilon_{\beta\gamma} c^\alpha d^\beta \delta_\mu^\gamma + \varepsilon_{\beta\gamma} d^\alpha \delta_\mu^\beta c^\gamma = 0.$$

Аналогично берутся производные по  $c^\nu$  и  $d^\sigma$ .

---

- **Н<sub>129</sub>** *Инвариант унитарного преобразования  $\mathbb{S}^+ \mathbb{S} = \mathbf{1}$*  (стр. 546)

$$\psi'^{\dot{\alpha}} \chi'^{\dot{\alpha}} = \dot{\psi}'^T \chi' = \dot{\psi}'^T \mathbb{S}^{*T} \mathbb{S} \chi = \dot{\psi}'^T (\mathbb{S}^+ \mathbb{S}) \chi = \dot{\psi}'^T \chi = inv.$$


---

- **Н<sub>130</sub>** *Число компонент симметричного тензора* (стр. 549)

В тензоре  $\psi_{\alpha_1 \dots \alpha_m \dot{\mu}_1 \dots \dot{\mu}_n}$  первые  $m$  индексов симметричны. Каждый индекс принимает значения 1 или 2. В последовательности чисел  $\alpha_1 \dots \alpha_m$  могут быть все двойки или одна единица (на любом месте), или две единицы, и т.д. Всего получается  $m + 1$  возможных неэквивалентных (с учетом симметричности относительно перестановок) комбинаций. Аналогично, для каждой из таких  $m + 1$  комбинаций возможно  $n + 1$  комбинаций для симметричных индексов  $\dot{\mu}_1 \dots \dot{\mu}_n$ . В результате, всего возможно  $(m + 1)(n + 1)$  различных компонент симметричного тензора.

---

- **Н<sub>131</sub>** В калибровке Лоренца  $\partial^{\mu\dot{\sigma}} a_{\dot{\sigma}}^{\nu} = \partial^{\nu\dot{\sigma}} a_{\dot{\sigma}}^{\mu}$  (стр. 551)

Для  $\mu = \nu$  это соотношение очевидно. Если индексы различны, то:

$$\partial^{1\dot{\sigma}} a_{\dot{\sigma}}^2 - \partial^{2\dot{\sigma}} a_{\dot{\sigma}}^1 = -\partial^{1\dot{\sigma}} a_{1\dot{\sigma}} - \partial^{2\dot{\sigma}} a_{2\dot{\sigma}} = -\partial^{\nu\dot{\sigma}} a_{\nu\dot{\sigma}} = 0,$$

где мы воспользовались общим определением  $\psi_1 = \psi^2$  и  $\psi_2 = -\psi^1$ .

- **Н<sub>132</sub>** Компоненты спинорного тензора энергии-импульса (стр. 556)

Распишем, например,  $t^{12\dot{1}\dot{2}}/4\pi$ . Используя компоненты тензоров, приведенных на стр. 548, выраженные через вектор  $\mathbf{f} = \mathbf{E} + \imath\mathbf{B}$ , имеем:

$$t^{12\dot{1}\dot{2}} = \frac{1}{4\pi} f_z f_z^* = \frac{1}{4\pi} |E_z + \imath B_z|^2 = \frac{1}{4\pi} (E_z^2 + B_z^2).$$

Аналогично:

$$t^{11\dot{1}\dot{1}} = \frac{1}{4\pi} (-f_x + \imath f_y)(-f_x^* - \imath f_y^*) = \frac{1}{4\pi} (E_x^2 + E_y^2 + B_x^2 + B_y^2 + 2(E_x B_y - E_y B_x)).$$

Проводя такие вычисления для остальных компонент, получаем:

$$\begin{aligned} t^{12\dot{1}\dot{2}} &= \frac{1}{4\pi} (E_z^2 + B_z^2) \\ t^{11\dot{1}\dot{1}} &= \frac{1}{4\pi} (E_x^2 + E_y^2 + B_x^2 + B_y^2 + 2[\mathbf{E} \times \mathbf{B}]_z) \\ t^{22\dot{2}\dot{2}} &= \frac{1}{4\pi} (E_x^2 + E_y^2 + B_x^2 + B_y^2 - 2[\mathbf{E} \times \mathbf{B}]_z) \\ t^{11\dot{2}\dot{2}} &= t^{*22\dot{1}\dot{1}} = \frac{1}{4\pi} (E_y^2 - E_x^2 + B_y^2 - B_x^2 + 2\imath E_x E_y + 2\imath B_x B_y) \\ t^{12\dot{1}\dot{1}} &= t^{*11\dot{2}\dot{2}} = \frac{1}{4\pi} (-E_x E_z - B_x B_z + [\mathbf{E} \times \mathbf{B}]_x + \imath [\mathbf{E} \times \mathbf{B}]_y - \imath E_y E_z - \imath B_y B_z) \\ t^{12\dot{2}\dot{2}} &= t^{*22\dot{1}\dot{1}} = \frac{1}{4\pi} (E_x E_z + B_x B_z + [\mathbf{E} \times \mathbf{B}]_x - \imath [\mathbf{E} \times \mathbf{B}]_y - \imath E_y E_z - \imath B_y B_z). \end{aligned}$$

Связь с тензором  $T^{\mu\nu}$  получится, если учесть, что:

$$T^{00} = \frac{\mathbf{E}^2 + \mathbf{B}^2}{8\pi}, \quad T^{0i} = T^{i0} = \frac{[\mathbf{E} \times \mathbf{B}]_i}{4\pi}, \quad T^{ij} = \delta_{ij} T^{00} - \frac{E_i E_j + B_i B_j}{4\pi}.$$

- **Н<sub>133</sub>** К симметризации тензора энергии-импульса (стр. 557)

Заметим, что следующая дивергенция приводит к лагранжиану:

$$\frac{1}{4} \partial_{\dot{\gamma}\dot{\gamma}} (a_{\dot{\alpha}}^{\dot{\gamma}} f^{\alpha\gamma} \varepsilon^{\mu\nu} \varepsilon^{\dot{\mu}\dot{\nu}}) = \frac{1}{2} (\partial_{\dot{\gamma}\dot{\gamma}} a_{\dot{\alpha}}^{\dot{\gamma}} + \partial_{\dot{\alpha}\dot{\gamma}} a_{\dot{\gamma}}^{\dot{\alpha}}) f^{\alpha\gamma} \varepsilon^{\mu\nu} \varepsilon^{\dot{\mu}\dot{\nu}} = -f_{\alpha\gamma} f^{\alpha\gamma} \varepsilon^{\mu\nu} \varepsilon^{\dot{\mu}\dot{\nu}},$$

а несвёрнутое произведение тензоров напряженности даёт выражение

$$\partial_{\dot{\gamma}\dot{\gamma}} ((a^{\dot{\gamma}\dot{\mu}} \varepsilon^{\dot{\nu}} + a^{\dot{\gamma}\dot{\nu}} \varepsilon^{\dot{\mu}}) f^{\mu\nu}) = -2f^{\dot{\mu}\dot{\nu}} f^{\mu\nu} + a^{\dot{\gamma}\dot{\mu}} \partial_{\dot{\gamma}}^{\dot{\nu}} f^{\mu\nu} + a^{\dot{\gamma}\dot{\nu}} \partial_{\dot{\gamma}}^{\dot{\mu}} f^{\mu\nu}.$$

Отметим также тензор автоматически (без симметризаций) удовлетворяющий уравнению непрерывности по  $\partial_{\dot{\mu}\dot{\mu}}$ :

$$\partial_{\dot{\gamma}\dot{\gamma}} (f^{\gamma\mu} a^{\nu\dot{\nu}} \varepsilon^{\dot{\gamma}\dot{\mu}}).$$